

Teoretická fyzika ó Základy kvantové mechaniky

Michal Lenc ó jaro 2014

Obsah

Teoretická fyzika ó Základy kvantové mechaniky.....	1
1. Velmi stručný pohled.....	3
1.1 Základní pojmy	3
1.2 Maticový zápis	5
1.3 Vlastní vektory a vlastní hodnoty	6
1.4 Nepřímá integrace s rovinnou vlnou a Diracovou delta funkcí.....	8
1.5 Příklad o lineární harmonický oscilátor	9
2. Princip superpozice	12
2.1 Feynmanova formulace.....	12
2.2 Formulace Landaua a Lifšice.....	12
3. Matematický popis.....	13
3.1 Základní popis o Hilbert v prostor	13
3.2 Axiomy	13
3.3 Reprezentace, rozklad jednotky	14
3.4 Vlnová funkce	15
3.5 Maticová reprezentace	15
3.6 Zápis Schrödingerovy rovnice v maticové reprezentaci.....	16
3.7 Relace neurčitosti.....	18
4. Základní operátory v souřadnicové reprezentaci	20
4.1 Hamilton v operátor (hamiltonián)	20
4.2 Operátory hybnosti a momentu hybnosti	20
4.3 Rovnice kontinuity.....	22
4.4 Kvasiklasická aproximace	23
4.5 Ehrenfest v teorém	24
5. Schrödingerova rovnice pro stacionární stavy.....	25
5.1 Částice v potenciálovém poli o souřadnicová reprezentace.....	25
5.2 Jednorozměrné problémy	25
5.3 Harmonický oscilátor a koherentní stavy	27
6. WKB aproximace.....	30
6.1 Odvození aproximace	30
6.2 Bohrovo - Sommerfeldovo kvantování.....	34
6.3 Elementární popis molekuly pava.....	35
6.4 Tunelový jev	40
6.4.1 Emise vyvolaná polem.....	41
6.4.2 o rozpad.....	42
7. Příklady exaktně řešitelných třírozměrných problémů	44
7.1 Vodíkový atom.....	44
7.2 Elektron v homogenním magnetickém poli.....	48
8. Některé aproximace pro poruchy na ose nezávislé	50

8.1	Rayleighova a Schrödingerova metoda	50
8.1.1	Nedegenerované hladiny	50
8.1.2	Degenerované hladiny	51
8.1.3	Případ velmi blízkých hladin	52
8.2	Potenciální energie jako porucha	53
8.3	Variace ní princip	56
8.4	Hartreeho - Fockova metoda selfkonzistentního pole	56
8.5	Ritzova variace ní metoda	58
9.	Bornova a Oppenheimerova aproximace	60
9.1	Obecná teorie	60
9.2	Molekula vodíku	62
9.2.1	Iont molekuly vodíku	62
9.2.2	Molekula vodíku	64
10.	Poruchy na ose závislé	66
10.1	Interakce ní reprezentace	66
10.2	Fermiho zlaté pravidlo	67
10.2.1	Harmonický příb h asové závislosti poruchy.	67
11.	Vlastní hodnoty a vlastní funkce operátoru momentu hybnosti	69
12.	Maticové elementy skaláru a vektoru, parita stavu	72
13.	Spin	73
13.1	Rotace a komutace ní relace pro operátor momentu hybnosti	73
13.2	Spin	75
13.3	Spin a rotace	76
14.	Princip nerozličitelnosti částic	78
15.	Cesta k Bellovým nerovnostem	80
15.1	EPR paradox	80
15.2	Bohmova modifikace EPR pokusu	82
15.3	Bellovy nerovnosti	84
15.4	Experimenty s fotony	87
16.	Jakou dráhu pro-částice?	89
16.1	Elementární popis interference dvou svazků	89
16.2	Which-path (Welcher-Weg)?	90
16.3	Interference fulleren	93

1. Velmi stručný pohled

1.1 Základní pojmy

V kvantové mechanice popíšeme s Hamiltonovým operátorem, kde v klasickém výrazu pro Hamiltonovu funkci jsou souřadnice x a s ní sdružená hybnost p obvykle uvažujeme jednorozměrný problém a nahrazeny lineárními operátory \hat{x} a \hat{p} , které splňují komutační relace

$$[\hat{x}, \hat{p}] \equiv \hat{x}\hat{p} - \hat{p}\hat{x} = i\hbar\hat{1} \quad , \quad (1.1)$$

\hbar je Planckova konstanta a $\hat{1}$ jednotkový operátor. V souřadnicové reprezentaci je Hilbertův prostor stavů soustavy (stavových vektorů) tvořen kvadraticky integrovatelnými komplexními funkcemi souřadnice na intervalu $(-\infty, \infty)$. Skalární součin je definován jako

$$(\psi, \chi)^* = (\chi, \psi) \equiv \underbrace{\langle \chi | \psi \rangle}_{\langle \text{bra} | \text{ket} \rangle} = \int \chi^*(x) \psi(x) dx \quad . \quad (1.2)$$

Snadno se přesvědčíme, že operátory

$$\hat{x}\psi(x) \equiv x\psi(x) \quad , \quad \hat{p}\psi(x) \equiv \frac{\hbar}{i} \frac{d\psi(x)}{dx} \quad (1.3)$$

splňují komutační relace (1.1). Pro kvantovou mechaniku jsou důležité vlastnosti lineárních operátorů, zejména vlastnosti dvojice operátorů hermiteovsky sdružený operátor. Hermiteovsky sdružená matice je komplexně sdružená transponovaná matice. Pro operátory definujeme hermiteovské sdružení jako

$$(\chi, \hat{O}^+ \psi) \equiv (\psi, \hat{O} \chi)^* \quad , \quad (1.4)$$

v Diracově značení pak

$$\langle \chi | \hat{O}^+ | \psi \rangle \equiv \langle \psi | \hat{O} | \chi \rangle^* \quad . \quad (1.5)$$

Je-li operátor roven svému hermiteovsky sdruženému, mluvíme o hermiteovském operátoru. Je-li inverzní operátor (definovaný tak, že po vynásobení inverzního a původního operátoru dostáváme jednotkový operátor) roven svému hermiteovsky sdruženému, mluvíme o unitárním operátoru. S použitím souřadnicové reprezentace ukážeme, že operátory souřadnice a kinetické hybnosti jsou hermiteovské. Máme

$$\langle \chi | \hat{O}^+ | \psi \rangle = \langle \psi | \hat{O} | \chi \rangle^* = \left\{ \int_{-\infty}^{\infty} \psi^*(x) x \chi(x) dx \right\}^* = \int_{-\infty}^{\infty} \chi^*(x) x \psi(x) dx = \langle \chi | \hat{O} | \psi \rangle \quad (1.6)$$

a

$$\begin{aligned} \langle \chi | \hat{O}^+ | \psi \rangle &= \langle \psi | \hat{O} | \chi \rangle^* = \left\{ \int_{-\infty}^{\infty} \psi^*(x) \frac{\hbar}{i} \frac{d\chi(x)}{dx} dx \right\}^* = - \int_{-\infty}^{\infty} \psi(x) \frac{\hbar}{i} \frac{d\chi^*(x)}{dx} dx = \\ &= \underbrace{- \frac{\hbar}{i} \frac{d}{dx} [\psi(x) \chi^*(x)]}_{=0} \Big|_{-\infty}^{\infty} + \int_{-\infty}^{\infty} \chi^*(x) \frac{\hbar}{i} \frac{d\psi(x)}{dx} dx = \int_{-\infty}^{\infty} \chi^*(x) \frac{\hbar}{i} \frac{d\psi(x)}{dx} dx = \langle \chi | \hat{O} | \psi \rangle . \end{aligned} \quad (1.7)$$

Je vhodné si pamatovat, že při hermiteovském sdružení dojde k záměně

$$c \rightarrow c^* \quad , \quad |\psi\rangle \rightarrow \langle\psi| \quad , \quad \langle\psi| \rightarrow |\psi\rangle \quad , \quad \hat{O} \rightarrow \hat{O}^+ \quad (1.8)$$

a záměně pořadí všech prvků. Zatímco výraz $\langle\chi|\psi\rangle$ znamená v Diracově notaci skalární součin vektorů $|\psi\rangle$ a $|\chi\rangle$, výraz $|\psi\rangle\langle\chi|$ je operátor, který převede libovolný vektor $|\phi\rangle$ na vektor $|\psi\rangle$, ale s velikostí a fází změnou skalárním součinem $\langle\chi|\phi\rangle$

$$(|\psi\rangle\langle\chi|)|\phi\rangle = |\psi\rangle(\langle\chi|\phi\rangle) = \langle\chi|\phi\rangle|\psi\rangle . \quad (1.9)$$

Jako v každém vektorovém prostoru, tak i v našem Hilbertově prostoru můžeme zvolit bázi nebo soustavu lineárně nezávislých vektorů, kdy potom každý vektor prostoru lze vyjádřit jako lineární kombinaci vektorů báze. Je výhodné zvolit ortonormální bázi. Dimenze Hilbertova prostoru tvořeného kvadraticky integrovatelnými komplexními funkcemi soustředěnými na intervalu $(-\infty, \infty)$ je spočetná nekonečná a neznámá její ortonormální bázi tvoří funkce

$$|h_n\rangle \equiv \chi_n(x) = \frac{1}{\pi^{1/4} (2^n n!)^{1/2}} H_n(x) \exp\left[-\frac{x^2}{2}\right] , \quad n = 0, 1, 2, \dots , \quad (1.10)$$

kde $H_n(x)$ jsou Hermiteovy polynomy. Platí

$$\langle h_i | h_j \rangle \equiv \frac{1}{\pi^{1/2} 2^n n!} \int_{-\infty}^{\infty} H_i(x) H_j(x) \exp[-x^2] dx = \delta_{ij} . \quad (1.11)$$

Libovolný stav $|\psi\rangle$ můžeme pak zapsat pomocí báze jako

$$|\psi\rangle = \sum_{n=0}^{\infty} c_n |h_n\rangle \quad , \quad c_n = \langle h_n | \psi \rangle \quad (1.12)$$

neboli

$$\psi(x) = \sum_{n=0}^{\infty} c_n \chi_n(x) \quad , \quad c_n = \int_{-\infty}^{\infty} \chi_n^*(x) \psi(x) dx \quad , \quad (1.13)$$

kde $\chi_n(x)$ je dáno vztahem (1.10). Vektory báze zapsané jako funkce sou adnice x jsou v tomto případě reálné funkce, obecně to však být nemusí, proto raději v integrálu skalárního součinu pro výpočet c_n přídáme znaménko komplexního sdružení. Jednotkový operátor vytvořený z vektorů báze má zápis

$$\hat{I} = \sum_n |n\rangle\langle n| \quad (1.14)$$

Vidíme to snadno, zapíšeme-li jeho působení na libovolný vektor

$$\hat{I}|\psi\rangle = \sum_n |n\rangle\langle n| \sum_i c_i |i\rangle = \sum_n |n\rangle \sum_i c_i \underbrace{\langle n|i\rangle}_{\delta_{ni}} \sum_n c_n |n\rangle = |\psi\rangle \quad (1.15)$$

1.2 Maticový zápis

Zapíšeme působení operátoru na libovolný vektor $|\beta\rangle$ zapsaný v nějaké bázi. Vznikne tak nový vektor $|\alpha\rangle$

$$\left. \begin{aligned} |\alpha\rangle &= \hat{O}|\beta\rangle \\ |\alpha\rangle &= \sum_j a_j |j\rangle \\ |\beta\rangle &= \sum_j b_j |j\rangle \end{aligned} \right\} \Rightarrow \sum_j a_j |j\rangle = \sum_j b_j \hat{O}|j\rangle \xRightarrow{\langle i|} a_i = \sum_j O_{ij} b_j \quad (1.16)$$

kde

$$O_{ij} = \langle i|\hat{O}|j\rangle \quad (1.17)$$

Pro názornou představu (vezměme jen konečnou dimenzi Hilbertova prostoru) si te zapíšeme v nějaké bázi stavový vektor jako sloupcový vektor (matice $n \times 1$) a operátor jako matici $n \times n$

$$|\alpha\rangle = \begin{pmatrix} a_1 \\ a_2 \\ \vdots \\ a_{n-1} \\ a_n \end{pmatrix}, \quad \hat{O} = \begin{pmatrix} O_{11} & O_{12} & \cdots & O_{1(n-1)} & O_{1n} \\ O_{21} & O_{22} & \cdots & O_{2(n-1)} & O_{2n} \\ \vdots & \vdots & \ddots & \vdots & \vdots \\ O_{(n-1)1} & O_{(n-1)2} & \cdots & O_{(n-1)(n-1)} & O_{(n-1)n} \\ O_{n1} & O_{n2} & \cdots & O_{n(n-1)} & O_{nn} \end{pmatrix} \quad (1.18)$$

Hermiteovskými sdruženými objekty budou pak

$$\langle \alpha | = (a_1^* \ a_2^* \ \dots \ a_{n-1}^* \ a_n^*) \ , \ \hat{O}^+ = \begin{pmatrix} O_{11}^* & O_{21}^* & \dots & O_{(n-1)1}^* & O_{n1}^* \\ O_{12}^* & O_{22}^* & \dots & O_{(n-1)2}^* & O_{n2}^* \\ \vdots & \vdots & \ddots & \vdots & \vdots \\ O_{1(n-1)}^* & O_{2(n-1)}^* & \dots & O_{(n-1)(n-1)}^* & O_{n(n-1)}^* \\ O_{1n}^* & O_{2n}^* & \dots & O_{(n-1)n}^* & O_{nn}^* \end{pmatrix} \quad (1.19)$$

Výraz $\langle \alpha | \beta \rangle$ vytváří skalární součin

$$\langle \alpha | \beta \rangle = (a_1^* \ a_2^* \ \dots \ a_{n-1}^* \ a_n^*) \begin{pmatrix} b_1 \\ b_2 \\ \vdots \\ b_{n-1} \\ b_n \end{pmatrix} = (a_1^* b_1 + a_2^* b_2 + \dots + a_{n-1}^* b_{n-1} + a_n^* b_n) \quad (1.20)$$

a výraz $|\beta\rangle\langle\alpha|$ operátor

$$|\beta\rangle\langle\alpha| = \begin{pmatrix} b_1 \\ b_2 \\ \vdots \\ b_{n-1} \\ b_n \end{pmatrix} (a_1^* \ a_2^* \ \dots \ a_{n-1}^* \ a_n^*) = \begin{pmatrix} b_1 a_1^* & b_1 a_2^* & \dots & b_1 a_{n-1}^* & b_1 a_n^* \\ b_2 a_1^* & b_2 a_2^* & \dots & b_2 a_{n-1}^* & b_2 a_n^* \\ \vdots & \vdots & \ddots & \vdots & \vdots \\ b_{n-1} a_1^* & b_{n-1} a_2^* & \dots & b_{n-1} a_{n-1}^* & b_{n-1} a_n^* \\ b_n a_1^* & b_n a_2^* & \dots & b_n a_{n-1}^* & b_n a_n^* \end{pmatrix} \quad (1.21)$$

Vektory báze jsou

$$|1\rangle = \begin{pmatrix} 1 \\ 0 \\ \vdots \\ 0 \\ 0 \end{pmatrix} \ , \ |2\rangle = \begin{pmatrix} 0 \\ 1 \\ \vdots \\ 0 \\ 0 \end{pmatrix} \ \dots \ |n-1\rangle = \begin{pmatrix} 0 \\ 0 \\ \vdots \\ 1 \\ 0 \end{pmatrix} \ , \ |n\rangle = \begin{pmatrix} 0 \\ 0 \\ \vdots \\ 0 \\ 1 \end{pmatrix} \ , \quad (1.22)$$

takže jednotkovému operátoru odpovídá jednotková matice

$$\sum_{i=1}^n |i\rangle\langle i| = \begin{pmatrix} 1 & 0 & \dots & 0 & 0 \\ 0 & 1 & \dots & 0 & 0 \\ \vdots & \vdots & \ddots & \vdots & \vdots \\ 0 & 0 & \dots & 1 & 0 \\ 0 & 0 & \dots & 0 & 1 \end{pmatrix} \ . \quad (1.23)$$

1.3 Vlastní vektory a vlastní hodnoty

Působení operátoru na n které vektory vede jen k vynásobení vektoru (komplexním) číslem

$$\hat{A}|\alpha\rangle = a|\alpha\rangle \ . \quad (1.24)$$

Takovému vektoru $|\alpha\rangle$ říkáme vlastní vektor operátoru \hat{A} a číslu a vlastní hodnota p íslu-ná
vlastnímu vektoru $|\alpha\rangle$. Zvolme n jakou bázi prostoru, v níž je vektor $|\alpha\rangle$ vyjádřen jako

$$|\alpha\rangle = \sum_i c_i |i\rangle . \quad (1.25)$$

Zapišme vztah (1.24) násobený zleva vektorem $|j\rangle$ jako soustavu rovnic pro koeficienty c_i

$$\sum_i c_i \langle j|\hat{A}|i\rangle = a \sum_i \underbrace{\langle j|i\rangle}_{\delta_{ji}} \Rightarrow \sum_i (A_{ji} - a \delta_{ji}) c_i = 0 . \quad (1.26)$$

Pro netriviální řešení musí být determinant soustavy roven nule a to dává rovnici pro vlastní hodnoty a p írozen jen v principu, pokud je prostor nekone n rozměrný. V t ěnou se postupuje tak, že základní rovnice (1.24) se napíše pro určitou konkrétní realizaci vektor Hilbertova prostoru a vlastní hodnoty vyplynou z omezení na řešení této rovnice. Například pro vlnové funkce jedné proměnné představuje (1.24) obyčejnou diferenciální rovnici a vlastní hodnoty plynou z požadavku na to, aby řešením byla kvadraticky integrovatelná funkce (dostate n rychlý pokles v nekone nu, slabé singularity). Důležitě je, že můžeme považovat za jednu z bází Hilbertova prostoru soustavu vlastních vektor vhodného hermiteovského operátoru. Následující je následující: Pro hermiteovský operátor ($\hat{A} = \hat{A}^\dagger$) máme

$$\left. \begin{aligned} \hat{A}|\alpha_i\rangle = a_i |\alpha_i\rangle &\Rightarrow \langle \alpha_j|\hat{A}|\alpha_i\rangle = a_i \langle \alpha_j|\alpha_i\rangle \\ \langle \alpha_j|\hat{A} = \langle \alpha_j|a_j^* &\Rightarrow \langle \alpha_j|\hat{A}|\alpha_i\rangle = a_j^* \langle \alpha_j|\alpha_i\rangle \end{aligned} \right\} \Rightarrow (a_i - a_j^*) \langle \alpha_j|\alpha_i\rangle = 0 . \quad (1.27)$$

Takže zvolíme-li $i = j$, je $\langle \alpha_j|\alpha_i\rangle \neq 0$ a musí být $a_i = a_i^*$, tj. vlastní hodnoty hermiteovského operátoru jsou reálné. Zvolíme-li $i \neq j$, je $a_i \neq a_j$ a musí být $\langle \alpha_j|\alpha_i\rangle = 0$, tj. vlastní vektory p íslu-né r zným vlastním hodnotám hermiteovského operátoru jsou ortogonální.

Zvolíme-li tedy jako bázi soustavu normovaných vlastních vektor hermiteovského operátoru \hat{A} , můžeme psát jednotkový operátor podle (1.14) jako

$$\hat{I} = \sum_n |\alpha_n\rangle \langle \alpha_n| \quad (1.28)$$

a samotný operátor jako

$$\hat{A} = \sum_n |\alpha_n\rangle a_n \langle \alpha_n| . \quad (1.29)$$

asto lze definovat i funkci operátoru zobecněním předchozího vztahu

$$f(\hat{A}) = \sum_n |\alpha_n\rangle f(a_n) \langle \alpha_n| . \quad (1.30)$$

1.4 Nep íjemnost s rovinnou vlnou a Diracovou delta funkcí

Rovnice pro vlastní funkce a vlastní hodnoty operátoru hybnosti

$$\frac{\hbar}{i} \frac{d\psi_p(x)}{dx} = p\psi_p(x) \quad (1.31)$$

má e-ení

$$\psi_p(x) = \frac{1}{(2\pi\hbar)^{1/2}} \exp\left[\frac{i}{\hbar} p x\right] . \quad (1.32)$$

Volbu konstanty zd vodníme nífle. Funkce (1.32) jist není na intervalu $(-\infty, \infty)$ kvadraticky integrovatelná. Vlastních hodnot p je nespo etn mnoho ó operátor má spojité spektrum. Korektn vzato, funkce (1.32) do námi uvařfvaného Hilbertova prostoru nepat í. P esto b řln v kvantové mechanice s rovinnými vlnami po ítáme. Normování rovinných vln jsme zvolili tak, ře pro skalární sou in platí

$$\langle p' | p \rangle = \int_{-\infty}^{\infty} \psi_{p'}^*(x) \psi_p(x) dx = \frac{1}{2\pi\hbar} \int_{-\infty}^{\infty} \exp\left[\frac{i}{\hbar}(p-p')x\right] dx = \delta(p-p') . \quad (1.33)$$

Místo indexování celými ísly indexujeme spojitou prom nnou, vlastní funkce operátoru jsou ortogonální v tom smyslu, ře jejich skalární sou in je roven Diracov delta funkci rozdílu index (místo Kroneckerových delta index).

Rovnice pro vlastní funkce a vlastní hodnoty operátoru sou adnice

$$x\psi_\xi(x) = \xi\psi_\xi(x) \quad (1.34)$$

má e-ení

$$\psi_\xi(x) = \delta(x-\xi) . \quad (1.35)$$

Normování volíme obdobn jako u vlastních funkcí operátoru hybnosti, tj.

$$\langle \xi' | \xi \rangle = \int_{-\infty}^{\infty} \psi_{\xi'}^*(x) \psi_\xi(x) dx = \int_{-\infty}^{\infty} \delta(x-\xi') \delta(x-\xi) dx = \delta(\xi-\xi') . \quad (1.36)$$

Jednotkový operátor zapisujeme v analogii s (1.14) jako

$$\hat{1} = \int_{-\infty}^{\infty} |x\rangle \langle x| dx \quad (1.37)$$

nebo

$$\hat{1} = \int_{-\infty}^{\infty} |p\rangle \langle p| dp . \quad (1.38)$$

V analogii nalezení slořek vektoru v bázi (1.12) pí-eme (sou adnice jako spojité index)

$$\psi(x) = \langle x | \psi \rangle \Rightarrow |\psi\rangle = \underbrace{\int_{-\infty}^{\infty} |x\rangle \langle x| dx}_{=I} \psi = \int_{-\infty}^{\infty} \psi(x) |x\rangle dx \quad (1.39)$$

nebo (hybnost jako spojitý index)

$$\psi(p) = \langle p | \psi \rangle \Rightarrow |\psi\rangle = \underbrace{\int_{-\infty}^{\infty} |p\rangle \langle p| dp}_{=I} \psi = \int_{-\infty}^{\infty} \psi(p) |p\rangle dp \quad (1.40)$$

Vztah (1.32) pak můžeme zapsat jako

$$\langle x | p \rangle = \frac{1}{(2\pi\hbar)^{1/2}} \exp\left[\frac{i}{\hbar} p x\right] \quad (1.41)$$

Znovu zdrazíme, že ani rovinná vlna, ani Diracova delta funkce nepatří p i korektním p ístupu do uvařovaného Hilbertova prostoru. Také není možné, aby nekone n rozm rný Hilbert v prostor m l zároveň spo etnou (v na-em p ípad $\{|h_n\rangle\}$) i nespo etnou (v na-em p ípad $\{|x\rangle\}$ nebo $\{|p\rangle\}$) bázi. P esto však p i e-ení standardních problém kvantové mechaniky nevede nekorektní postup k chybným výsledk m. Je to pravd podobn dáno p íznivými vlastnostmi vzájemného vztahu prostoru ket vektor a prostoru bra funkcionál ó matematicky korektní formulace je vytvo ena po zavedení tzv. Gelfandova tripletu (také nazývaného rigged Hilbert space).

1.5 P íklad ó lineární harmonický oscilátor

Hamiltonián lineárního harmonického oscilátoru je

$$H = \frac{1}{2m} p^2 + \frac{m\omega^2}{2} x^2 \quad (1.42)$$

Hamiltonovy rovnice jsou

$$\frac{dx}{dt} = \frac{\partial H}{\partial p} = \frac{p}{m}, \quad \frac{dp}{dt} = -\frac{\partial H}{\partial x} = -m\omega^2 x \quad (1.43)$$

Zavedeme bezrozm rnou prom nnou

$$a = \left(\frac{m\omega}{2\hbar}\right)^{1/2} x + i \left(\frac{1}{2m\hbar\omega}\right)^{1/2} p \quad (1.44)$$

Pro tuto prom nnou dostáváme snadno e-itelnou rovnici

$$\frac{da}{dt} + i\omega a = 0 \Rightarrow a = \alpha \exp[-i\omega t] \quad (1.45)$$

kde α je libovolná komplexní konstanta. Vyjádříme-li souřadnici a hybnost pomocí a a a^* , dostáváme

$$x = \left(\frac{\hbar}{2m\omega} \right)^{1/2} (a + a^*) \quad , \quad p = \frac{1}{i} \left(\frac{m\hbar\omega}{2} \right)^{1/2} (a - a^*) \quad . \quad (1.46)$$

Po dosazení do (1.42) dostáváme

$$H = \frac{1}{2} (a a^* + a^* a) \hbar \omega \quad . \quad (1.47)$$

Záměrně dbáme na pořadí součinitelů, protože tak můžeme hned napsat kvantově mechanický vztah o komplexně sdružené veličině odpovídá hermiteovsky sdruženému operátoru. Můžeme tedy vztahy (1.46) a (1.47) přepsat na

$$\hat{x} = \left(\frac{\hbar}{2m\omega} \right)^{1/2} (\hat{a} + \hat{a}^\dagger) \quad , \quad \hat{p} = \frac{1}{i} \left(\frac{m\hbar\omega}{2} \right)^{1/2} (\hat{a} - \hat{a}^\dagger) \quad (1.48)$$

a

$$\hat{H} = \frac{1}{2} (\hat{a} \hat{a}^\dagger + \hat{a}^\dagger \hat{a}) \hbar \omega \quad . \quad (1.49)$$

Operátory \hat{a} a \hat{a}^\dagger jsou hermiteovsky sdružené, operátory fyzikálních veličin \hat{x} , \hat{p} a \hat{H} jsou hermiteovské. Z komutačních relací pro operátory \hat{x} a \hat{p}

$$[\hat{x}, \hat{p}] = i\hbar \hat{1} \quad (1.50)$$

dostaneme po dosazení z (1.48) komutační relaci pro operátory \hat{a} a \hat{a}^\dagger

$$[\hat{a}, \hat{a}^\dagger] = \hat{1} \quad . \quad (1.51)$$

Dosazením za $\hat{a} \hat{a}^\dagger$ ze (1.51) do (1.49) dostáváme pro Hamiltonův operátor lineárního harmonického oscilátoru výraz

$$\hat{H} = \left(\hat{N} + \frac{1}{2} \hat{1} \right) \hbar \omega \quad , \quad \hat{N} = \hat{a}^\dagger \hat{a} \quad . \quad (1.52)$$

Operátor \hat{N} má jako vlastní hodnoty nezáporná celá čísla. Dokaz není obtížný. Vezmeme nějaký normovaný vlastní vektor $|n\rangle$ s vlastní hodnotou n . Máme tedy

$$\hat{N} |n\rangle = n |n\rangle \quad \stackrel{\langle n|}{\Rightarrow} \quad n = \langle n | \hat{N} |n\rangle = (\langle n | \hat{a}^\dagger) (\hat{a} |n\rangle) = |\langle \hat{a} |n\rangle|^2 \geq 0 \quad . \quad (1.53)$$

Dále z komutačních relací

$$\begin{aligned} [\hat{N}, \hat{a}^+] &= \hat{a}^+ \overset{|n\rangle}{\Rightarrow} \hat{N}(\hat{a}^+|n\rangle) = (n+1)(\hat{a}^+|n\rangle) \quad , \\ [\hat{N}, \hat{a}] &= -\hat{a} \overset{|n\rangle}{\Rightarrow} \hat{N}(\hat{a}|n\rangle) = (n-1)(\hat{a}|n\rangle) \quad . \end{aligned} \quad (1.54)$$

Je tedy $\hat{a}^+|n\rangle$ vlastním vektorem operátoru \hat{N} s vlastní hodnotou $n+1$ a $\hat{a}|n\rangle$ vlastním vektorem operátoru \hat{N} s vlastní hodnotou $n-1$, tedy

$$\hat{a}^+|n\rangle = \lambda_n |n+1\rangle \quad , \quad \hat{a}|n\rangle = \mu_n |n-1\rangle \quad . \quad (1.55)$$

Konstanty λ_n a μ_n získáme z

$$\begin{aligned} |\lambda_n|^2 &= |(\hat{a}^+|n\rangle)|^2 = (\langle n|\hat{a})(\hat{a}^+|n\rangle) = \langle n|\hat{a}\hat{a}^+|n\rangle = \langle n|\hat{N}+1|n\rangle = n+1 \quad , \\ |\mu_n|^2 &= |(\hat{a}|n\rangle)|^2 = (\langle n|\hat{a}^+)(\hat{a}|n\rangle) = \langle n|\hat{a}^+\hat{a}|n\rangle = \langle n|\hat{N}|n\rangle = n \quad . \end{aligned} \quad (1.56)$$

Konstanty zvolíme jako reálná čísla a dostáváme tak konečné vyjádření působení kreací (\hat{a}^+) a anihilačního (\hat{a}) operátoru na vlastní vektory operátoru \hat{N}

$$\hat{a}^+|n\rangle = (n+1)^{1/2} |n+1\rangle \quad , \quad \hat{a}|n\rangle = n^{1/2} |n-1\rangle \quad . \quad (1.57)$$

Přirozen

$$\hat{N}|n\rangle = \hat{a}^+ \hat{a}|n\rangle = \hat{a}^+ (n^{1/2} |n-1\rangle) = n^{1/2} \hat{a}^+ |n-1\rangle = n |n\rangle \quad . \quad (1.58)$$

Pro Hamiltonův operátor lineárního harmonického oscilátoru máme pak

$$\hat{H}|n\rangle = E_n |n\rangle \quad , \quad E_n = \left(n + \frac{1}{2} \right) \hbar \omega \quad . \quad (1.59)$$

Vektor popisující základní stav s $n=0$ splňuje

$$\hat{a}|0\rangle = 0 \quad . \quad (1.60)$$

Zapíšeme-li tento vztah s operátory v souřadnicové reprezentaci, dostáváme rovnici

$$\frac{dh_0(x)}{dx} + \frac{m\omega x}{\hbar} h_0(x) = 0 \quad , \quad (1.61)$$

její řešení normované je

$$h_0(x) = \left(\frac{m\omega}{\pi\hbar} \right)^{1/4} \exp \left[-\frac{m\omega}{2\hbar} x^2 \right] \quad . \quad (1.62)$$

Funkce, odpovídající vyšším energetickým hladinám dostaneme podle (1.57) jako

$$h_n(x) = \left(\frac{m\omega}{2\hbar n} \right)^{1/2} \left(x h_{n-1}(x) - \frac{\hbar}{m\omega} \frac{dh_{n-1}(x)}{dx} \right) \quad . \quad (1.63)$$

2. Princip superposice

2.1 Feynmanova formulace

1. Pravd podobnost P , že v ideálním experimentu nastane nějaký jev, je dána druhou mocninou absolutní hodnoty komplexního čísla ϕ , které nazýváme *amplitudou pravd podobnosti*

$$P = |\phi|^2 . \quad (2.1)$$

2. Mě-li k nějakému jevu dojít několika možnými způsoby, a nerozlišíme-li v experimentu jednotlivé způsoby, je celková amplituda pravd podobnosti jevu dána součtem amplitud pravd podobnosti jednotlivých způsobů

$$\phi = \sum_n \phi_n , \quad P = |\phi|^2 . \quad (2.2)$$

3. Mě-li k nějakému jevu dojít několika možnými způsoby, a rozlišíme-li v experimentu jednotlivé způsoby, je celková pravd podobnost jevu dána součtem pravd podobností jednotlivých způsobů

$$P_n = |\phi_n|^2 , \quad P = \sum_n P_n . \quad (2.3)$$

2.2 Formulace Landaua a Lifšice

1. Stav soustavy je popsán komplexní funkcí souřadnic konfigurace prostoru $\Psi(q)$, kvadrát modulu této funkce určuje hustotu pravd podobnosti; $|\Psi(q)|^2 dq$ je pravd podobnost toho, že při experimentu nalezneme souřadnice v intervalu $q, q+dq$. Součet pravd podobností všech možných hodnot souřadnic musí dát jednotku, je tedy pro vlnovou funkci

$$\int |\Psi(q)|^2 dq = 1 . \quad (2.4)$$

2. Stav podsoustavy charakterizované souřadnicemi q , která je součástí soustavy popsané funkcí souřadnic konfigurace prostoru $\Psi(q, Q)$ je popsán maticí hustoty $\rho(q, q')$; $\rho(q, q) dq$ je pravd podobnost toho, že při experimentu nalezneme souřadnice v intervalu $q, q+dq$ a platí

$$\rho(q, q') = \int \Psi(q, Q) \Psi^*(q', Q) dQ . \quad (2.5)$$

3. Vede-li ve stavu s normovanou vlnovou funkcí $\Psi_n(q)$ nějaký měření fyzikální veličiny f k určitému výsledku f_n , popisuje vlnová funkce

$$\Psi(q) = \sum_n a_n \Psi_n(q) \quad , \quad \sum_n |a_n|^2 = 1 \quad (2.6)$$

stav, ve kterém naměříme hodnotu f_n s pravděpodobností $|a_n|^2$.

4. Nachází-li se soustava před měřením ve stavu s normovanou vlnovou funkcí $\Psi_n(q)$, potom při měření fyzikální veličiny f nalezneme s určitostí hodnotu f_n , ale po měření bude soustava ve stavu popsaném normovanou vlnovou funkcí $\Phi_n(q)$, a pravděpodobnost nalezení hodnoty f_m v okamžiku následujícím měření bude $|b_m|^2$, kde

$$b_m = \int \Psi_n^*(q) \Phi_m(q) dq \quad , \quad \sum_m |b_m|^2 = 1 \quad . \quad (2.7)$$

3. Matematický popis

3.1 Základní popis Hilbertova prostoru

1. Stav soustavy je popsán paprskem v Hilbertově prostoru $H = c|\psi\rangle$, kde $|\psi\rangle \in H, c \in \mathbb{C}$.

2. Dynamické proměnné jsou reprezentovány hermiteovskými operátory v tomto prostoru.

Poznámky:

K prostoru *ket* vektor $c|\psi\rangle$ zkonstruujeme duální prostor *bra* vektor $\langle\psi|$ pomocí jednoznačného zobrazení

$$|\alpha\rangle \leftrightarrow \langle\alpha| \quad , \quad c_\alpha|\alpha\rangle + c_\beta|\beta\rangle \leftrightarrow c_\alpha^*\langle\alpha| + c_\beta^*\langle\beta| \quad . \quad (3.1)$$

Skalární součin v Hilbertově prostoru H definuje vnitřní součin *bra* a *ket* vektor

$$\langle\alpha|\beta\rangle \equiv (|\alpha\rangle, |\beta\rangle) \quad . \quad (3.2)$$

Připomejme známé vlastnosti skalárního součinu

$$\begin{aligned} (|f\rangle, c|g\rangle) &= c(|f\rangle, |g\rangle) \quad , \quad (c|f\rangle, |g\rangle) = c^*(|f\rangle, |g\rangle) \quad , \\ (|f\rangle, |g\rangle) &= (|g\rangle, |f\rangle)^* \quad . \end{aligned} \quad (3.3)$$

Hermiteovský sdružený operátor je definován pomocí vztahu

$$(|f\rangle, \check{O}|g\rangle) = (\check{O}^+|f\rangle, |g\rangle) \quad , \quad (|f\rangle, \check{O}|g\rangle) = (|g\rangle, \check{O}^+|f\rangle)^* \quad . \quad (3.4)$$

3.2 Axiomy

1. Výsledkem měření fyzikální veličiny může být pouze jedna z vlastních hodnot odpovídajícího operátoru.

2. Nachází-li se soustava ve stavu, který odpovídá vlastní hodnotě operátoru \hat{A} rovné α_n , je pravděpodobnost toho, že měření veličiny \hat{B} dá hodnotu β_m rovna $|\langle \beta_m | \alpha_n \rangle|^2$, kde

$$\hat{A}|\alpha_n\rangle = \alpha_n|\alpha_n\rangle, \quad \hat{B}|\beta_m\rangle = \beta_m|\beta_m\rangle. \quad (3.5)$$

Obdobně pro spojité spektrum operátoru \hat{B} je pravděpodobnost toho, že měření dá hodnotu z intervalu $(\beta, \beta+d\beta)$ rovna $|\langle \beta | \alpha_n \rangle|^2 d\beta$.

3. Operátory \hat{A} a \hat{B} odpovídající klasickým veličinám A a B splývají komutační relace

$$[\hat{A}, \hat{B}] \equiv \hat{A}\hat{B} - \hat{B}\hat{A} = i\hbar\hat{C}, \quad (3.6)$$

kde klasická veličina C je dána Poissonovou závorkou klasických veličin A a B

$$C = \{A, B\} \equiv \sum_i \left(\frac{\partial A}{\partial q_i} \frac{\partial B}{\partial p_i} - \frac{\partial A}{\partial p_i} \frac{\partial B}{\partial q_i} \right). \quad (3.7)$$

3.3 Reprezentace, rozklad jednotky

Vlastní hodnoty hermiteovského operátoru jsou reálná čísla a vlastní vektory příslušné různým vlastním hodnotám jsou ortogonální. Důkaz není obtížný. Pro hermiteovský operátor platí

$$\hat{A}|a\rangle = \alpha|a\rangle, \quad \langle a' | \hat{A} = \langle a' | \alpha'^* \quad (3.8)$$

Po vynásobení první rovnice *bra* vektorem $\langle a' |$ a druhé rovnice *ket* vektorem $|a\rangle$ a odečtení dostáváme $(\alpha - \alpha'^*)\langle a' | a \rangle = 0$, odkud plyne tvrzení. Při výpočtech je užitečné, jsou-li vlastní vektory normovány na jednotku, tj. $\langle a | a \rangle = 1$. Obecný stavový vektor pak můžeme napsat jako lineární kombinaci vlastních vektorů nějakého hermiteovského operátoru (předpokládejme operátor s diskrétním spektrem)

$$|\psi\rangle = \sum_n c_n |a_n\rangle, \quad c_n = \langle a_n | \psi \rangle. \quad (3.9)$$

Z normovací podmínky $\langle \psi | \psi \rangle = 1$ dostaneme

$$\begin{aligned} \langle \psi | \psi \rangle &= \sum_n \sum_m c_n c_m^* \langle a_m | a_n \rangle \Rightarrow \sum_n c_n c_n^* = 1, \\ 1 &= \sum_n c_n c_n^* = \sum_n \langle \psi | a_n \rangle \langle a_n | \psi \rangle = \langle \psi | \left(\sum_n |a_n\rangle \langle a_n| \right) | \psi \rangle \Rightarrow \\ &\sum_n |a_n\rangle \langle a_n| = \hat{I}. \end{aligned} \quad (3.10)$$

Výše uvedený zápis jednotkového operátoru budeme velmi často využívat.

3.4 Vlnová funkce

Velmi důležitým operátorem se spojitým spektrem je operátor souadnice, který bude pro nás mít jako vlastní hodnoty příslušné souadnice

$$\hat{Q}|q\rangle = q|q\rangle \quad . \quad (3.11)$$

Pro tento stavového vektoru do vlastního vektoru operátoru souadnic je vlnová funkce

$$\psi(q) \equiv \langle q|\psi\rangle \quad , \quad \psi_n(q) \equiv \langle q|a_n\rangle \quad . \quad (3.12)$$

V souadnicové reprezentaci tedy píšeme

$$\Psi(q) = \sum_n c_n \Psi_n(q) \quad , \quad c_n = \int \Psi(q) \Psi_n^*(q) dq \quad (3.13)$$

a normovací podmínky máme vyjádřeny jako

$$\int \Psi_m(q) \Psi_n^*(q) dq = \delta_{mn} \quad , \quad \sum_n c_n c_n^* = \int \Psi(q) \Psi^*(q) dq = 1 \quad . \quad (3.14)$$

Obdobně pro operátory se spojitým spektrem

$$\Psi(q) = \int c_f \Psi_f(q) df \quad , \quad c_f = \int \Psi(q) \Psi_f^*(q) dq \quad (3.15)$$

a

$$\int \Psi_f(q) \Psi_g^*(q) dq = \delta(f-g) \quad , \quad \int c_f c_f^* df = \int \Psi(q) \Psi^*(q) dq = 1 \quad . \quad (3.16)$$

3.5 Maticová reprezentace

Napišme je to jednou nejdůležitější vztahy. Vlastní vektory hermiteovského operátoru tvoří ortonormální bázi

$$\begin{aligned} \langle a_m|a_n\rangle &= \delta_{mn} \quad , \quad \langle a_f|a_g\rangle = \delta(f-g) \quad , \\ \sum_n |a_n\rangle \langle a_n| &= \hat{1} \quad , \quad \int |a_f\rangle \langle a_f| df = \hat{1} \quad . \end{aligned} \quad (3.17)$$

Koeficienty rozkladu obecného stavového vektoru $|\psi\rangle$ v dané bázi získáme jako

$$c_n = \langle a_n|\psi\rangle \quad , \quad c_f = \langle a_f|\psi\rangle \quad . \quad (3.18)$$

V dané bázi lze vyjádřit působení operátoru na stavový vektor jako maticové násobení

$$|\chi\rangle = \hat{B}|\psi\rangle \Rightarrow \langle a_n|\chi\rangle = \langle a_n|\hat{B}\left(\sum_m |a_m\rangle \langle a_m|\right)|\psi\rangle = \sum_m \langle a_n|\hat{B}|a_m\rangle \langle a_m|\psi\rangle \quad , \quad (3.19)$$

tedy

$$|\chi_n\rangle = \sum_m B_{nm} |\psi_m\rangle \quad . \quad (3.20)$$

Maticové operátory v bázi tvořené jeho vlastními vektory je diagonální

$$A_{nm} = \langle a_n | \hat{A} | a_m \rangle = a_m \delta_{nm} \quad . \quad (3.21)$$

Pro komutující operátory \hat{A} a \hat{B} platí

$$\begin{aligned} \langle a_i | \hat{A} \sum_k |a_k\rangle \langle a_k | \hat{B} | a_j \rangle &= \langle a_i | \hat{B} \sum_k |a_k\rangle \langle a_k | \hat{A} | a_j \rangle \quad , \\ a_i \langle a_i | \hat{B} | a_j \rangle &= a_j \langle a_i | \hat{B} | a_j \rangle \Rightarrow \langle a_i | \hat{B} | a_j \rangle = \langle a_i | \hat{B} | a_i \rangle \delta_{ij} \quad . \end{aligned} \quad (3.22)$$

3.6 Zápís Schrödingerovy rovnice v maticové reprezentaci

Pro jednoduchost uvažujme Hilbertův prostor konečné dimenze s ortonormální bází $\{|n\rangle\}$. Upravme Schrödingerovu rovnici

$$\frac{d}{dt} |\psi(t)\rangle = \hat{H} |\psi(t)\rangle \quad (3.23)$$

na

$$i\hbar \frac{d}{dt} \langle m | \psi(t) \rangle = \langle m | \hat{H} \sum_n |n\rangle \langle n | \psi(t) \rangle \quad . \quad (3.24)$$

Rovnici (3.23) jsme zleva vynásobili vektorem báze $\langle m |$ a na pravé straně jsme vložili mezi hamiltonián a stavový vektor jednotkový operátor. S označením

$$C_n(t) = \langle n | \psi(t) \rangle \quad , \quad H_{mn} = \langle m | \hat{H} | n \rangle \quad (3.25)$$

přepíšeme (3.24) na

$$i\hbar \frac{dC_m(t)}{dt} = \sum_n H_{mn} C_n(t) \quad . \quad (3.26)$$

Platí pro inverzi

$$H_{mn} = H_{nm}^* \quad . \quad (3.27)$$

Pro koeficienty $C_n(t)$ platí (opět trik s vložením jednotkového operátoru)

$$1 = \langle \psi(t) | \psi(t) \rangle = \langle \psi(t) | \sum_n |n\rangle \langle n | \psi(t) \rangle = \sum_n C_n^*(t) C_n(t) \quad . \quad (3.28)$$

Pro souadnicovou reprezentaci jsou úvahy obdobné, protože jen dimenze je nekonečná a není spočetná. Maticové elementy hermitovského operátoru jsou adnice v bázi jeho vlastních vektorů jsou diagonální

$$\langle x_2 | \hat{x} | x_1 \rangle = x_2 \langle x_2 | x_1 \rangle = x_1 \langle x_2 | x_1 \rangle \Rightarrow \langle x_2 | x_1 \rangle \sim \delta(x_2 - x_1) \quad . \quad (3.29)$$

Normování vektor báze a jednotkový operátor jsou

$$\langle x | y \rangle = \delta(x - y) \quad , \quad \int |x\rangle \langle x| dx = \mathbb{1} \quad . \quad (3.30)$$

Schrödingerovu rovnici (3.23) napíšeme v sou adnicové bázi jako

$$i\hbar \frac{\partial \psi(x)}{\partial t} = \int \langle x | \hat{H} | y \rangle \psi(y) dy \quad , \quad (3.31)$$

kde jsme ozna ili

$$\psi(x) \equiv \langle x | \psi \rangle \quad . \quad (3.32)$$

asovou derivaci nyní pí-eme jako parciální, aby byla odli-ena od derivací podle prostorových sou adnic ó to u diskrétní báze nebylo t eba. Jak vypadají komuta ní relace?

Pro sou adnici a sdrufenou hybnost máme

$$\hat{x} \hat{p} - \hat{p} \hat{x} = i\hbar \mathbb{1} \quad . \quad (3.33)$$

Postupnými úpravami dostaneme

$$\begin{aligned} \int \langle x_1 | \hat{x} | y \rangle \langle y | \hat{p} | x_2 \rangle dy - \int \langle x_1 | \hat{p} | y \rangle \langle y | \hat{x} | x_2 \rangle dy &= i\hbar \langle x_1 | x_2 \rangle \quad , \\ \int \langle x_1 | y | y \rangle \langle y | \hat{p} | x_2 \rangle dy - \int \langle x_1 | \hat{p} | y \rangle \langle y | x_2 | x_2 \rangle dy &= i\hbar \langle x_1 | x_2 \rangle \quad , \\ \int y \delta(x_1 - y) \langle y | \hat{p} | x_2 \rangle dy - \int x_2 \langle x_1 | \hat{p} | y \rangle \delta(y - x_2) dy &= i\hbar \delta(x_1 - x_2) \end{aligned} \quad (3.34)$$

a tedy nakonec

$$\begin{aligned} (x_1 - x_2) \langle x_1 | \hat{p} | x_2 \rangle &= i\hbar \delta(x_1 - x_2) \Rightarrow \\ \langle x_1 | \hat{p} | x_2 \rangle &= \frac{\hbar}{i} \frac{d\delta(x_1 - x_2)}{dx_1} = i\hbar \frac{d\delta(x_1 - x_2)}{dx_2} \quad . \end{aligned} \quad (3.35)$$

Jak je to s druhou mocninou?

$$\begin{aligned} \langle x_1 | \hat{p}^2 | x_2 \rangle &= \int \langle x_1 | \hat{p} | y \rangle \langle y | \hat{p} | x_2 \rangle dy = -\hbar^2 \int \frac{d\delta(x_1 - y)}{dx_1} \frac{d\delta(y - x_2)}{dy} dy = \\ \hbar^2 \int \frac{d^2 \delta(x_1 - y)}{dx_1 dy} \delta(y - x_2) dy &= \hbar^2 \frac{d^2 \delta(x_1 - x_2)}{dx_1 dx_2} = -\hbar^2 \frac{d^2 \delta(x_1 - x_2)}{dx_2^2} \quad . \end{aligned} \quad (3.36)$$

Zjednodu-ení zápisu

$$\langle x | \hat{p} | \psi \rangle = \int \langle x | \hat{p} | y \rangle \langle y | \psi \rangle dy = \int i\hbar \frac{d\delta(x - y)}{dy} \psi(y) dy = \frac{\hbar}{i} \frac{d\psi(x)}{dx} \quad (3.37)$$

nebo

$$\langle x | \hat{p}^2 | \psi \rangle = \int \langle x | \hat{p}^2 | y \rangle \langle y | \psi \rangle dy = -\hbar^2 \int \frac{d^2 \delta(x-y)}{dy^2} \psi(y) dy = -\hbar^2 \frac{d^2 \psi(x)}{dx^2} . \quad (3.38)$$

3.7 Relace neur itosti

Máme dva hermitovské operátory \hat{A} a \hat{B} . Jejich komutátor je antihermitovský operátor $i\hat{C}$, kde \hat{C} je hermitovský

$$[\hat{A}, \hat{B}] = i\hat{C} . \quad (3.39)$$

Zavedeme označení pro střední hodnotu operátoru $\langle \hat{O} \rangle = \langle \psi | \hat{O} | \psi \rangle$, pro normu $\langle \psi | \psi \rangle = 1$ a definujeme neur itost jako

$$\Delta \hat{O} = \sqrt{\langle (\hat{O} - \langle \hat{O} \rangle)^2 \rangle} . \quad (3.40)$$

Zobecn ěnými relacemi neur itosti nazýváme nerovnost

$$\Delta \hat{A} \Delta \hat{B} \geq \frac{1}{2} |\langle \psi | [\hat{A}, \hat{B}] | \psi \rangle| . \quad (3.41)$$

K d ěkazu tvrzení vytvo říme operátor

$$\hat{O} = (\hat{A} - \langle \hat{A} \rangle) + i\lambda (\hat{B} - \langle \hat{B} \rangle) , \quad (3.42)$$

kde λ je reálný parametr. Pro operátor $\hat{O}^+ \hat{O}$ platí

$$\langle \psi | \hat{O}^+ \hat{O} | \psi \rangle = (\langle \psi | \hat{O}^+) (\hat{O} | \psi \rangle) = |\langle \hat{O} | \psi \rangle|^2 \geq 0 . \quad (3.43)$$

Rozepsáno

$$\langle \psi | \{ (\hat{A} - \langle \hat{A} \rangle) - i\lambda (\hat{B} - \langle \hat{B} \rangle) \} \{ (\hat{A} - \langle \hat{A} \rangle) + i\lambda (\hat{B} - \langle \hat{B} \rangle) \} | \psi \rangle \geq 0 , \quad (3.44)$$

takže

$$(\Delta \hat{A})^2 + \lambda^2 (\Delta \hat{B})^2 + i\lambda \langle \psi | [\hat{A}, \hat{B}] | \psi \rangle \geq 0 . \quad (3.45)$$

S použitím (3.39) tedy

$$(\Delta \hat{A})^2 + \lambda^2 (\Delta \hat{B})^2 - \lambda \langle \hat{C} \rangle \geq 0 . \quad (3.46)$$

Jako kvadratický polynom v λ nem ěže mít reálné ko eny, nesmí tedy být diskriminant kladný, tj. musí platit

$$|\langle \hat{C} \rangle|^2 - 4(\Delta \hat{A})^2 (\Delta \hat{B})^2 \leq 0 , \quad (3.47)$$

Takže po odmocnění dostáváme skutečně hledanou nerovnost (3.41). Mezní rovnost nastane právě tehdy, když podle (3.43)

$$\hat{O}|\psi_0\rangle = 0 \Rightarrow (\hat{A} + i\lambda\hat{B})|\psi_0\rangle = (\langle\hat{A}\rangle + i\lambda\langle\hat{B}\rangle)|\psi_0\rangle. \quad (3.48)$$

Nejznámější příkladem jsou Heisenbergovy relace neurčitosti pro operátory souadnice \hat{q} a konjugované hybnosti \hat{p}

$$\Delta\hat{q}\Delta\hat{p} \geq \frac{\hbar}{2}. \quad (3.49)$$

V souadnicové reprezentaci

$$\hat{A} = \hat{p} = \frac{\hbar}{i} \frac{d}{dx}, \quad \hat{B} = \hat{q} = x, \quad \hat{C} = \frac{1}{i}[\hat{A}, \hat{B}] = -\hbar \hat{1}, \quad (3.50)$$

$$\langle\hat{q}\rangle = x_0, \quad \langle\hat{p}\rangle = p_0, \quad \lambda = -\frac{\hbar}{2(\delta x)^2}.$$

Rovnice pro stav s minimální neurčitostí je pak

$$\left(\frac{d}{dx} + \frac{x}{2(\delta x)^2} \right) \psi(x) = \left(i \frac{p_0}{\hbar} + \frac{x_0}{2(\delta x)^2} \right) \psi(x). \quad (3.51)$$

Normovaným řešením této rovnice je Gaussovo klubko

$$\psi(x) = \frac{1}{(2\pi)^{1/4} (\delta x)^{1/2}} \exp \left\{ \frac{i}{\hbar} p_0 x - \frac{(x-x_0)^2}{4(\delta x)^2} \right\}. \quad (3.52)$$

Připomejme si, že pro harmonický oscilátor jsme analogicky ke (3.48) mohli

$$\hat{a}|0\rangle = 0, \quad \hat{a} = \left(\frac{m\omega}{2\hbar} \right)^{1/2} \hat{x} + i \left(\frac{1}{2m\hbar\omega} \right)^{1/2} \hat{p}. \quad (3.53)$$

V souadnicové reprezentaci potom dostaneme rovnici

$$\frac{d\psi_0(x)}{dx} + \frac{m\omega x}{\hbar} \psi_0(x) = 0 \quad (3.54)$$

s normovaným řešením

$$\psi_0(x) = \left(\frac{m\omega}{\pi\hbar} \right)^{1/4} \exp \left[-\frac{m\omega}{2\hbar} x^2 \right]. \quad (3.55)$$

4. Základní operátory v souadnicové reprezentaci

4.1 Hamilton v operátor (hamiltonián)

Vlnová funkce úpln uruje stav soustavy. Zadání vlnové funkce v ur itém okamffiku musí tedy ur ovat její chování v budoucnosti, musí proto derivace $\partial\Psi/\partial t|_{t=t_0}$ lineárn záviset na $\Psi(t_0)$. Obecná závislost je (Schrödingerova rovnice)

$$i\hbar \frac{\partial\Psi}{\partial t} = \hat{H}\Psi \quad , \quad (4.1)$$

kde \hat{H} je n jaký lineární operátor, faktor $i\hbar$ je vy len n pro korespondenci p i kvasiklasické aproximaci. Tam p edpokládáme vlnovou funkci ve tvaru $\Psi = A \exp\{iS/\hbar\}$, kde A je pomalu se m nící amplituda a S/\hbar rychle se m nící fáze vlny. S je klasický ú inek (e-ení Hamiltonovy - Jacobiho rovnice), \hbar je Planckova konstanta. Potom

$$i\hbar \frac{\partial\Psi}{\partial t} = -\frac{\partial S}{\partial t}\Psi \quad , \quad -\frac{\partial S}{\partial t}\Psi = H\left(\frac{\partial S}{\partial \vec{r}}, \vec{r}, t\right) \quad , \quad (4.2)$$

kde H je Hamiltonova funkce. Této fyzikální veli in p i adíme operátor \hat{H} . Hamilton v operátor \hat{H} je hermiteovský, cofl vidíme z následujících úprav

$$\begin{aligned} \frac{d}{dt} \int |\Psi(q,t)|^2 dq &= \int \frac{\partial\Psi^*(q,t)}{\partial t} \Psi(q,t) dq + \int \Psi^*(q,t) \frac{\partial\Psi(q,t)}{\partial t} dq = \\ &= -\frac{i}{\hbar} \int [\hat{H}\Psi(q,t)]^* \Psi(q,t) dq + \frac{i}{\hbar} \int \Psi^*(q,t) \hat{H}\Psi(q,t) dq = \\ &= \frac{i}{\hbar} \int \Psi^*(q,t) [\hat{H} - \hat{H}^+] \Psi(q,t) dq = 0 \quad \Rightarrow \quad \hat{H} = \hat{H}^+ \quad . \end{aligned} \quad (4.3)$$

4.2 Operátory hybnosti a momentu hybnosti

Uvaflujme uzav enou soustavu ástic bez vn j-ího pole. Hamiltonián soustavy se nezm ní p i paralelním p enosu soustavy o libovolnou vzdálenost, budeme v-ak uvaflovat jen infinitesimální posunutí, tj. transformaci $\vec{r}_a \rightarrow \vec{r}_a + \delta\vec{r}$. P i ní se vlnová funkce (souadnicová reprezentace stavového vektoru) transformuje jako

$$\begin{aligned} \Psi(\vec{r}_a + \delta\vec{r}) &= \Psi(\vec{r}_a) + \delta\vec{r} \cdot \sum_a \vec{\nabla}_a \Psi(\vec{r}_a) = \hat{O}\Psi(\vec{r}_a) \quad , \\ \hat{O} &= \hat{I} + \delta\vec{r} \cdot \sum_a \vec{\nabla}_a \quad . \end{aligned} \quad (4.4)$$

Tvrzení, že nějaká transformace nemění hamiltonián, znamená toto: transformujeme-li funkci $\hat{H}\Psi$, je výsledek stejný, jako když působíme \hat{H} na transformovanou funkci $\hat{O}\Psi$. Je tedy

$$[\hat{O}, \hat{H}] = 0 \quad . \quad (4.5)$$

V důsledku homogenity prostoru komutuje s hamiltoniánem operátor

$$\sum_a \vec{\nabla}_a \hat{H} - \hat{H} \sum_a \vec{\nabla}_a = 0 \quad . \quad (4.6)$$

Vzhledem k tomu, že invarianci vůči posunutí odpovídá v klasické mechanice zákon zachování hybnosti, bude operátor hybnosti úměrný operátoru $\vec{\nabla}$. Operátor hybnosti jedné částice je tedy

$$\hat{\vec{p}} = \frac{\hbar}{i} \vec{\nabla} \quad (4.7)$$

a pro kvasklasickou vlnovou funkci

$$\hat{\vec{p}}\Psi = (\vec{\nabla}S)\Psi \quad . \quad (4.8)$$

Uvažujme oproti uzavřené soustavě částic bez vnějšího pole. Hamiltonián soustavy se nezmění při otočení soustavy o libovolný úhel kolem libovolné osy, budeme však uvažovat jen infinitesimální posunutí, tj. transformaci $\vec{r}_a \rightarrow \vec{r}_a + \delta\vec{\phi} \times \vec{r}_a$. Při ní se vlnová funkce transformuje jako

$$\begin{aligned} \Psi(\vec{r}_a + \delta\vec{r}) &= \Psi(\vec{r}_a) + \sum_a (\delta\vec{\phi} \times \vec{r}_a) \cdot \vec{\nabla}_a \Psi(\vec{r}_a) = \hat{O}\Psi(\vec{r}_a) \quad , \\ \hat{O} &= \hat{I} + \delta\vec{\phi} \cdot \sum_a \vec{r}_a \times \vec{\nabla}_a \quad . \end{aligned} \quad (4.9)$$

V důsledku isotropie prostoru komutuje s hamiltoniánem operátor $\sum_a \vec{r}_a \times \vec{\nabla}_a$:

$$\sum_a \vec{r}_a \times \vec{\nabla}_a \hat{H} - \hat{H} \sum_a \vec{r}_a \times \vec{\nabla}_a = 0 \quad . \quad (4.10)$$

Bezrozměrný operátor momentu hybnosti jedné částice \vec{l} je

$$\vec{l} = -i(\vec{r} \times \vec{\nabla}) \quad . \quad (4.11)$$

Operátor momentu hybnosti (rozměr Planckovy konstanty) je pak

$$\hat{\vec{L}} = \vec{r} \times \hat{\vec{p}} = \frac{\hbar}{i} \vec{r} \times \vec{\nabla} \quad (4.12)$$

a pro kvasklasickou aproximaci tedy

$$\hat{L}\Psi = (\vec{r} \times \vec{\nabla} S)\Psi \quad . \quad (4.13)$$

P ipomeneme podmínku toho, aby operátor byl hermiteovský:

$$\langle \varphi | \hat{O} \psi \rangle - (\langle \psi | \hat{O} \varphi \rangle)^* = 0 \quad . \quad (4.14)$$

Pro operátor hybnosti je to¹

$$\int_V \varphi^*(\vec{r}) \frac{\hbar}{i} \vec{\nabla} \psi(\vec{r}) dV - \left(\int_V \psi^*(\vec{r}) \frac{\hbar}{i} \vec{\nabla} \varphi(\vec{r}) dV \right)^* = \\ \frac{\hbar}{i} \int_V \vec{\nabla} [\varphi^*(\vec{r}) \psi(\vec{r})] dV = \frac{\hbar}{i} \int_S \varphi^*(\vec{r}) \psi(\vec{r}) \vec{n} dS = 0 \quad .$$

Tato podmínka je splněna, je-li na hranici vlnová funkce nulová (p i objemu s jistou symetrií také periodická). Pro nekonečný objem musí vlnová funkce dostatečně rychle klesat k nule.

Pro operátor momentu hybnosti máme²

$$\int_V \varphi^*(\vec{r}) \left[\vec{r} \times \frac{\hbar}{i} \vec{\nabla} \right] \psi(\vec{r}) dV - \left(\int_V \psi^*(\vec{r}) \left[\vec{r} \times \frac{\hbar}{i} \vec{\nabla} \right] \varphi(\vec{r}) dV \right)^* = \\ \frac{\hbar}{i} \int_V \vec{r} \times \vec{\nabla} [\varphi^*(\vec{r}) \psi(\vec{r})] dV = -\frac{\hbar}{i} \int_V \vec{\nabla} \times [\vec{r} \varphi^*(\vec{r}) \psi(\vec{r})] dV = \frac{\hbar}{i} \int_S \vec{r} \varphi^*(\vec{r}) \psi(\vec{r}) \times \vec{n} dS = 0 \quad .$$

Opakem je tedy podmínkou, aby operátor definovaný pro funkce v nekonečném objemu byl hermiteovský, dostatečně rychlý pokles vlnové funkce k nule.

4.3 Rovnice kontinuity

Pro klasickou Hamiltonovu funkci

$$H(\vec{p}, \vec{r}, t) = \frac{\vec{p}^2}{2m} + U(\vec{r}, t) \quad (4.15)$$

Bude mít Schrödingerova rovnice (4.1) tvar

$$-\frac{\hbar^2}{2m} \Delta \Psi(\vec{r}, t) + U(\vec{r}, t) \Psi(\vec{r}, t) = i\hbar \frac{\partial}{\partial t} \Psi(\vec{r}, t) \quad , \quad (4.16)$$

kde $\Delta = \vec{\nabla} \cdot \vec{\nabla}$ je Laplaceův operátor. Rovnice komplexně sdružená ke (4.16) je

¹ $\int_V \vec{\nabla} \Phi(\vec{r}) dV = \int_S \Phi(\vec{r}) \vec{n} dS$

² $\vec{r} \times \vec{\nabla} \Phi(\vec{r}) = -\vec{\nabla} \times [\vec{r} \Phi(\vec{r})]$, $\int_V \vec{\nabla} \times \vec{F}(\vec{r}) dV = -\int_S \vec{F}(\vec{r}) \times \vec{n} dS$

$$-\frac{\hbar^2}{2m}\Delta\Psi^*(\vec{r},t)+U(\vec{r},t)\Psi^*(\vec{r},t)=-i\hbar\frac{\partial}{\partial t}\Psi^*(\vec{r},t) \quad . \quad (4.17)$$

Vynásobení rovnice (4.16) funkcí $\Psi^*(\vec{r},t)$ a rovnice (4.17) funkcí $\Psi(\vec{r},t)$ získáme dva vztahy, které po odečtení dávají

$$-\frac{\hbar^2}{2m}(\Psi^*\Delta\Psi-\Psi\Delta\Psi^*)=i\hbar\left(\Psi^*\frac{\partial\Psi}{\partial t}+\Psi\frac{\partial\Psi^*}{\partial t}\right) \quad .$$

Pravá strana je derivací součinu funkcí, levou stranu můžeme zapsat jako divergenci vektoru, protož

$$\Psi^*\Delta\Psi-\Psi\Delta\Psi^*=\Psi^*\vec{\nabla}\cdot(\vec{\nabla}\Psi)-\Psi\vec{\nabla}\cdot(\vec{\nabla}\Psi^*)=\vec{\nabla}\cdot(\Psi^*\vec{\nabla}\Psi-\Psi\vec{\nabla}\Psi^*) \quad .$$

Dostáváme tak rovnici kontinuity

$$\begin{aligned} \frac{\partial\rho(\vec{r},t)}{\partial t}+\vec{\nabla}\cdot\vec{j}(\vec{r},t) &= 0 \quad , \quad \rho(\vec{r},t)=\Psi^*(\vec{r},t)\Psi(\vec{r},t) \quad , \\ \vec{j}(\vec{r},t) &= \frac{\hbar}{2mi}\left[\Psi^*(\vec{r},t)\vec{\nabla}\Psi(\vec{r},t)-\Psi(\vec{r},t)\vec{\nabla}\Psi^*(\vec{r},t)\right] \quad . \end{aligned} \quad (4.18)$$

4.4 Kvasiklasická aproximace

ve formě Schrödingerovy rovnice

$$i\hbar\frac{\partial}{\partial t}\Psi=\left(-\frac{\hbar^2}{2m}\Delta+U\right)\Psi \quad (4.19)$$

hledáme ve tvaru

$$\Psi(\vec{r},t)=A(\vec{r},t)\exp\left\{\frac{i}{\hbar}S(\vec{r},t)\right\} \quad . \quad (4.20)$$

Dosazením (4.20) do (4.19) dostáváme

$$A\frac{\partial S}{\partial t}-i\hbar\frac{\partial A}{\partial t}+\frac{1}{2m}A(\vec{\nabla}S)^2-\frac{i\hbar}{2m}A\Delta S-\frac{i\hbar}{m}\vec{\nabla}S\cdot\vec{\nabla}A+UA-U A-\frac{\hbar^2}{2m}\Delta A=0 \quad . \quad (4.21)$$

Oddělení členů u sudých a lichých mocnin \hbar dává

$$\begin{aligned} \frac{\partial S}{\partial t}+\frac{(\vec{\nabla}S)^2}{2m}+U-\frac{\hbar^2\Delta A}{2mA} &= 0 \quad , \\ \frac{\partial A}{\partial t}+A\frac{\Delta S}{2m}+\frac{1}{m}\vec{\nabla}S\cdot\vec{\nabla}A &= 0 \quad . \end{aligned} \quad (4.22)$$

Zanedbáme-li člen s \hbar^2 (škvanťový potenciál) a označíme $\rho=A^2$, můžeme rovnice přepsat na Hamiltonovu - Jacobiho rovnici a rovnici kontinuity

$$-\frac{\partial S}{\partial t} = H(\vec{\nabla} S, \vec{r}) \quad , \quad -\frac{\partial \rho}{\partial t} = \vec{\nabla} \cdot \left(\rho \frac{\vec{\nabla} S}{m} \right) \quad . \quad (4.23)$$

Vidíme, že interpretace špsí krát psí s hv zdi kou je hustota pravd podobnosti nalezení ásticeø je dob e podlofená. Vektor toku má v kvasiklasické aproximaci také obvyklý tvar šrychlost krát hustotaø (vzpomeme, že gradient ú inkou je hybnost).

4.5 Ehrenfest v teorém

Definujeme-li střední hodnoty operátoru hybnosti a operátoru síly jako

$$\vec{p} = \int \psi^*(\vec{r}, t) \left[\frac{\hbar}{i} \vec{\nabla} \right] \psi(\vec{r}, t) dV \quad , \quad \vec{F} = \int \psi^*(\vec{r}, t) [-\vec{\nabla} U(\vec{r}, t)] \psi(\vec{r}, t) dV \quad (4.24)$$

vyhovují tyto veličiny druhému Newtonovu zákonu

$$\frac{d\vec{p}}{dt} = \vec{F} \quad . \quad (4.25)$$

Dokaz získáme provedením výpočtu. Máme³

$$\frac{d\vec{p}}{dt} = \frac{\hbar}{i} \int \left\{ \frac{\partial \psi^*}{\partial t} \vec{\nabla} \psi + \psi^* \vec{\nabla} \frac{\partial \psi}{\partial t} \right\} dV = \frac{\hbar}{i} \oint_{\infty} \psi^* \frac{\partial \psi}{\partial t} \vec{n} dS + \frac{\hbar}{i} \int \left\{ \frac{\partial \psi^*}{\partial t} \vec{\nabla} \psi - \frac{\partial \psi}{\partial t} \vec{\nabla} \psi^* \right\} dV \quad .$$

První integrál na pravé straně je roven nule, protože vlnové funkce v nekonečnu jdou dostatečně rychle k nule. Do druhého integrálu dosadíme za derivace podle času ze Schrödingerovy rovnice

$$\begin{aligned} \frac{d\vec{p}}{dt} &= \int \left\{ \left[-\frac{\hbar^2}{2m} \Delta \psi^* + U \psi^* \right] \vec{\nabla} \psi + \left[-\frac{\hbar^2}{2m} \Delta \psi + U \psi \right] \vec{\nabla} \psi^* \right\} dV = \\ &= \int \left\{ -\frac{\hbar^2}{2m} \vec{\nabla} [\vec{\nabla} \psi^* \cdot \vec{\nabla} \psi + U \psi \psi^*] + [-\vec{\nabla} U] \psi \psi^* \right\} dV = \\ &= -\frac{\hbar^2}{2m} \oint_{\infty} [\vec{\nabla} \psi^* \cdot \vec{\nabla} \psi + U \psi \psi^*] \vec{n} dS + \int \psi^* [-\vec{\nabla} U] \psi dV = \int \psi^* [-\vec{\nabla} U] \psi dV \quad . \end{aligned}$$

Opět jsme využili skutečnosti, že integrand integrálu po povrchu v nekonečnu je roven nule.

³ Kromě známých Gaussových vztahů $\int_V \operatorname{div} \vec{f} dV = \oint_S \vec{f} \cdot \vec{n} dS$ platí také $\int_V \operatorname{grad} f dV = \oint_S f \vec{n} dS$.

5. Schrödingerova rovnice pro stacionární stavy

5.1 částice v potenciálovém poli a souadnicová reprezentace

Budeme se zabývat stacionárními stavy a proto musíme předpokládat, že hamiltonián dané úlohy nezávisí explicitně na čase. Hamiltonova funkce klasické úlohy bude tedy

$$H(\vec{p}, \vec{r}) = \frac{\vec{p}^2}{2m} + U(\vec{r}) \quad . \quad (5.1)$$

V souadnicové reprezentaci tak obecná Schrödingerova rovnice (4.1) získá separační tvar

$$\Psi(\vec{r}, t) = \psi(\vec{r}) \exp\left(-\frac{i}{\hbar} E t\right) \quad (5.2)$$

tvar

$$-\frac{\hbar^2}{2m} \Delta \psi(\vec{r}) + U(\vec{r}) \psi(\vec{r}) = E \psi(\vec{r}) \quad . \quad (5.3)$$

Klasicky se částice může nacházet pouze v oblasti prostoru, kde $E \geq U(\vec{r})$. V kvantové mechanice je nenulová pravděpodobnost nalezení částice i v oblastech s $E < U(\vec{r})$.

5.2 Jednorozměrné problémy

Možné situace je poměrně snadné rozlišit v jednorozměrném případě, kdy bude mít Schrödingerova rovnice tvar

$$\frac{d^2 \psi}{dx^2} + \frac{2m}{\hbar^2} [E - U(x)] \psi = 0 \quad . \quad (5.4)$$

Budeme uvažovat obecný případ potenciální energie s volbou nulové hladiny v kladném nekonečnu $U(\infty) = 0$ a s hodnotou $U(-\infty) = U_0 \geq 0$. Funkce $U(x)$ má alespoň jedno minimum, kde nabývá záporné hodnoty $U_{\min} < 0$. Pro hodnoty energie, které odpovídají pohybu na klasicky ohraničené úsece, tj. pro $U_{\min} < E < 0$ existuje ohraničené řešení Schrödingerovy rovnice pouze pro některé (diskrétní) hodnoty energie E_n . Vlnová funkce základního stavu $\psi_0(x)$ (tj. stavu s nejmenší vlastní hodnotou energie E_0) není nulová nikde ani v limitě nekonečnu. Funkce $\psi_n(x)$, popisující stavy pro které $E_{n-1} < E_n < \dots$,

mají $n-1$ nulových bodů. Pro energie v intervalu $0 \leq E \leq U_0$ máme spojité spektrum. P itom asymptotické chování vlnové funkce je

$$\psi_E(x) = \begin{cases} a \cos(kx + \alpha) & k = \sqrt{2mE}/\hbar \quad x \rightarrow \infty \\ b \exp(\kappa x) & \kappa = \sqrt{2m(U_0 - E)}/\hbar \quad x \rightarrow -\infty \end{cases} . \quad (5.5)$$

Dvě konstanty jsou určeny podmínkou spojitosti vlnové funkce a její první derivace. Tato podmínka plyne z toho, že ve Schrödingerově rovnici (5.4) vystupuje druhá derivace vlnové funkce.⁴ Nakonec pro energie $E > U_0$ máme opět spojité spektrum s rovinnými vlnami jako asymptotickým řešením. Asymptotický tvar vlnové funkce je tedy

$$\begin{aligned} \psi(x) &\approx A_1 \exp(ik_1 x) + B_1 \exp(-ik_1 x) \quad , \quad x \rightarrow -\infty \quad , \\ \psi(x) &\approx A_2 \exp(ik_2 x) + B_2 \exp(-ik_2 x) \quad , \quad x \rightarrow \infty \quad . \end{aligned} \quad (5.6)$$

Schrödingerova rovnice je lineární, musí tedy řešení obsahovat jen dvě nezávislé konstanty, tedy

$$A_2 = \alpha A_1 + \beta B_1 \quad . \quad (5.7)$$

Místo uvedení podobného vztahu pro B_2 vyufijeme toho, že i komplexně sdružená funkce je řešením stacionární Schrödingerovy rovnice, tj.

$$\begin{aligned} \psi^*(x) &\approx A_1^* \exp(-ik_1 x) + B_1^* \exp(ik_1 x) \quad , \quad x \rightarrow -\infty \quad , \\ \psi^*(x) &\approx A_2^* \exp(-ik_2 x) + B_2^* \exp(ik_2 x) \quad , \quad x \rightarrow \infty \quad , \end{aligned} \quad (5.8)$$

takže porovnáním vztahů (5.6) a (5.8) máme z (5.7) vztah

$$B_2^* = \alpha B_1^* + \beta A_1^* \quad , \quad (5.9)$$

a tedy

$$A_2 = \alpha A_1 + \beta B_1 \quad , \quad B_2 = \beta^* A_1 + \alpha^* B_1 \quad . \quad (5.10)$$

Pro proudovou hustotu platí rovnice kontinuity

$$\operatorname{div} \vec{J} = 0 \quad , \quad \vec{J} = \frac{\hbar}{2mi} [\psi^* \vec{\nabla} \psi - \psi \vec{\nabla} \psi^*] \quad (5.11)$$

a tedy

$$k_1 (|A_1|^2 - |B_1|^2) = k_2 (|A_2|^2 - |B_2|^2) \quad , \quad (5.12)$$

⁴ V n kterých modelových úlohách je v potenciální energii člen úm rný Diracov delta funkci $U = u \ell \delta(x-a)$. Potom je spojitá pouze vlnová funkce a derivace má v bodě $x=a$ nespojitost $\psi'(a+0) - \psi'(a-0) = 2m\ell u/\hbar^2$.

po dosazení z (5.10) pak

$$|\alpha|^2 - |\beta|^2 = \frac{k_1}{k_2} . \quad (5.13)$$

Nyní máme pro amplitudy odrazu r, r' a průchodu t, t' pro vlnu picházející z $-\infty$ (neárkované veličiny) nebo z $+\infty$ (árkované veličiny)

$$\begin{aligned} B_2 = 0 &\Rightarrow r = \frac{B_1}{A_1} = -\frac{\beta^*}{\alpha^*} , \quad t = \frac{A_2}{A_1} = \alpha - \frac{|\beta|^2}{\alpha^*} , \\ A_1 = 0 &\Rightarrow t' = \frac{B_1}{B_2} = \frac{1}{\alpha^*} , \quad r' = \frac{A_2}{B_2} = \frac{\beta}{\alpha^*} . \end{aligned} \quad (5.14)$$

Je-li také potenciál $U_0 = 0$, máme $k_1 = k_2$ a pro komplexní amplitudy odrazu a průchodu platí z optiky známé Stokesovy vzorce

$$|r| = |r'| , \quad |t| = |t'| , \quad |r|^2 + |t|^2 = 1 , \quad r t^* + r'^* t' = 0 . \quad (5.15)$$

5.3 Harmonický oscilátor a koherentní stavy

Hamiltonián jednorozměrného harmonického oscilátoru (1.42) vede v souřadnicové reprezentaci na Schrödingerovu rovnici

$$-\frac{\hbar^2}{2m} \frac{d^2 \psi(x)}{dx^2} + \frac{m\omega^2 x^2}{2} \psi(x) = E \psi(x) . \quad (5.16)$$

Zavedeme bezrozměrné proměnné

$$\xi = \left(\frac{m\omega}{\hbar} \right)^{1/2} x , \quad n = \frac{E}{\hbar\omega} - \frac{1}{2} \quad (5.17)$$

a dostaneme rovnici

$$\psi'' + (2n + 1 - \xi^2) \psi = 0 , \quad (5.18)$$

kde árkou značíme derivaci podle ξ . Pro $\xi \rightarrow \pm\infty$ je asymptotický tvar (zanedbáme v (5.18)

člen $2n+1$) řešení $\psi \rightarrow \exp(-\xi^2/2)$, takže hledáme řešení ve tvaru $\psi = \chi \exp(-\xi^2/2)$, kde funkce χ je řešením rovnice

$$\chi'' - 2\xi \chi + 2n \chi = 0 \quad (5.19)$$

a je konečná pro konečné hodnoty proměnné ξ a pro $\xi \rightarrow \pm\infty$ roste do nekonečna nejvýše jako mocnina, čímž zaručíme možnost normování. V rovnici (5.19) tak musíme

zavést omezení pro n na nezáporná celá čísla, pak jsou $\psi_n(x)$ Hermiteovy polynomy stupně n , a ξ na konstantu Hermiteovy polynomy $H_n(\xi)$

$$H_n(\xi) = (-1)^n \exp(\xi^2) \frac{d^n \exp(-\xi^2)}{d\xi^n} . \quad (5.20)$$

Konstantu určíme z normovací podmínky $\int_{-\infty}^{\infty} |\psi_n(x)|^2 dx = 1$, takže výsledná vlnová funkce (vracíme se k proměnné x) je

$$\psi_n(x) = \left(\frac{m\omega}{\pi\hbar} \right)^{1/4} \frac{1}{(2^n n!)^{1/2}} H_n \left(\sqrt{\frac{m\omega}{\hbar}} x \right) \exp \left(-\frac{m\omega}{2\hbar} x^2 \right) . \quad (5.21)$$

Vlnová funkce základního stavu je

$$\psi_0(x) = \left(\frac{m\omega}{\pi\hbar} \right)^{1/4} \exp \left(-\frac{m\omega}{2\hbar} x^2 \right) . \quad (5.22)$$

Snadno se přesvědčíme, že vlnové funkce excitovaných stavů získáme pomocí rekurentního vztahu

$$\psi_n(x) = - \left(\frac{\hbar}{2nm\omega} \right)^{1/2} \exp \left(\frac{m\omega}{2\hbar} x^2 \right) \frac{d}{dx} \left[\exp \left(-\frac{m\omega}{2\hbar} x^2 \right) \psi_{n-1}(x) \right] . \quad (5.23)$$

Už v roce 1926 si Schrödinger⁵ povšiml, že vhodná kombinace stavů (5.21) vede ke stavu, kde hustota pravděpodobnosti výskytu je blízká klasickému rozdělení. Mějme tedy

$$\Psi(x, t) = \sum_{n=0}^{\infty} c_n \psi_n(x) \exp[-i(n+1/2)\omega t] \quad (5.24)$$

a zvolme

$$c_n = \frac{\alpha^n}{(2^n n!)^{1/2}} \exp \left(-\frac{\alpha^2}{4} \right) , \quad \sum_{n=0}^{\infty} |c_n|^2 = \exp \left(-\frac{\alpha^2}{2} \right) \sum_{n=0}^{\infty} \frac{1}{n!} \left(\frac{\alpha^2}{2} \right)^n = 1 . \quad (5.25)$$

Po dosazení do (5.24)

$$\Psi(x, t) = \left(\frac{m\omega}{\pi\hbar} \right)^{1/4} \exp \left(-\frac{\alpha^2}{4} - i\frac{\omega t}{2} \right) \sum_{n=0}^{\infty} \frac{[\alpha \exp(-in\omega t)]^n}{2^n n!} H_n \left(\sqrt{\frac{m\omega}{\hbar}} x \right) \exp \left(-\frac{m\omega}{2\hbar} x^2 \right) . \quad (5.26)$$

S využitím vztahu

⁵ E. Schrödinger: Der stetige Übergang von der Mikro- zur Makromechanik, Die Naturwissenschaften **28** (1926), 664–666. Schrödingerova rovnice tehdy byla rovnicí komplexně sdruženou k současně.

$$\sum_{n=0}^{\infty} \frac{s^n}{n!} \exp\left(-\frac{t^2}{2}\right) H_n(t) = \exp\left(-s^2 + 2st - \frac{t^2}{2}\right) \quad (5.27)$$

vyjádříme (5.26) s označením $a = \sqrt{\hbar/m\omega}$ jako

$$\Psi(x,t) = \left(\frac{m\omega}{\pi\hbar}\right)^{1/4} \exp\left[-i\left(\frac{m\omega}{\hbar}a\sin\omega t\left(x - \frac{a}{2}\cos\omega t\right) + \frac{\omega t}{2}\right)\right] \exp\left[-\frac{m\omega}{2\hbar}(x - a\cos\omega t)^2\right] \quad (5.28)$$

Počítáme tedy střední hodnotu operátoru souřadnice a jeho druhé mocniny. Máme

$$\langle \hat{x} \rangle = \int_{-\infty}^{\infty} \Psi^*(x,t) x \Psi(x,t) dx = \left(\frac{m\omega}{\pi\hbar}\right)^{1/2} \int_{-\infty}^{\infty} x \exp\left[-\frac{m\omega}{\hbar}(x - a\cos\omega t)^2\right] dx = a\cos\omega t \quad (5.29)$$

$$\langle \hat{x}^2 \rangle = \int_{-\infty}^{\infty} \Psi^*(x,t) x^2 \Psi(x,t) dx = \left(\frac{m\omega}{\pi\hbar}\right)^{1/2} \int_{-\infty}^{\infty} x^2 \exp\left[-\frac{m\omega}{\hbar}(x - a\cos\omega t)^2\right] dx = a^2 \cos^2 \omega t + \frac{\hbar}{2m\omega} \quad (5.30)$$

Pro neurčitost tak dostáváme

$$(\Delta \hat{x})^2 = \langle \hat{x}^2 \rangle - \langle \hat{x} \rangle^2 = \frac{\hbar}{2m\omega} \quad (5.31)$$

Obdobný výpočet pro operátor hybnosti dává

$$\langle \hat{p} \rangle = \frac{\hbar}{i} \int_{-\infty}^{\infty} \Psi^*(x,t) \frac{d\Psi(x,t)}{dx} dx = -m\omega a \sin\omega t \quad (5.32)$$

$$\langle \hat{p}^2 \rangle = -\hbar^2 \int_{-\infty}^{\infty} \Psi^*(x,t) \frac{d^2\Psi(x,t)}{dx^2} dx = (m\omega a)^2 \sin^2 \omega t + \frac{\hbar m\omega}{2}$$

takže pro neurčitost máme

$$(\Delta \hat{p})^2 = \langle \hat{p}^2 \rangle - \langle \hat{p} \rangle^2 = \frac{\hbar m\omega}{2} \quad (5.33)$$

Střední hodnoty operátorů odpovídají klasickým kmitům s amplitudou a , přitom relace neurčitost dávají minimální možnou hodnotu

$$\Delta \hat{x} \cdot \Delta \hat{p} = \frac{\hbar}{2} \quad (5.34)$$

Stav (5.28) má typické vlastnosti tzv. koherentních kvantových stavů v určitém smyslu je blízký klasickému chování a realizuje minimální možnou hodnotu v relaci neurčitosti pro kanonicky sdružené operátory.

6. WKB aproximace

6.1 Odvození aproximace⁶

Tato aproximace má několik názvů, podle jmen (Wentzel, Kramers, Brillouin odkdy také WKBJ odk Jeffreys) nebo oblastí užití odk kvasiklasická, nebo také semiklasická aproximace. V jednorozměrném případě má jednoduchou formu. Do Schrödingerovy rovnice

$$\frac{d^2\psi(x)}{dx^2} + \frac{2m}{\hbar^2}[E - V(x)]\psi(x) = 0 \quad (6.1)$$

dosadíme

$$\psi(x) = \exp\left(\frac{i}{\hbar} \sum_{n=0}^{\infty} \hbar^n S_n(x)\right) \quad (6.2)$$

a dostáváme

$$-\left(S_0' + \hbar S_1' + \hbar^2 S_2' + \dots\right)^2 + i\left(\hbar S_0'' + \hbar^2 S_1'' + \hbar^3 S_2'' + \dots\right) + 2m(E - V) = 0 \quad (6.3)$$

čárkou značíme derivaci podle souřadnice x . Anulování koeficientů u jednotlivých mocnin \hbar dává soustavu rovnic

$$\left(S_0'\right)^2 = 2m(E - V) \quad , \quad i S_0'' - 2S_0' S_1' = 0 \quad , \quad i S_1'' - \left(S_1'\right)^2 - 2S_0' S_2' = 0 \quad , \quad \dots \quad (6.4)$$

V první rovnici najdeme řešení prvních dvou rovnic a tímto použijeme k odhadu platnosti takové aproximace. Hned u první rovnice musíme odlišit, zda jde o klasicky dovolenou nebo zakázanou oblast, tj. zda $2m(E - V) = \hbar^2 k^2 > 0$ nebo $2m(E - V) = -\hbar^2 \kappa^2 < 0$. Máme tak

$$S_0 = \pm \hbar \int_c^x k(\xi) d\xi \quad , \quad S_0 = \pm i \hbar \int_c^x \kappa(\xi) d\xi \quad (6.5)$$

Integrální konstanta je dána dolní mezí integrálu. Druhou rovnicí a její řešení zapíšeme jako

$$S_1' = \frac{i S_0''}{2 S_0'} \Rightarrow S_1' = \frac{i}{2} (\ln S_0')' \Rightarrow \exp(i S_1) = \begin{cases} \frac{C}{\sqrt{k}} \\ \frac{C}{\sqrt{\kappa}} \end{cases} \quad (6.6)$$

Tímto rovnicí vede na

⁶ Možná vynechat a spolehnout se v dalším na tedy popsané vztahy.

$$S_2' = i \frac{S_1''}{2S_0'} - \frac{(S_1')^2}{2S_0'} = -\frac{S_0'''}{4(S_0')^2} + \frac{3(S_0'')^2}{8(S_0')^3} = \frac{1}{4} \left(\frac{1}{S_0'} \right)'' - \frac{S_0'}{8} \left[\left(\frac{1}{S_0'} \right)' \right]^2 . \quad (6.7)$$

e-ením je (pro stru nost pí-eme jen e-ení v klasicky dovolené oblasti)

$$S_2(x) = \pm \frac{1}{4} \frac{d}{dx} \left(\frac{1}{p(x)} \right) \mp \frac{1}{8} \int_a^x p(\xi) \left[\frac{d}{d\xi} \left(\frac{1}{p(\xi)} \right) \right]^2 d\xi . \quad (6.8)$$

Pro zanedbání p ísp vku S_2 musí tedy být

$$|\hbar S_2| \ll 1 \Rightarrow \left| \frac{d\lambda}{dx} \right| \ll 1 , \quad (6.9)$$

tedy vyfladuje se pozvolná zm na redukované de Broglieho vlnové délky. Jinak zapsáno

$$\frac{m\hbar F}{p^3} \ll 1 , \quad F = \left| \frac{dV}{dx} \right| . \quad (6.10)$$

Je vid t, že aproximace nebude platná v okolí bod x_p , kde p echází dovolená klasická oblast

do zakázané. V t chto bodech $p(x_p) = \sqrt{2m[E - V(x_p)]} = 0$. Navázání e-ení se provádí tak,

že v okolí bod p echodu vezmeme první leny Taylorova rozvoje potenciální energie

$$V(x) = V|_{x_p} + \frac{dV}{dx}|_{x_p} (x - x_p) + \dots \doteq E - F(x - x_p) , \quad (6.11)$$

kde F je záporné p i p echodu z dovolené do zakázané oblasti a kladné p i p echodu ze zakázané do dovolené oblasti. V malém okolí bod p echodu pak hledáme e-ení Schrödingerovy rovnice

$$\frac{d^2\psi}{dx^2} + F(x - x_p)\psi = 0 . \quad (6.12)$$

e-ením rovnice

$$\frac{d^2y}{dx^2} - xy = 0 \quad (6.13)$$

jsou Airyho funkce $Ai(x)$ a $Bi(x)$, jejichž asymptotické chování je pro $x < 0$

$$Ai(x) \approx \frac{1}{\pi^{1/2}|x|^{1/4}} \sin\left(\frac{2}{3}|x|^{3/2} + \frac{\pi}{4}\right) , \quad Bi(x) \approx \frac{1}{\pi^{1/2}|x|^{1/4}} \cos\left(\frac{2}{3}|x|^{3/2} + \frac{\pi}{4}\right) \quad (6.14)$$

a pro $x > 0$

$$\text{Ai}(x) \approx \frac{1}{2\pi^{1/2} x^{1/4}} \exp\left(-\frac{2}{3} x^{3/2}\right), \quad \text{Bi}(x) \approx \frac{1}{\pi^{1/2} x^{1/4}} \exp\left(\frac{2}{3} x^{3/2}\right). \quad (6.15)$$

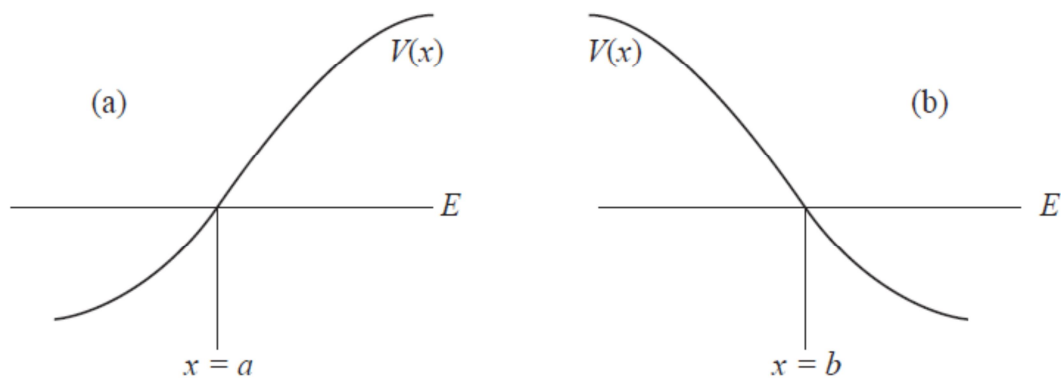
Chování Airyho funkcí je dáno tím, že jsou nalezeny pomocí transformace (jak funkce, tak proměnné) rovnice (6.13) na rovnici pro Besselovy nebo modifikované Besselovy funkce řádu 1/3. V dostatečně vzdálenosti od bodu přechodu pak navazujeme řešení na řešení získané WKB aproximací. Uvádíme zde výsledek (Kramersova spojovací pravidla):

Bod přechodu $x=x_b$, zakázaná oblast nalevo (tj. pro $x < x_b$) od dovolené

$$\begin{aligned} \frac{1}{\sqrt{\kappa(x)}} \exp\left(-\int_x^{x_b} \kappa(\xi) d\xi\right) &\leftrightarrow \frac{2}{\sqrt{k(x)}} \cos\left(\int_{x_b}^x k(\xi) d\xi - \frac{\pi}{4}\right), \\ \frac{1}{\sqrt{\kappa(x)}} \exp\left(\int_x^{x_b} \kappa(\xi) d\xi\right) &\leftrightarrow \frac{1}{\sqrt{k(x)}} \cos\left(\int_{x_b}^x k(\xi) d\xi + \frac{\pi}{4}\right). \end{aligned} \quad (6.16)$$

Bod přechodu $x=x_a$, zakázaná oblast napravo (tj. $x > x_a$) od dovolené

$$\begin{aligned} \frac{1}{\sqrt{\kappa(x)}} \exp\left(-\int_x^{x_a} \kappa(\xi) d\xi\right) &\leftrightarrow \frac{2}{\sqrt{k(x)}} \cos\left(\int_x^{x_a} k(\xi) d\xi - \frac{\pi}{4}\right), \\ \frac{1}{\sqrt{\kappa(x)}} \exp\left(\int_x^{x_a} \kappa(\xi) d\xi\right) &\leftrightarrow \frac{1}{\sqrt{k(x)}} \cos\left(\int_x^{x_a} k(\xi) d\xi + \frac{\pi}{4}\right). \end{aligned} \quad (6.17)$$



Jiný způsob odvození spojovacích pravidel si ukážeme na příkladu, kdy $x=a$ a $x=b$ jsou body obratu, tedy

$$\begin{aligned} U(x) > E & \quad x < a & , \\ U(x) < E & \quad a < x < b & , \\ U(x) > E & \quad x > b & . \end{aligned} \quad (6.18)$$

Kvasiklasická řešení v jednotlivých oblastech jsou

$$\begin{aligned}\psi(x) &= \frac{A}{2\sqrt{|p|}} \exp\left\{\frac{1}{\hbar} \int_a^x |p| dx\right\}, \quad \psi(x) = \frac{C_1}{\sqrt{p}} \exp\left\{\frac{i}{\hbar} \int_a^x p dx\right\} + \frac{C_2}{\sqrt{p}} \exp\left\{-\frac{i}{\hbar} \int_a^x p dx\right\} \\ &= \frac{D_1}{\sqrt{p}} \exp\left\{\frac{i}{\hbar} \int_b^x p dx\right\} + \frac{D_2}{\sqrt{p}} \exp\left\{-\frac{i}{\hbar} \int_b^x p dx\right\}, \quad \psi(x) = \frac{B}{2\sqrt{|p|}} \exp\left\{-\frac{1}{\hbar} \int_b^x |p| dx\right\}.\end{aligned}\quad (6.19)$$

V okolí bod obratu je

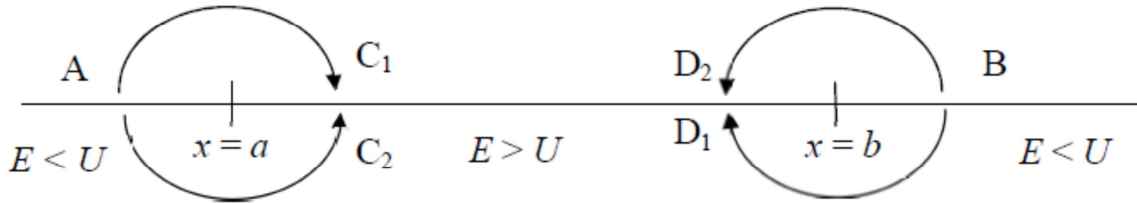
$$E - U(x) \approx \frac{\hbar^2 \alpha^2}{2m} (x-a), \quad E - U(x) \approx -\frac{\hbar^2 \beta^2}{2m} (x-b). \quad (6.20)$$

V tomto okolí (ale stále dostate n daleko od bod obratú) m fleme psát

$$\begin{aligned}\psi(x) &= \frac{A}{2\sqrt{\hbar\alpha}(a-x)^{1/4}} \exp\left\{-\frac{2\alpha}{3}(a-x)^{3/2}\right\}, \quad \psi(x) = \\ &= \frac{C_1}{\sqrt{\hbar\alpha}(x-a)^{1/4}} \exp\left\{\frac{2\alpha}{3}i(x-a)^{3/2}\right\} + \frac{C_2}{\sqrt{\hbar\alpha}(x-a)^{1/4}} \exp\left\{-\frac{2\alpha}{3}i(x-a)^{3/2}\right\} = \\ &= \frac{D_1}{\sqrt{\hbar\beta}(b-x)^{1/4}} \exp\left\{-\frac{2\beta}{3}i(b-x)^{3/2}\right\} + \frac{D_2}{\sqrt{\hbar\beta}(b-x)^{1/4}} \exp\left\{\frac{2\beta}{3}i(b-x)^{3/2}\right\}, \\ \psi(x) &= \frac{B}{2\sqrt{\hbar\beta}(x-b)^{1/4}} \exp\left\{-\frac{2\beta}{3}(x-b)^{3/2}\right\}.\end{aligned}\quad (6.21)$$

P i analytickém prodloužení odmocnin do komplexní roviny poufijeme zápisu

$$\begin{aligned}\varphi \in (0, \pi) &\Rightarrow x-b = \rho \exp\{i\varphi\}, \quad a-x = \rho \exp\{i(\varphi-\pi)\}, \\ \varphi \in (\pi, 2\pi) &\Rightarrow x-b = \rho \exp\{i(\varphi-2\pi)\}, \quad a-x = \rho \exp\{i(\varphi-\pi)\}.\end{aligned}\quad (6.22)$$



Obchodem bod obratu v horní (spodní) polorovin dostáváme podmínky spojitosti

$$\begin{aligned}C_2 &= \frac{A}{2} \exp\left\{i\frac{\pi}{4}\right\}, \quad D_2 = \frac{B}{2} \exp\left\{-i\frac{\pi}{4}\right\}, \\ C_1 &= \frac{A}{2} \exp\left\{-i\frac{\pi}{4}\right\}, \quad D_1 = \frac{B}{2} \exp\left\{i\frac{\pi}{4}\right\}\end{aligned}\quad (6.23)$$

a nakonec tedy pro $a \leq x \leq b$

$$\psi(x) = \begin{cases} \frac{A}{\sqrt{p}} \cos\left(\frac{1}{\hbar} \int_a^x p dx - \frac{\pi}{4}\right) \\ \frac{B}{\sqrt{p}} \cos\left(\frac{1}{\hbar} \int_b^x p dx + \frac{\pi}{4}\right) \end{cases} . \quad (6.24)$$

Výrazy budou stejné, pokud se rozdíl fází kosinu bude rovnat celistvému násobku π , tedy

$$\frac{1}{\hbar} \int_a^b p dx - \frac{\pi}{2} = n\pi \quad , \quad B = (-1)^n A \quad . \quad (6.25)$$

Odlí-ný výsledek bychom dostali pouze v p ípad , fle n kterou z hranic klasicky dovoleného pohybu je nekone n vysoká jáma. Je-li to nap . v $x=b$, je $B=0$ a

$$\frac{1}{\hbar} \int_a^b p dx - \frac{\pi}{4} = (2n-1) \frac{\pi}{2} \quad . \quad (6.26)$$

6.2 Bohrovo - Sommerfeldovo kvantování

P ípome me, fle v klasické mechanice máme pro periodu výraz

$$T = \frac{2\pi}{\omega} = \oint dt = 2 \int_a^b \frac{dx}{v(x)} = 2m \int_a^b \frac{dx}{p(x)} \quad , \quad (6.27)$$

$$v = \frac{\partial E}{\partial p} \quad , \quad T = \oint \frac{\partial p}{\partial E} dx \quad .$$

Kvasiklasická vlnová funkce normovaná na jedni ku je z (6.24)

$$\psi(x) = \sqrt{\frac{2\omega}{\pi v}} \cos\left\{ \frac{1}{\hbar} \int_a^x p dx - \frac{\pi}{4} \right\} \quad , \quad (6.28)$$

podmínku kvantování (6.25) napí-eme jako

$$\frac{1}{2\pi\hbar} \oint p dx = n + \frac{1}{2} \quad . \quad (6.29)$$

Dále pak $S = \oint p dx$ je plocha uvnit uzav ené trajektorie ve fázovém prostoru. Pod líme-li tuto plochu výrazem $2\pi\hbar$, dostaneme po et kvantových stav n s energiemi men-ími, nefl je energie na uvařfované trajektorii. M fleme íci, fle v kvasiklasické aproximaci odpovídá jednomu kvantovému stavu bu ka fázového prostoru velikosti $2\pi\hbar$. Pro po et stav v elementárním objemu fázového prostoru dostáváme

$$\Delta N = \frac{\Delta q_1 \dots \Delta q_s \Delta p_1 \dots \Delta p_s}{(2\pi\hbar)^s} \quad . \quad (6.30)$$

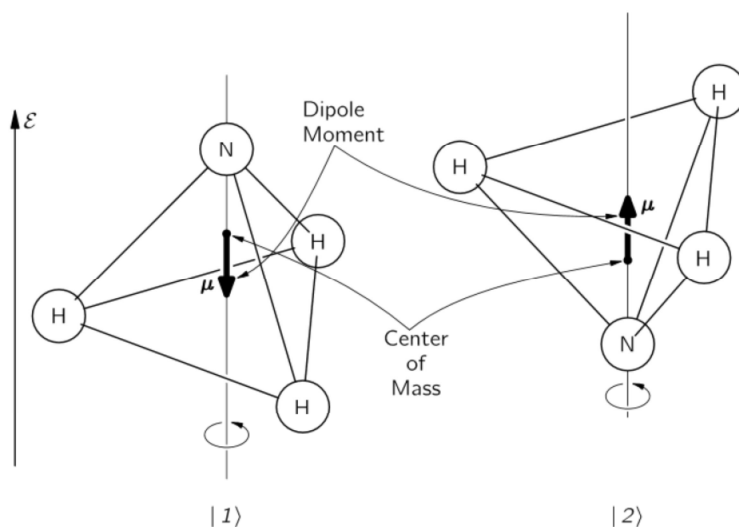
Ode tením kvantových podmínek pro dvě sousední energetické hladiny dostáváme

$$\oint p(E + \Delta E) dx - \oint p(E) dx = \Delta E \oint \frac{\partial p}{\partial E} dx \quad , \quad (6.31)$$

$$\Delta E \frac{2\pi}{\omega} = 2\pi \hbar \Rightarrow \Delta E = \hbar \omega \quad .$$

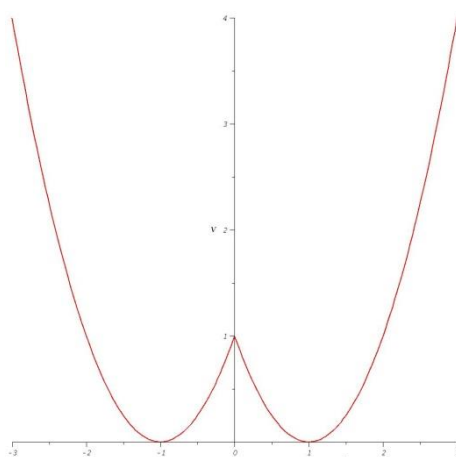
6.3 Elementární popis molekuly pávku

adu pozoruhodných kvantových mechanických jevů můžeme vidět při studiu jednoduchého modelu molekuly pávku NH_3 . Na obrázku (z Feynmanových přednášek) je model dvou možných stavů, tj. uspořádání atomů v molekule. Na dalším obrázku je



zjednodušený, snadno řešitelný potenciál pro přechod z jednoho stavu do druhého

$$V(x) = V_0 (|x| - a)^2 / a^2 \quad .$$



Souadnice x označuje polohu roviny, ve které leží tři vodíkové atomy. Dvě minima odpovídají dvěma (téměř) stabilním konfiguracím molekuly. Střední potenciálová bariéra

konečné výšky a nízké dovoluje s nenulovou pravděpodobností přechod (tunelovým jevem) od jedné konfigurace ke druhé. Vzhledem k symetrii potenciálu $V(x)=V(-x)$ budeme hledat symetrické $\psi_s(x)=\psi_s(-x)$ a antisymetrické $\psi_a(x)=-\psi_a(-x)$ řešení stacionární Schrödingerovy rovnice

$$-\frac{\hbar^2}{2m} \frac{d^2 \psi_s(x)}{dx^2} + V(x) \psi_s(x) = E_s \psi_s(x) \quad , \quad m = \frac{3m_H m_N}{m_N + 3m_H} \quad (6.32)$$

a

$$-\frac{\hbar^2}{2m} \frac{d^2 \psi_a(x)}{dx^2} + V(x) \psi_a(x) = E_a \psi_a(x) \quad , \quad m = \frac{3m_H m_N}{m_N + 3m_H} \quad (6.33)$$

Rovnici (6.32) vynásobíme ψ_a a odečteme ji od rovnice (6.33) vynásobené ψ_s

$$\frac{\hbar^2}{2m} \frac{d}{dx} \left(\psi_a \frac{d\psi_s}{dx} - \psi_s \frac{d\psi_a}{dx} \right) = (E_a - E_s) \psi_a \psi_s \quad (6.34)$$

Rovnici (6.34) integrujeme po kladné poloose a s využitím $\psi_a(0)=\psi_a(\infty)=\psi_s(\infty)=0$ dostáváme

$$E_a - E_s = \frac{\hbar^2}{2mN} \psi_s(x) \Big|_{x=0} \frac{d\psi_a(x)}{dx} \Big|_{x=0} \quad , \quad N = \int_0^\infty \psi_s(x) \psi_a(x) dx \quad (6.35)$$

Při hledání řešení se tedy musíme omezit jen na kladnou poloosu. Oblast klasicky dovoleného pohybu je dána nulovou hodnotou hybnosti v krajních bodech x_t

$$E \equiv \alpha^2 V_0 = \frac{V_0}{a^2} (x_t - a)^2 \quad \Rightarrow \quad a(1-\alpha) \leq x \leq a(1+\alpha) \quad (6.36)$$

Pro symetrické řešení $|\psi_s\rangle$ resp. antisymetrické $|\psi_a\rangle$ řešení máme podle pravidel WKB aproximace v jednotlivých oblastech

$$\psi_{s,a}(x) = \frac{A}{2\sqrt{k(x)}} \left[\exp\left(\frac{\phi}{2} - \int_x^{a(1-\alpha)} \kappa(\xi) d\xi\right) \pm \exp\left(-\frac{\phi}{2} + \int_x^{a(1-\alpha)} \kappa(\xi) d\xi\right) \right] \quad (6.37)$$

pro $0 \leq x \leq a(1-\alpha)$,

$$\psi_{s,a}(x) = \begin{cases} \frac{A}{2\sqrt{k(x)}} \left[2 \exp\left(\frac{\phi}{2}\right) \cos\left(I(x) - \frac{\pi}{4}\right) \pm \exp\left(-\frac{\phi}{2}\right) \cos\left(I(x) + \frac{\pi}{4}\right) \right] \\ \frac{2B}{\sqrt{k(x)}} \cos\left(\int_x^{a(1+\alpha)} k(\xi) d\xi - \frac{\pi}{4}\right) \end{cases} \quad (6.38)$$

pro $a(1-\alpha) \leq x \leq a(1+\alpha)$ a

$$\psi_{s,a}(x) = \frac{B}{\sqrt{\kappa(x)}} \exp\left(\int_{a(1+\alpha)}^x \kappa(\xi) d\xi\right) \quad (6.39)$$

pro $a(1+\alpha) \leq x < \infty$. Označme nyní

$$I(x) = \int_{a(1-\alpha)}^x k(\xi) d\xi, \quad \frac{\phi}{2} = \int_0^{a(1-\alpha)} \kappa(\xi) d\xi, \quad (6.40)$$

abychom zapsali v (6.37) hyperbolický kosinus nebo sinus argumentu $\int_0^x \kappa(\xi) d\xi$ ve formě vhodných k užití Kramersových spojovacích formulí. Dále jsme označili

$$\kappa(x) = \frac{\sqrt{2mV_0}}{\hbar} \sqrt{\frac{(x-a)^2}{a^2} - \alpha^2}, \quad k(x) = \frac{\sqrt{2mV_0}}{\hbar} \sqrt{\alpha^2 - \frac{(x-a)^2}{a^2}}. \quad (6.41)$$

V klasicky dovolené oblasti musí být obě vyjádření vlnové funkce (6.38) shodná. Půjde proto druhé vyjádření jako

$$\frac{2B}{\sqrt{k(x)}} \cos\left(\int_x^{a(1+\alpha)} k(\xi) d\xi - \frac{\pi}{4}\right) = \frac{2B}{\sqrt{k(x)}} \cos\left(I(x) + \frac{\pi}{4} - \Theta\right), \quad (6.42)$$

kde

$$\Theta = \int_{a(1-\alpha)}^{a(1+\alpha)} k(\xi) d\xi. \quad (6.43)$$

V prvním členu prvního výrazu provedeme záměnu $\cos(I - \pi/4) = \sin(I + \pi/4)$ a pak můžeme provést porovnání obou výrazů

$$A \exp\left(\frac{\phi}{2}\right) \sin\left(I(x) + \frac{\pi}{4}\right) \pm \frac{A}{2} \exp\left(-\frac{\phi}{2}\right) \cos\left(I(x) + \frac{\pi}{4}\right) = 2B \sin\Theta \sin\left(I(x) + \frac{\pi}{4}\right) + 2B \cos\Theta \cos\left(I(x) + \frac{\pi}{4}\right). \quad (6.44)$$

Porovnání koeficientů u sinu a kosinu dává dvě homogenní rovnice pro A a B , které mají netriviální řešení při

$$\begin{aligned} \pm \sin\Theta &= 2 \exp(\phi/2) \cos\Theta, \\ B &= A \frac{\exp(\phi/2)}{\sin\Theta}. \end{aligned} \quad (6.45)$$

Konstantu A pak dopočteme z normovací podmínky

$$\int_{-\infty}^{\infty} |\psi_s(x)|^2 dx = \int_{-\infty}^{\infty} |\psi_a(x)|^2 dx = 1 \quad . \quad (6.46)$$

Pro velké hodnoty ϕ (bariéra mezi jámami je málo propustná) budeme hledat přibližné řešení pro Θ jako

$$\Theta = \left(n + \frac{1}{2} \right) \pi + \delta \quad , \quad \tan \delta = \mp \frac{\exp(-\phi)}{2} \doteq \delta \quad . \quad (6.47)$$

V dosavadních výpočtech jsme nepoužili konkrétní tvar potenciálu. Teď se vrátíme k modelovému potenciálu. Máme

$$\Theta = \frac{\sqrt{2mV_0}}{\hbar} \int_{a(1-\alpha)}^{a(1+\alpha)} \sqrt{\alpha^2 - \frac{(x-a)^2}{a^2}} dx = \frac{\sqrt{2mV_0} a \alpha^2}{\hbar} \int_{-1}^1 \sqrt{1-t^2} dt = \frac{\pi E}{\hbar \omega} \quad . \quad (6.48)$$

Při poslední úpravě jsme po výpočtu integrálu ($\pi/2$) nejprve dosadili $\alpha^2 = E/V_0$ a nakonec $V_0 = m\omega^2 a^2/2$. Výpočet ϕ je obdobného charakteru

$$\phi = 2 \frac{\sqrt{2mV_0}}{\hbar} \int_0^{a(1-\alpha)} \sqrt{\frac{(x-a)^2}{a^2} - \alpha^2} dx = 2 \frac{\sqrt{2mV_0} a}{\hbar} \int_{\alpha}^1 \sqrt{t^2 - \alpha^2} dt \quad . \quad (6.49)$$

Integrál jde vyjádřit elementárně

$$\int_{\alpha}^1 \sqrt{t^2 - \alpha^2} dt = \frac{1}{2} \left[\sqrt{1 - \alpha^2} + \alpha^2 \ln \frac{\alpha}{1 + \sqrt{1 - \alpha^2}} \right] \quad , \quad (6.50)$$

My však vzhledem k $E \ll V_0 \Rightarrow \alpha \ll 1$ políříme hodnotu integrálu rovnu jedné polovině a máme tak

$$\phi \doteq \frac{m\omega a}{\hbar} \quad . \quad (6.51)$$

Dostáváme tak výsledné energetické hladiny (pro základní stav s $n=0$)

$$E_s = E_0 - \frac{\delta E}{2} \quad , \quad E_a = E_0 + \frac{\delta E}{2} \quad , \quad (6.52)$$

kde E_0 je energie základního stavu harmonického oscilátoru a δE rozdíl mezi vyšší (odpovídá antisymetrickému stavu, vlnová funkce má jeden uzel v $x=0$) a nižší hladinou

(odpovídá symetrickému stavu, vlnová funkce nabývá nulové hodnoty jen v nekone nu).

V rámci n-eho p íblížení

$$E_0 = \frac{\hbar \omega}{2} \quad , \quad \delta E = \frac{\hbar \omega}{\pi} \exp\left(-\frac{m \omega a}{\hbar}\right) \quad . \quad (6.53)$$

V rámci téhož p íblížení máme pro amplitudy A a B jak v symetrickém, tak antisymetrickém Stavů molekuly, kdy jsou vodíkové atomy (afl na malou pravd podobnost danou tunelovým jevem) zcela napravo nebo nalevo od dusíkového atomu, dostaneme jako lineární kombinace

$$|\psi_R\rangle = \frac{1}{\sqrt{2}}(|\psi_s\rangle + |\psi_a\rangle) \quad , \quad |\psi_L\rangle = \frac{1}{\sqrt{2}}(|\psi_s\rangle - |\psi_a\rangle) \quad . \quad (6.54)$$

Tyto stavy ov-ém nejsou stacionární (jako stacionární jsme ur ili symetrický a antisymetrický stav). Periodická p em na jednoho stavu do druhého je umofn na tunelováním potenciálovou bariérou. Je-li po áte ním stavem nap íklad $|\psi_R\rangle$, jeho asový vývoj je

$$\begin{aligned} |\psi(t)\rangle &= \frac{1}{\sqrt{2}} \left[|\psi_s\rangle \exp\left(-\frac{i}{\hbar} E_s t\right) + |\psi_a\rangle \exp\left(-\frac{i}{\hbar} E_a t\right) \right] \doteq \\ & \frac{\exp\left(-\frac{i}{\hbar} E_0' t\right)}{\sqrt{2}} \left[|\psi_s\rangle \exp\left(\frac{i}{2\hbar} \delta E t\right) + |\psi_a\rangle \exp\left(-\frac{i}{2\hbar} \delta E t\right) \right] \quad . \end{aligned} \quad (6.55)$$

Pravd podobnost nalezení molekuly v (po áte ním) stavu $|\psi_R\rangle$ je

$$w_R(t) = \left| \langle \psi_R | \psi(t) \rangle \right|^2 = \cos^2\left(\frac{\delta E}{2\hbar} t\right) = \frac{1 + \cos(\omega' t)}{2} \quad , \quad (6.56)$$

pravd podobnost nalezení v p evráceném stavu $|\psi_L\rangle$ je pak

$$w_L(t) = \left| \langle \psi_L | \psi(t) \rangle \right|^2 = \sin^2\left(\frac{\delta E}{2\hbar} t\right) = \frac{1 - \cos(\omega' t)}{2} \quad . \quad (6.57)$$

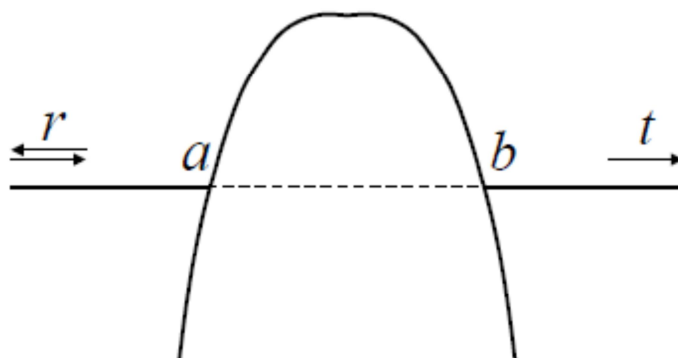
Periodický d j ó inverze konfigurace ó s frekvencí⁷

$$\omega' = \frac{\delta E}{\hbar} \doteq \frac{\omega}{\pi} \exp\left(-\frac{m \omega a}{\hbar}\right) \quad . \quad (6.58)$$

je základním mechanismem maseru.

⁷ Výpo et ukazuje významnou závislost na hmotnosti (velké odli-nosti u isotop) ó to je typická charakteristika tunelového jevu.

6.4 Tunelový jev



Uvažujme o pr b hu potenciální energie podle obrázku. Pro $-\infty < x \leq a$ bude vlnová funkce složena z dopadající a odražené vlny

$$\begin{aligned} \psi(x) &= \frac{1}{\sqrt{k(x)}} \left[\exp\left(-i \int_x^a k(\xi) d\xi + \frac{\pi}{4}\right) + r \exp\left(i \int_x^a k(\xi) d\xi + \frac{\pi}{4}\right) \right] = \\ &= \frac{1}{\sqrt{k(x)}} \left[(1+r) \cos\left(\int_x^a k(\xi) d\xi + \frac{\pi}{4}\right) + i(r-1) \cos\left(\int_x^a k(\xi) d\xi - \frac{\pi}{4}\right) \right]. \end{aligned} \quad (6.59)$$

Rozepsání podle kosin volíme proto, abychom mohli použít Kramersovy spojovací formule.

V (klasicky) zakázané oblasti $a \leq x \leq b$ budeme tedy mít

$$\psi(x) = \frac{1}{\sqrt{\kappa(x)}} \left[(1+r) \exp\left(\int_a^x \kappa(\xi) d\xi\right) + i \frac{r-1}{2} \exp\left(-\int_a^x \kappa(\xi) d\xi\right) \right]. \quad (6.60)$$

V oblasti $x \geq b$ máme pro-lou vlnu

$$\begin{aligned} \psi(x) &= \frac{1}{\sqrt{k(x)}} t \exp\left(i \int_b^x k(\xi) d\xi + \frac{\pi}{4}\right) = \\ &= \frac{1}{\sqrt{k(x)}} \left[t \cos\left(\int_b^x k(\xi) d\xi + \frac{\pi}{4}\right) + it \cos\left(\int_b^x k(\xi) d\xi - \frac{\pi}{4}\right) \right]. \end{aligned} \quad (6.61)$$

Podle spojovacích formulí bude tedy v zakázané oblasti $a \leq x \leq b$

$$\psi(x) = \frac{1}{\sqrt{\kappa(x)}} \left[t \exp(\phi) \exp\left(-\int_a^x \kappa(\xi) d\xi\right) + \frac{it}{2} \exp(-\phi) \exp\left(\int_a^x \kappa(\xi) d\xi\right) \right], \quad (6.62)$$

kde jsme označili

$$\phi = \int_a^b \kappa(\xi) d\xi . \quad (6.63)$$

Porovnáním výraz (6.60) a (6.62), které musí být identické, dostáváme rovnice pro amplitudy odrazu a průchodu

$$\begin{aligned} r + 2i \exp(\phi) t &= 1 , \\ -r + \frac{i}{2} \exp(-\phi) t &= 1 . \end{aligned} \quad (6.64)$$

ením je pak

$$r = -\frac{\exp(\phi) - \frac{1}{4} \exp(-\phi)}{\exp(\phi) + \frac{1}{4} \exp(-\phi)} , \quad t = -\frac{i}{\exp(\phi) + \frac{1}{4} \exp(-\phi)} . \quad (6.65)$$

Víme si, že platí

$$|r|^2 + |t|^2 = 1 . \quad (6.66)$$

Pro nepřípustnou potenciálovou bariéru dostáváme přibližný popis tunelování pomocí tvrzení amplitudy průchodu $T = |t|^2 \approx \exp(-2\phi)$

$$T = \exp\left(-\frac{2}{\hbar} \int_a^b \sqrt{2m[V(x) - E]} dx\right) . \quad (6.67)$$

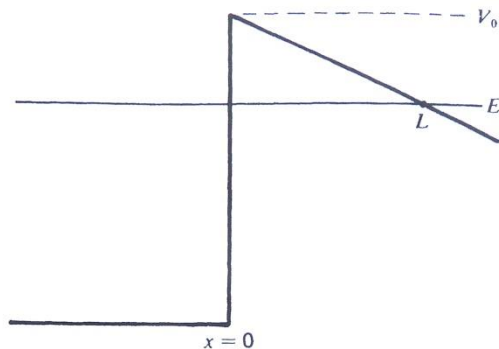
6.4.1 Emise vyvolaná polem

Nejnámější a nejstarší příkladem jsou vodivostní elektrony v kovu. Modelové jsou uzavřené v potenciálové jámě konečné výšky V_0 . Přiložíme-li vhodně orientované elektrické pole intenzity \mathcal{E} , vznikne pro elektron s energií $E < V_0$ trojúhelníková potenciálová bariéra konečné výšky. Pro danou potenciální energii je tedy

$$V(x) = \begin{cases} 0 & x < 0 \\ V_0 - e\mathcal{E}x & x \geq 0 \end{cases} \quad (6.68)$$

a integrační interval v (6.67) je dán body $a=0, b=L$, kde

$$E = V(L) \Rightarrow L = \frac{V_0 - E}{e\mathcal{E}} . \quad (6.69)$$



Dostáváme tak

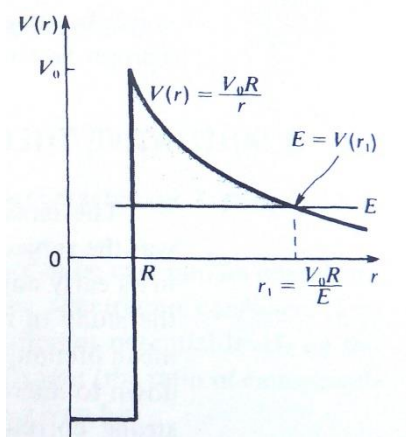
$$T(E) = \exp\left(-\frac{2\sqrt{2me\mathcal{E}}}{\hbar} \int_0^L \sqrt{L-x} dx\right) = \exp\left(-\frac{2\sqrt{2m(V_0-E)}}{\hbar} \frac{V_0-E}{e\mathcal{E}}\right). \quad (6.70)$$

Proud elektron vyvolaný polem je úměrný součinu hustoty stav pro danou energii, rozdílovacích funkce (Fermiho a Diracova rozdíl) pro danou teplotu a pravděpodobnosti propustnosti.

6.4.2 α rozpad

Při α rozpadu opouští mateřský nuklid s atomovým číslem Z částice (jádro helia se dvěma protony a dvěma neutrony). Jaderovou vazbu modeloval Gamow⁸ potenciálovou jámou výšky V_0 , coulombovská odpuzivá interakce je popsána jako

$$V(r) = \frac{2(Z-2)e^2}{r}, \quad e^2 = \frac{e^2}{4\pi\epsilon_0}. \quad (6.71)$$



Špolom r jádra a výška bariéry jsou spojeny vztahem

⁸ G. Gamow: Zeits. Phys. 51 (1928), 204.

$$V(R) = \frac{2(Z-2)e'^2}{R} = V_0 \quad . \quad (6.72)$$

Vezmeme-li např. $R \sim 10^{-14}$ m, dostáváme $V_0 \sim 4 \cdot 10^{-12}$ J ≈ 25 MeV. Druhou integrační mez pro výpočet (6.67) dostaneme z

$$V(r_1) = E \Rightarrow r_1 = \frac{2(Z-2)e'^2}{E} = \frac{V_0}{E} R \quad . \quad (6.73)$$

Pro propustnost bariéry tak dostáváme

$$T(E) = \exp\left(-\frac{2\sqrt{2mE}}{\hbar} \int_R^{r_1} \sqrt{\frac{r_1}{r} - 1} dr\right) \quad . \quad (6.74)$$

Integrál po substituci $r = r_1 \sin^2 \chi$ snadno spočteme

$$2r_1 \int_{\arcsin(R/r_1)}^{\pi/2} \cos^2 \chi d\chi = r_1 \left[\frac{\pi}{2} - \arcsin \sqrt{\frac{R}{r_1}} - \sqrt{\frac{R}{r_1}} \sqrt{1 - \frac{R}{r_1}} \right] \doteq \frac{\pi}{2} r_1 - 2\sqrt{Rr_1} \quad . \quad (6.75)$$

Protože $r_1 \gg R$, ponechali jsme ve výrazu pro integrál (6.75) jen první členy rozvoje. S označením

$$A = \exp\left(\frac{4\sqrt{2mV_0}}{\hbar} R\right), \quad C = \frac{\pi\sqrt{2mV_0}R}{\hbar} = \frac{2(Z-2)\pi\sqrt{2m}e'^2}{\hbar} \quad (6.76)$$

můžeme pak propustnost bariéry vyjádřit jako

$$T(E) = A \exp\left(-\frac{C}{\sqrt{E}}\right) \quad . \quad (6.77)$$

Můžeme si představit, že v našem případě nedopadá na bariéru částice jen jednou, ale pokud neprojde bariérou, stále se volně vrací od $r=R$ k počátku $r=0$ a zpět. Počet šňárazů za jednotku času na bariéru násobený propustností dává rozpadovou konstantu

$$\lambda = nT = \frac{v}{2R} T \Rightarrow \lambda(E) = \frac{A}{\sqrt{2mR}} \sqrt{E} \exp\left(-\frac{C}{\sqrt{E}}\right) \quad . \quad (6.78)$$

Závěrečná úvaha je jen kvalitativní, úplný kvantově mechanický výpočet tzv. kvasistacionárních stavů je komplikovanější, nicméně (6.78) velmi dobře vyjadřuje experimentálně zjištěné závislosti.

7. P íklady exaktn e-íitelných t írozmných problém

7.1 Vodíkový atom

Hamiltonián atomu vodíku je

$$\hat{H} = -\frac{\hbar^2}{2m_p} \Delta_{\vec{r}_p} - \frac{\hbar^2}{2m_e} \Delta_{\vec{r}_e} - \frac{e^2}{4\pi\epsilon_0 |\vec{r}_e - \vec{r}_p|} . \quad (7.1)$$

Zavedením nových sou adnic a nových ozna ení pro redukovanou hmotnost a celkovou hmotnost⁹

$$\vec{r} = \vec{r}_e - \vec{r}_p , \quad \vec{R} = \frac{m_e \vec{r}_e + m_p \vec{r}_p}{m_e + m_p} , \quad m = \frac{m_e m_p}{m_e + m_p} , \quad m_H = m_e + m_p \quad (7.2)$$

p ejde (7.1) na

$$\hat{H} = -\frac{\hbar^2}{2m_H} \Delta_{\vec{R}} - \frac{\hbar^2}{2m} \Delta_{\vec{r}} - \frac{e^2}{4\pi\epsilon_0 r} . \quad (7.3)$$

Ve Schrödingerov rovníci napí-eme energii jako $E + \hbar^2 K^2 / (2m_H)$ a separujeme pohyb hmotného st edu od vzájemného pohybu elektronu a protonu, takže hmotný st ed se pohybuje jako volná ástice

$$-\frac{\hbar^2}{2m_H} \Delta_{\vec{R}} \chi(\vec{R}) = \frac{\hbar^2 K^2}{2m_H} \chi(\vec{R}) \quad (7.4)$$

a vzájemný pohyb je popsán rovnicí

$$-\frac{\hbar^2}{2m} \Delta_{\vec{r}} \psi(\vec{r}) - \frac{e^2}{4\pi\epsilon_0 r} \psi(\vec{r}) = E \psi(\vec{r}) . \quad (7.5)$$

Zapsáno ve sférických sou adnicích máme¹⁰

$$\frac{1}{r^2} \frac{\partial}{\partial r} \left(r^2 \frac{\partial \psi}{\partial r} \right) + \frac{1}{r^2} \left[\frac{1}{\sin \theta} \frac{\partial}{\partial \theta} \left(\sin \theta \frac{\partial \psi}{\partial \theta} \right) + \frac{1}{\sin^2 \theta} \frac{\partial^2 \psi}{\partial \varphi^2} \right] + \frac{2m}{\hbar^2} \left(E + \frac{e^2}{4\pi\epsilon_0 r} \right) \psi = 0 \quad (7.6)$$

⁹ P ísn vzato, podle Einsteinova vztahu ekvivalence energie a hmotnosti je $m_H c^2$ vodíku v základním stavu o 13,6 eV menší neř $(m_p + m_e) c^2$.

¹⁰ Zavedením operátoru radiální slořky hybnosti $\hat{p}_r = -i\hbar(\partial/\partial r + 1/r)$ m řeme hamiltonián zapsat jako $\hat{H} = \frac{1}{2m} \left(\hat{p}_r^2 + \frac{\hat{L}^2}{r^2} \right)$, kde \hat{L} je operátor momentu hybnosti.

a m flemě p istoupit k e-ení rovnice metodou separace prom nných. Vlnovou funkci hledáme ve tvaru

$$\psi(r, \theta, \varphi) = R(r)Y_{lm}(\theta, \varphi) \quad , \quad (7.7)$$

kde $Y_{lm}(\theta, \varphi)$ jsou tzv. sférické funkce, tj. je jednozna né regulární (dokonce normované k jedni ce) e-ení rovnic

$$\frac{\partial^2 Y_{lm}}{\partial \varphi^2} + m^2 Y_{lm} = 0 \quad , \quad \frac{1}{\sin \theta} \frac{\partial}{\partial \theta} \left(\sin \theta \frac{\partial Y_{lm}}{\partial \theta} \right) - \frac{m^2}{\sin^2 \theta} Y_{lm} + l(l+1) Y_{lm} = 0 \quad . \quad (7.8)$$

V t chto vztazích $l=0,1,2,\dots$ a $m=-l,-l+1,\dots,l-1,l$. Pro musí být separa ní konstanty tvo ené práv kvantovými ísly je dáno z teorie diferenciálních rovnic. Fyzikáln názorn j-í výklad by poskytla realizace operátoru momentu hybnosti pomocí krea ních a anihila ních operátor . V tuto chvíli berme existenci kvantových ísel l a m jako d sledek pofladavk na chování vlnové funkce, tj. pofladavek periodicity v úhlu φ a kone né hodnoty jak na severním ($\theta=0$), tak na jifním ($\theta=\pi$) pólu. Zbývá vy e-it rovnici pro radiální sou adnici

$$\frac{d^2 R}{dr^2} + \frac{2}{r} \frac{dR}{dr} - \frac{l(l+1)}{r^2} R + \frac{2m}{\hbar^2} \left(E + \frac{e^2}{4\pi \varepsilon_0 r} \right) R = 0 \quad . \quad (7.9)$$

Zavedení bezrozm rných veli in¹¹

$$r = a \rho \quad , \quad E = -b \varepsilon \quad (7.10)$$

p evede (7.9) na

$$\frac{d^2 R}{d\rho^2} + \frac{2}{\rho} \frac{dR}{d\rho} R + \frac{2ma^2 b}{\hbar^2} \left(\frac{e^2}{4\pi \varepsilon_0 a b \rho} - \varepsilon - \frac{l(l+1)}{\rho^2} \right) R = 0 \quad . \quad (7.11)$$

Nejv t-ího zjednodu-ení dosáhneme volbou jednotek délky a energie

$$a = \frac{\hbar^2}{m} \frac{4\pi \varepsilon_0}{e^2} \quad , \quad b = \frac{\hbar^2}{2ma^2} = \frac{m}{2\hbar^2} \left(\frac{e^2}{4\pi \varepsilon_0} \right)^2 \quad . \quad (7.12)$$

Máme tedy e-it rovnici oby ejnou lineární diferenciální rovnici druhého ádu s jedním parametrem

$$\frac{d^2 R}{d\rho^2} + \frac{2}{\rho} \frac{dR}{d\rho} + \left(-\varepsilon + \frac{2}{\rho} - \frac{l(l+1)}{\rho^2} \right) R = 0 \quad , \quad (7.13)$$

¹¹ Zavád ní bezrozm rných prom nných ve šfyzikálníchõ rovnicích je obecn velmi uffite ný postup. V na-em p ípad je $a = a_B \doteq 0,529 \text{ \AA}$ Bohr v polom r a $b = Ry \doteq 13,6 \text{ eV}$.

pro to, aby řešení bylo na kladné reálné poloose ohraničeno funkcí, která jde dostatečně rychle k nule pro $\rho \rightarrow \infty$. V našem studovaném případě popisu atomu vodíku se pro jeho zásadní důležitost neobrátime k hotovému matematickému výsledku, ale podíváme se podrobněji na jeho odvození. Substituce

$$R(\rho) = \frac{u(\rho)}{\rho}, \quad \frac{dR}{d\rho} = \frac{1}{\rho} \frac{du}{d\rho} - \frac{u}{\rho^2}, \quad \frac{d^2R}{d\rho^2} = \frac{1}{\rho} \frac{d^2u}{d\rho^2} - \frac{2}{\rho^2} \frac{du}{d\rho} + 2 \frac{u}{\rho^3} \quad (7.14)$$

vede na rovnici

$$\frac{d^2u}{d\rho^2} + \left(-\varepsilon + \frac{2}{\rho} - \frac{l(l+1)}{\rho^2} \right) u = 0 \quad (7.15)$$

Asymptotický tvar rovnice a jejího řešení pro $\rho \rightarrow \infty$ je

$$\frac{d^2u}{d\rho^2} - \varepsilon u = 0, \quad u = A \exp\{-\sqrt{\varepsilon} \rho\} + B \exp\{\sqrt{\varepsilon} \rho\}, \quad (7.16)$$

pro $\rho \rightarrow 0$ pak

$$\frac{d^2u}{d\rho^2} - \frac{l(l+1)}{\rho^2} u = 0, \quad u = C \rho^{l+1} + D \frac{1}{\rho^l} \quad (7.17)$$

Nám vyhovují pouze konečná řešení, takže hledáme $u(\rho)$ ve tvaru

$$u(\rho) = \rho^{l+1} \exp\{-\sqrt{\varepsilon} \rho\} f(\rho) \quad (7.18)$$

Rovnice pro funkci $f(\rho)$ je tedy

$$\rho \frac{d^2f}{d\rho^2} + 2(l+1-\sqrt{\varepsilon} \rho) \frac{df}{d\rho} + 2(1-\sqrt{\varepsilon}(l+1)) f = 0 \quad (7.19)$$

Hledáme řešení (7.19) ve tvaru

$$f = \sum_{j=0}^{\infty} A_j \rho^j \quad (7.20)$$

Dosazení do rovnice a porovnání koeficientů u stejných mocnin ρ^j dává rekurentní vztah pro koeficienty A_j

$$[j+2(l+1)](j+1)A_{j+1} - 2[\sqrt{\varepsilon}(j+l+1)-1]A_j = 0 \quad (7.21)$$

Kdyby řada byla nekonečná, pro velké hodnoty j by bylo

$$\frac{A_{j+1}}{A_j} \approx \frac{2\sqrt{\varepsilon}}{j+1} \Rightarrow A_j \approx \frac{(2\sqrt{\varepsilon})^j A}{j!} \Rightarrow \sum_{j=0}^{\infty} A_j \rho^j \approx A \sum_{j=0}^{\infty} \frac{(2\sqrt{\varepsilon} \rho)^j}{j!} = A \exp\{2\sqrt{\varepsilon} \rho\} \quad (7.22)$$

a funkce $u(\rho)$ by tak v nekone nu divergovala. Musí tedy existovat n jaké j_{\max} , kdy ada kon í, tedy kdy

$$A_{j_{\max}+1} = 0 \Rightarrow \frac{1}{\sqrt{\varepsilon}} \equiv n = j_{\max} + l + 1 \quad (7.23)$$

Funkce $f(\rho)$ je tedy polynom stupn

$$j_{\max} = n - l - 1, \quad A_{j+1} = \frac{2(j+l+1-n)}{n[j+2(l+1)](j+1)} A_j. \quad (7.24)$$

Objevilo se nám tak dal-í kvantové íslo (hlavní kvantové íslo) n . Ze vztahu (7.24) plyne omezení na vedlej-í kvantové íslo l . Pokud hlavní kvantové íslo pevn zvolíme, musí být $l=0,1,\dots,n-1$. Rovnice (7.19) v prom nné $z=2\sqrt{\varepsilon} \rho$ má po dosazení $\sqrt{\varepsilon}=1/n$ tvar

$$z \frac{d^2 w}{dz^2} + (2l+2-z) \frac{dw}{dz} + (n-l-1)w = 0 \quad (7.25)$$

a jejím e-ením je konfluentní hypergeometrická funkce

$$w = F(-n+l+1, 2l+2, z), \quad F(\alpha, \gamma, z) = 1 + \frac{\alpha z}{\gamma 1!} + \frac{\alpha(\alpha+1) z^2}{\gamma(\gamma+1) 2!} + \dots \quad (7.26)$$

Afl na normování jsou to zobecn né Laguerrovy polynomy

$$L_n^j(z) = (-1)^j n! \binom{n}{j} F(-n+j, j+1, z) = \frac{n!}{(n-j)!} e^z \frac{d^n}{dz^n} (z^{n-j} e^{-z}). \quad (7.27)$$

Pro atom vodíku jsou normované vlnové funkce ψ_{nlm} s nejniř-ími kvantovými ísly tedy

$$\begin{aligned} \psi_{100} &= \frac{2}{(4\pi)^{1/2} a_B^{3/2}} \exp\left(-\frac{r}{a_B}\right), \quad \psi_{200} = \frac{1}{2(2\pi)^{1/2} a_B^{3/2}} \left(1 - \frac{r}{2a_B}\right) \exp\left(-\frac{r}{2a_B}\right), \\ \psi_{210} &= \frac{i}{4(2\pi)^{1/2} a_B^{5/2}} r \exp\left(-\frac{r}{2a_B}\right) \cos\theta, \\ \psi_{21\pm 1} &= \frac{\mp i}{8(\pi)^{1/2} a_B^{5/2}} r \exp\left(-\frac{r}{2a_B}\right) \sin\theta \exp(\pm i\varphi). \end{aligned} \quad (7.28)$$

Fázové faktory jsou v cí konvence, je d leflité si v-ímnout, fle pouze pro $s \text{ } \sigma$ stavy (stavy s $l=0$) je $|\psi_{n00}(0)| \neq 0$. Proto nap íklad (Lamb v posuv) dochází k roz-t pení hladin $2s_{1/2}$ a $2p_{1/2}$.

Atom vodíku je jediným exaktn e-íitelným p ípadem ó ufl pro helium si zapo tení interakce dvou elektron vyfladuje zvlá-tní metody poruchového po tu. Nicmén zavedení kvantových ísel (tvrté ó spin ó jsme zatím nepouffili) je nesmír n d leflitým p ísp vkem k popisu atom obecn .

7.2 Elektron v homogenním magnetickém poli

Hamiltonián elektronu v magnetickém poli, které popisujeme vektorovým potenciálem \vec{A} a indukci $\vec{B} = \text{rot } \vec{A}$ je

$$\hat{H} = \left(\frac{\hbar}{i} \vec{\nabla} - e \vec{A} \right)^2 - \hat{\mu} \cdot \vec{B} \quad , \quad (7.29)$$

kde $\hat{\mu}$ je operátor magnetického momentu elektronu

$$\hat{\mu} = \frac{e \hbar}{2m} \frac{\hat{s}}{s} \quad . \quad (7.30)$$

V této definici vystupuje operátor spinu. Protofle se spinu budeme v novat pozd ji, vezmeme jako skute nost, fle pro orientaci pole podél osy z bude moflné napsat vlnovou funkci jako dvouslofkovou veli ínu ó spinor

$$\Psi = \begin{pmatrix} \psi(\vec{r}, \sigma=1/2) \\ \psi(\vec{r}, \sigma=-1/2) \end{pmatrix} \quad (7.31)$$

a p sobení hamiltoniánu na jednotlivé sloflky bude

$$\hat{H} \psi(\vec{r}, \sigma) = \left\{ \frac{1}{2m} \left(\frac{\hbar}{i} \frac{\partial}{\partial x} + e B y \right)^2 - \frac{\hbar^2}{2m} \frac{\partial^2}{\partial y^2} - \frac{\hbar^2}{2m} \frac{\partial^2}{\partial z^2} - \frac{e B \sigma}{m} \right\} \psi(\vec{r}, \sigma) \quad . \quad (7.32)$$

Ve vztahu (7.32) ufl jsme zvolili konkrétní tvar vektorového potenciálu $\vec{A} = -B y \vec{e}_x$. Zajímavé moflnosti spojené s r znou volbou tohoto potenciálu nebudeme ale rozebírat. Dosadíme do stacionární Schrödingerovy rovnice $\hat{H} \psi = E \psi$ vlnovou funkci ve tvaru, který bere v úvahu, fle rovnice závisí pouze na sou adnici y

$$\psi = \exp \left[\frac{i}{\hbar} (p_x x + p_z z) \right] \chi(y) \quad . \quad (7.33)$$

Pro funkci $\chi(y)$ pak dostáváme obyčejnou diferenciální rovnici

$$\frac{d^2 \chi}{dy^2} + \frac{2m}{\hbar^2} \left[E - \sigma \omega_B - \frac{p_z^2}{2m} - \frac{m}{2} \omega_B^2 (y - y_0)^2 \right] \chi = 0, \quad (7.34)$$

kde

$$\omega_B = -\frac{eB}{m}, \quad y_0 = -\frac{p_x}{eB}. \quad (7.35)$$

Rovnice (7.34) je rovnice harmonického oscilátoru, můžeme proto hned napsat vlastní hodnoty energie

$$E = \left(n + \frac{1}{2} + \sigma \right) \hbar \omega_B + \frac{p_z^2}{2m} \quad (7.36)$$

a také normované vlastní funkce

$$\chi_n(y) = \frac{1}{\sqrt{\sqrt{\pi} a_B 2^n n!}} \exp \left[-\frac{(y - y_0)^2}{2a_B^2} \right] H_n \left(\frac{y - y_0}{a_B} \right), \quad a_B = \sqrt{\frac{\hbar}{m \omega_B}}. \quad (7.37)$$

Pomocí snadno se přesvědčíme, že kromě konstanty y_0 můžeme vytvořit také veličinu $x_0 = p_y / (eB) + x$, jejíž operátor komutuje s hamiltoniánem

$$\hat{x}_0 = \frac{\hbar}{ieB} \frac{\partial}{\partial y} + x, \quad [\hat{x}_0, \hat{H}] = 0.$$

V klasickém popisu je bod (x_0, y_0) je středem kružnice poloměru $p_y / (eB)$, kde p_y je velikost prímé hybnosti \vec{p} do roviny $x-y$. Ani pro velké hodnoty kvantového čísla nedostáváme $|\chi_n(y)|^2$ jako rozložení hustoty pravděpodobnosti soustředěné kolem klasické trajektorie. Je třeba si uvědomit značnou (nekonečnou) degeneraci pro danou energii ϵ z lineární kombinace stavů s různými dané energii uřadně podobného vytvořit jde. Jaká je vlastní násobnost degenerace pro určité číslo n ? Uzavřeme-li elektron do krychle objemu $V = L_x L_y L_z$, je počet stavů s různými hodnotami (tedy uřadně diskrétními) p_z v intervalu Δp_z roven $L_z / (2\pi \hbar) \Delta p_z$. Počet stavů pro p_x je obdobně $L_x / (2\pi \hbar) \Delta p_x$, ale interval Δp_x nesmí vést k tomu, aby bylo $y_0 > L_y$, musí tedy být $\Delta p_x = eB L_y$. Celkem je tedy počet stavů s danou hodnotou energie (je to dvojnásobná degenerace daná rovností energie pro $n+1/2$ a $(n+1)-1/2$)

$$\frac{eB\Delta p_z}{(2\pi\hbar)^2}V \quad .$$

8. N které aproximace pro poruchy na ose nezávislé

8.1 Rayleighova a Schrödingerova metoda

8.1.1 Nedegenerované hladiny

Předpokládáme, že hamiltonián je na ose explicitně nezávislý. Je složen ze dvou částí $\hat{H} = \hat{H}_0 + \sigma\hat{V}$, \hat{H}_0 je základní část (neporušený hamiltonián), $\sigma\hat{V}$ je interakční část (porucha), malý parametr. řeší rovnice pro vlastní hodnoty a vlastní vektory hamiltoniánu \hat{H}

$$\hat{H}|\Psi\rangle = E|\Psi\rangle \quad (8.1)$$

hledáme pomocí rozkladu podle vlastních vektorů neporušeného hamiltoniánu, tj. vektorů pro které $\hat{H}_0|\Psi_n^{(0)}\rangle = E_n^{(0)}|\Psi_n^{(0)}\rangle$:

$$|\Psi\rangle = \sum_{k=0}^{\infty} \sigma^k \sum_p c_p^{(k)} |\Psi_p^{(0)}\rangle, \quad E = \sum_{k=0}^{\infty} \sigma^k E^{(k)} \quad . \quad (8.2)$$

Po dosazení (8.2) do (8.1) a skalárním součinem vzniklých vektorů s $\langle\Psi_m^{(0)}|$ dostaneme porovnáním členů stejné mocniny σ , anulování koeficientu u σ^k dává¹²

$$\sum_{l=0}^k E^{(k-l)} c_m^{(l)} - E_m^{(0)} c_m^{(k)} = \sum_p V_{mp} c_p^{(k-1)}, \quad (8.3)$$

$$V_{mp} = \langle\Psi_m^{(0)}|\hat{V}|\Psi_p^{(0)}\rangle, \quad c_p^{(-1)} = 0 \quad .$$

členy pro $k = 0, 1, 2$ dávají

$$\begin{aligned} (E^{(0)} - E_m^{(0)})c_m^{(0)} &= 0, \\ E^{(1)}c_m^{(0)} + (E^{(0)} - E_m^{(0)})c_m^{(1)} &= \sum_p V_{mp}c_p^{(0)}, \\ E^{(2)}c_m^{(0)} + E^{(1)}c_m^{(1)} + (E^{(0)} - E_m^{(0)})c_m^{(2)} &= \sum_p V_{mp}c_p^{(1)}. \end{aligned} \quad (8.4)$$

¹² Použili jsme porovnání dvojných součtů $\sum_{m=0}^{\infty} \sum_{n=0}^{\infty} a_{m,n} = \sum_{p=0}^{\infty} \sum_{q=0}^p a_{q,p-q}$.

Po ítáme opravu ke stavu $|\Psi_n^{(0)}\rangle$. Stavový vektor budeme p í výpo tu normovat podmínkou (p ípadné normování $\langle\Psi|\Psi\rangle=1$ m ěme provést aĽ po ukon ení poruchové ady)¹³

$$\langle\Psi_n^{(0)}|\Psi\rangle=1 \Rightarrow c_m^{(0)} = \delta_{mn} \quad , \quad c_n^{(l \geq 1)} = 0 \quad . \quad (8.5)$$

e-ením soustavy rovnic pro $m=n$ máme

$$\begin{aligned} E^{(0)} &= E_n^{(0)} \quad , \quad c_n^{(0)} = 1 \quad , \\ E^{(1)} &= V_{nn} \quad , \quad c_n^{(1)} = 0 \quad , \\ E^{(2)} &= \sum_{p \neq n} \frac{V_{np} V_{pn}}{E_n^{(0)} - E_p^{(0)}} \quad , \quad c_n^{(2)} = 0 \end{aligned} \quad (8.6)$$

a e-ením soustavy rovnic pro $m \neq n$ pak

$$\begin{aligned} c_m^{(0)} &= 0 \quad , \quad c_m^{(1)} = \frac{V_{mn}}{E_n^{(0)} - E_m^{(0)}} \quad , \\ c_m^{(2)} &= \sum_{p \neq n} \frac{V_{mp} V_{pn}}{(E_n^{(0)} - E_p^{(0)})(E_n^{(0)} - E_m^{(0)})} - \frac{V_{mn} V_{nn}}{(E_n^{(0)} - E_m^{(0)})^2} \quad . \end{aligned} \quad (8.7)$$

8.1.2 Degenerované hladiny

Pat í-li stav n_i s-krát degenerované energiové hladiny ($E^{(0)} = E_{n_1}^{(0)} = \dots = E_{n_s}^{(0)}$), je t eba vhodn vybrat p íslu-né vlnové funkce, tj. zvolit namísto p vodních nové

$$|\Psi_{n_i}^{(0)}\rangle \rightarrow |\Psi_{n_i}'^{(0)}\rangle = \sum_{j=1}^s d_{ij} |\Psi_{n_j}^{(0)}\rangle \quad (8.8)$$

tak, aby byl operátor \check{V} pro nové vlnové funkce pat ící degenerované hladiny diagonální. Ve druhé z rovnic v (8.4) pro n který stav $m=n_i$ z degenerované hladiny poloĽíme $c_p^{(0)}=0$ pro $p \neq n_1, \dots, n_s$. Koeficienty d_{ij} získáme e-ením soustavy rovnic

$$E^{(1)} d_{ij} = \sum_{k=1}^s V_{n_i n_k} d_{kj} \quad , \quad \begin{vmatrix} V_{n_1 n_1} - E^{(1)} & V_{n_1 n_2} & \dots & V_{n_1 n_s} \\ V_{n_2 n_1} & V_{n_2 n_2} - E^{(1)} & \dots & V_{n_2 n_s} \\ \dots & \dots & \dots & \dots \\ V_{n_s n_1} & V_{n_s n_2} & \dots & V_{n_s n_s} - E^{(1)} \end{vmatrix} = 0 \quad . \quad (8.9)$$

¹³ Znamená to, ěe p ípadné zm ny ve sm ru p vodního stavového vektoru neuvĽujeme, po ítáme jen se vznikem opravy v ortogonálním podprostoru k jednorozm rnému podprostoru nataĽeném na p vodní vektor $|\Psi_n^{(0)}\rangle$.

Pro nejnižší opravě leny dostáváme (indexy n_i ufl pat í novým funkcím $|\Psi_{n_i}^{(0)}\rangle$ a p edpokládáme, že degenerace ufl byla sejmuta, tj. \check{V} je v nových funkcích $|\Psi_{n_i}^{(0)}\rangle$ diagonální a $V_{n_i n_i} \neq V_{n_j n_j}$. Pokud by tomu tak nebylo, je třeba postup opakovat afl do úplného sejmutí degenerace.

$$\begin{aligned}
 E^{(0)} &= E_{n_i}^{(0)} \quad , \quad E^{(1)} = V_{n_i n_i} \quad , \quad E^{(2)} = \sum_{p \neq n_k} \frac{V_{n_i p} V_{p n_i}}{E_{n_i}^{(0)} - E_p^{(0)}} \quad , \\
 c_m^{(0)} &= \delta_{m n_i} \quad , \quad c_{n_i}^{(1)} = 0 \quad , \quad c_{m \neq n_j}^{(1)} = \frac{V_{m n_i}}{E_{n_i}^{(0)} - E_m^{(0)}} \quad , \\
 c_{n_j \neq n_i}^{(1)} &= \frac{1}{V_{n_i n_i} - V_{n_j n_j}} \sum_{p \neq n_k} \frac{V_{n_j p} V_{p n_i}}{E_{n_i}^{(0)} - E_p^{(0)}} \quad .
 \end{aligned}
 \tag{8.10}$$

8.1.3 P ípad velmi blízkých hladin

Pro ur itost uvaflujeme o dvou blízkých hladinách, odpovídajících stav m m a n . Z poruchového lenu izolujeme p íslu-né maticové elementy, tedy

$$\begin{aligned}
 \check{V} &= \check{V}_1 + \check{V}_2 \quad , \quad \check{H} = \check{H}_1 + \check{V}_2 \quad , \quad \check{H}_1 = \check{H}_0 + \check{V}_1 \quad , \\
 \check{V}_1 &= V_{mm} |m\rangle\langle m| + V_{nn} |n\rangle\langle n| + V_{mn} |m\rangle\langle n| + V_{nm} |n\rangle\langle m| \quad .
 \end{aligned}
 \tag{8.11}$$

Platí tedy

$$\begin{aligned}
 \langle m | \check{V}_2 | m \rangle &= \langle n | \check{V}_2 | n \rangle = \langle m | \check{V}_2 | n \rangle = \langle n | \check{V}_2 | m \rangle = 0 \quad , \\
 \check{V}_1 | k \neq m, n \rangle &= 0 \quad .
 \end{aligned}
 \tag{8.12}$$

Potom bude

$$\begin{aligned}
 \check{H}_1 | k \neq m, n \rangle &= E_k^{(0)} | k \neq m, n \rangle \quad , \\
 \check{H}_1 | m \rangle &= E_m^{(1)} | m \rangle + V_{nm} | m \rangle \quad , \quad E_m^{(1)} = E_m^{(0)} + V_{mm} \quad , \\
 \check{H}_1 | n \rangle &= E_n^{(1)} | n \rangle + V_{mn} | n \rangle \quad , \quad E_n^{(1)} = E_n^{(0)} + V_{nn} \quad .
 \end{aligned}
 \tag{8.13}$$

Rovnice pro vlastní hodnoty

$$\begin{aligned}
 \check{H}_1 [\alpha | m \rangle + \beta | n \rangle] &= \varepsilon [\alpha | m \rangle + \beta | n \rangle] \quad , \\
 \begin{pmatrix} E_m^{(1)} - \varepsilon & V_{nm} \\ V_{mn} & E_n^{(1)} - \varepsilon \end{pmatrix} \begin{pmatrix} \alpha \\ \beta \end{pmatrix} &= 0 \quad \Rightarrow \quad \begin{vmatrix} E_m^{(1)} - \varepsilon & V_{nm} \\ V_{mn} & E_n^{(1)} - \varepsilon \end{vmatrix} = 0
 \end{aligned}
 \tag{8.14}$$

vede k výslednému roz-ř ení hladin

$$\varepsilon_{\pm} = \frac{E_m^{(1)} + E_n^{(1)}}{2} \pm \left[\left(\frac{E_m^{(1)} - E_n^{(1)}}{2} \right)^2 + |V_{mn}|^2 \right]^{1/2} \quad .
 \tag{8.15}$$

8.2 Potenciální energie jako porucha

Jako neporušenou úlohu uvažujeme pohyb volné částice, popsany Helmholtzovou rovnicí

$$\Delta \Psi^{(0)}(\vec{r}) + k^2 \Psi^{(0)}(\vec{r}) = 0 \quad , \quad k = \frac{p}{\hbar} = \frac{(2mE)^{1/2}}{\hbar} \quad . \quad (8.16)$$

Pohyb v potenciálovém poli, které považujeme za poruchu je popsán Schrödingerovou rovnicí

$$\Delta \Psi(\vec{r}) + k^2 \Psi(\vec{r}) = \frac{2m}{\hbar^2} U(\vec{r}) \Psi(\vec{r}) \quad . \quad (8.17)$$

Řešení této rovnice můžeme napsat ve tvaru

$$\Psi(\vec{r}) = \Psi^{(0)}(\vec{r}) - \frac{2m}{\hbar^2} \int G(\vec{r} - \vec{r}_1) U(\vec{r}_1) \Psi(\vec{r}_1) d^s \vec{r}_1 \quad , \quad (8.18)$$

kde G je Greenova funkce Helmholtzovy rovnice

$$\begin{aligned} \Delta G(\vec{r} - \vec{r}_1) + k^2 G(\vec{r} - \vec{r}_1) &= -\delta^{(s)}(\vec{r} - \vec{r}_1) \quad , \\ G(\vec{r} - \vec{r}_1) &= \frac{1}{4\pi} \frac{\exp\{ik|\vec{r} - \vec{r}_1|\}}{|\vec{r} - \vec{r}_1|} \quad , \quad s = 3 \quad , \\ G(\vec{r} - \vec{r}_1) &= \frac{i}{4} H_0^{(1)}\{k|\vec{r} - \vec{r}_1|\} \quad , \quad s = 2 \quad , \\ G(\vec{r} - \vec{r}_1) &= \frac{i}{2k} \exp\{ik|\vec{r} - \vec{r}_1|\} \quad , \quad s = 1 \quad . \end{aligned} \quad (8.19)$$

Schrödingerovu rovnici pak řešíme iteracemi

$$\Psi^{(n+1)}(\vec{r}) = \Psi^{(0)}(\vec{r}) - \frac{2m}{\hbar^2} \int G(\vec{r} - \vec{r}_1) U(\vec{r}_1) \Psi^{(n)}(\vec{r}_1) d^s \vec{r}_1 \quad , \quad n = 0, 1, \dots \quad . \quad (8.20)$$

Zstaneme-li pouze u základní iterace ($n=0$), nazývá se toto přibližné řešení pohybu v potenciálovém poli Bornova aproximace. Předpokládáme tedy $\Psi^{(0)}(\vec{r})$ ve tvaru rovinné vlny a zajímáme se o vlnovou funkci daleko od oblasti působení potenciálu, tedy pro Greenovu funkci klademe

$$\begin{aligned}
G(\vec{r}, \vec{r}_1) &= \frac{\exp\{i k r\}}{4 \pi r} \exp\{-i k \vec{r}_1 \cdot \vec{n}_f\} \quad , \quad s = 3 \quad , \\
G(\vec{r}, \vec{r}_1) &= \frac{(1+i) \exp\{i k r\}}{4 \sqrt{\pi k r}} \exp\{-i k \vec{r}_1 \cdot \vec{n}_f\} \quad , \quad s = 2 \quad , \\
G(\vec{r}, \vec{r}_1) &= \frac{i \exp\{i k r\}}{2 k} \exp\{-i k \vec{r}_1 \cdot \vec{n}_f\} \quad , \quad s = 1 \quad .
\end{aligned} \tag{8.21}$$

V exponentu jsme aproximovali

$$|\vec{r} - \vec{r}_1| = r \left(1 - 2 \vec{n}_f \cdot \frac{\vec{r}_1}{r} + \frac{r_1^2}{r^2} \right)^{1/2} \approx r - \vec{n}_f \cdot \vec{r}_1 \quad , \tag{8.22}$$

p i emfl jsme ozna ili jako $\vec{n}_f = \vec{r}/r$ jednotkový vektor ve sm ru pozorování. Dopadající rovinná vlna je pak

$$\Psi^{(0)}(\vec{r}) = \exp\{i \vec{k} \cdot \vec{r}\} = \exp\{i k r \vec{n}_i \cdot \vec{n}_f\} \quad , \tag{8.23}$$

s ozna ením jednotkového vektoru ve sm ru dopadu $\vec{n}_i = \vec{k}/k$. Vlnová funkce je pak

$$\Psi(\vec{r}) = \exp\{i k r \vec{n}_i \cdot \vec{n}_f\} + \frac{2 \pi}{k} \left(\frac{k}{2 \pi r} \right)^{(s-1)/2} f(\vec{n}_i, \vec{n}_f) \exp\{i k r\} \quad , \tag{8.24}$$

kde $f(\vec{n}_i, \vec{n}_f)$ je amplituda rozptylu

$$f(\vec{n}_i, \vec{n}_f) = \frac{m}{2 \pi \hbar^2} \exp\left\{-\frac{i(s+1)\pi}{4}\right\} \int \exp\{-i k \vec{r}_1 \cdot \vec{n}_f\} U(\vec{r}_1) \Psi(\vec{r}_1) d^s \vec{r}_1 \quad . \tag{8.25}$$

Amplituda rozptylu v Bornov aproximaci je

$$f_B(\vec{n}_i, \vec{n}_f) = \frac{m}{2 \pi \hbar^2} \exp\left\{-\frac{i(s+1)\pi}{4}\right\} \int \exp\{i k \vec{r}_1 \cdot (\vec{n}_i - \vec{n}_f)\} U(\vec{r}_1) d^s \vec{r}_1 \quad . \tag{8.26}$$

V trojzrnmém p ípad dostáváme pro amplitudu rozptylu dop edu ($\vec{n}_i = \vec{n}_f$) výraz

$$f_B(\theta=0) = -\frac{m}{2 \pi \hbar^2} \int U(\vec{r}_1) d^3 \vec{r}_1 \quad . \tag{8.27}$$

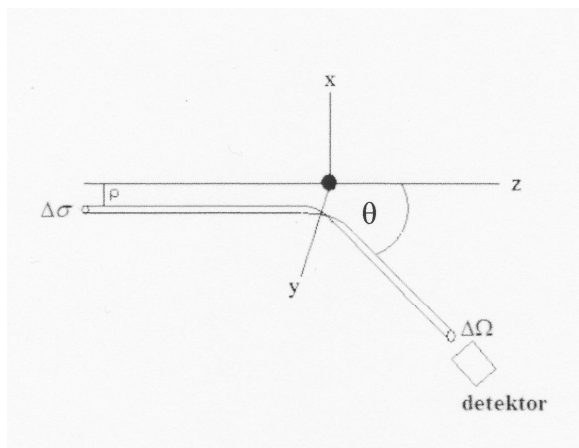
To je reálná veli ina, což je v rozporu s optickým teorémem¹⁴ a omezuje to platnost jinak velmi uflite né aproximace na p ípad velmi slabého rozptylu. Podíl pravd podobnosti toho,

¹⁴ Optický teorém je pozoruhodný vztah, který spojuje celkový ú inný pr ez a imaginární ást amplitudy rozptylu ve sm ru dopadající vlny $\Im\{f(0)\} = \frac{k}{4 \pi} \sigma$.

Je rozptýlená částice projde za jednotku času plochým elementem $dS = r^2 d\Omega$ a hustoty toku částic v dopadajícím svazku nazveme diferenciálním úhlovým proudem $d\sigma$

$$d\sigma = \left| f(\vec{n}_i, \vec{n}_f) \right|^2 d\Omega_f \quad (8.28)$$

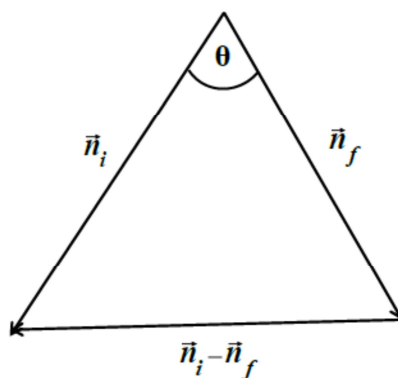
Jako příklad uvedeme výpočet amplitudy rozptylu v Bornovské aproximaci pro Yukavův potenciál ve třech rozměrech



$$U(\vec{r}) = \frac{\alpha \exp(-\lambda r)}{r}$$

Z (8.26) máme ve sférických souřadnicích

$$f(\vec{n}_i, \vec{n}_f) = -\frac{m}{2\pi\hbar^2} U \int \frac{\exp(-\lambda r)}{r} \exp[ikr|\vec{n}_i - \vec{n}_f|\cos\vartheta] \sin\vartheta d\varphi d\vartheta r^2 dr$$



Z obrázku vidíme, že $|\vec{n}_i - \vec{n}_f| = 2 \sin(\theta/2)$. Integrál vzhledem k φ dává 2π , po substituci $\cos\vartheta = x$ máme

$$\int_{-1}^1 \exp[2ikr \sin(\theta/2)x] dx = \frac{\exp(2ikr \sin(\theta/2)) - \exp(-2ikr \sin(\theta/2))}{2ikr \sin(\theta/2)} .$$

Zbývá dopo ítat

$$f(\vec{n}_i, \vec{n}_f) = -\frac{m\alpha}{2ik \sin(\theta/2) \hbar^2} \int_0^\infty \left\{ \exp[-(\lambda - 2ik \sin(\theta/2))r] - \exp[-(\lambda + 2ik \sin(\theta/2))r] \right\} dr .$$

Amplituda rozptylu je tedy

$$f(\vec{n}_i, \vec{n}_f) = -\frac{m\alpha}{2\hbar^2} \frac{1}{(\lambda/2)^2 + k^2 \sin^2(\theta/2)} . \quad (8.29)$$

Pro rozptyl na coulombovském potenciálu ($\lambda=0$) dostáváme Rutherford v ú inný pr ez (ozna íme $\hbar k = p = mv$)

$$d\sigma_{\text{Ruth}} = \left(\frac{\alpha}{2mv^2} \right) \frac{d\Omega_f}{\sin^4 \frac{\theta}{2}} . \quad (8.30)$$

8.3 Varia ní princip

Uvaflujme varia ní úlohu

$$J = \langle \psi | \hat{H} | \psi \rangle - E (\langle \psi | \psi \rangle - 1) , \quad \delta J = 0 . \quad (8.31)$$

Variace vzhledem k energii, která zde vystupuje jako Lagrange v multiplikátor, dává normovací podmínku. Variace vzhledem k $\langle \psi |$ dává Schrödingerovu rovnici

$$\begin{aligned} \frac{\delta J}{\delta E} = 0 &\Rightarrow \langle \psi | \psi \rangle - 1 = 0 , \\ \frac{\delta J}{\delta \langle \psi |} = 0 &\Rightarrow (\hat{H} - E) | \psi \rangle = 0 . \end{aligned} \quad (8.32)$$

Striktn vzato variace bra vektoru a jemu p íslu-ného ket vektoru nejsou nezávislé, ale ve varia ním po tu s nimi budeme formáln po ítat jako s nezávislými veli inami, nebo platí

$$(\delta \langle \psi |) | \alpha \rangle + \langle \beta | (\delta | \psi \rangle) = 0 \Rightarrow | \alpha \rangle = 0 , \quad \langle \beta | = 0 . \quad (8.33)$$

8.4 Hartreeho - Fockova metoda selfkonzistentního pole

Pro výpo et mnohaelektronových systém je vhodná metoda selfkonzistentního pole. P edpokládáme, že spinov nezávislý Hamilton v operátor soustavy s N elektrony je tvo en

ástí vyjad ujíí interakci elektronu s vn j-ím polem a lenem, popisujícím vzájemnou interakci elektron soustavy

$$\begin{aligned} \ddot{H} &= \ddot{H}_1 + \ddot{H}_2 \quad , \quad \ddot{H}_1 = \sum_{i=1}^N \ddot{H}_i \quad , \quad \ddot{H}_2 = \frac{1}{2} \sum_{\substack{i,k=1 \\ i \neq k}}^N \ddot{V}_{ik} \quad , \\ \ddot{H}_i &= -\frac{\hbar^2}{2m} \Delta_i + eV(\vec{r}_i) \quad , \quad \ddot{V}_{ik} = \frac{e^2}{4\pi \epsilon_0} \frac{1}{|\vec{r}_i - \vec{r}_k|} \quad . \end{aligned} \quad (8.34)$$

Pro vlnovou funkci volíme pak

$$\begin{aligned} \Psi(\vec{r}_1, s_1, \vec{r}_2, s_2, \dots, \vec{r}_N, s_N) = \\ \sqrt{\frac{1}{N!}} \begin{vmatrix} \psi_{n_1}(\vec{r}_1, s_1) & \psi_{n_2}(\vec{r}_1, s_1) & \cdots & \psi_{n_N}(\vec{r}_1, s_1) \\ \psi_{n_1}(\vec{r}_2, s_2) & \psi_{n_2}(\vec{r}_2, s_2) & \cdots & \psi_{n_N}(\vec{r}_2, s_2) \\ \cdots & \cdots & \cdots & \cdots \\ \psi_{n_1}(\vec{r}_N, s_N) & \psi_{n_2}(\vec{r}_N, s_N) & \cdots & \psi_{n_N}(\vec{r}_N, s_N) \end{vmatrix} \quad . \end{aligned} \quad (8.35)$$

Jedno ásticové vlnové funkce m íeme psát jako sou iny sou adnicových a spinových funkcí. Budeme poíladovat, aby jedno ásticové funkce byly ortonormální. Varia ní funkcionál má v takovém p ípad í tvar

$$\begin{aligned} J &= \sum_{i=1}^N \int \psi_{n_i}^*(\vec{r}_i) \ddot{H}_i \psi_{n_i}(\vec{r}_i) d^3 \vec{r}_i - \sum_{i=1}^N E_i \int \psi_{n_i}^*(\vec{r}_i) \psi_{n_i}(\vec{r}_i) d^3 \vec{r}_i + \\ &\quad \frac{1}{2} \sum_{\substack{i,k=1 \\ i \neq k}}^N \iint \psi_{n_i}^*(\vec{r}_i) \psi_{n_k}^*(\vec{r}_k) \ddot{V}_{ik} \psi_{n_i}(\vec{r}_i) \psi_{n_k}(\vec{r}_k) d^3 \vec{r}_i d^3 \vec{r}_k - \\ &\quad \frac{1}{2} \sum_{\substack{i,k=1 \\ i \neq k}}^N \delta_{s_i s_k} \iint \psi_{n_i}^*(\vec{r}_i) \psi_{n_k}^*(\vec{r}_k) \ddot{V}_{ik} \psi_{n_i}(\vec{r}_k) \psi_{n_k}(\vec{r}_i) d^3 \vec{r}_i d^3 \vec{r}_k \quad . \end{aligned} \quad (8.36)$$

Po variaci dostáváme soustavu rovnic

$$\begin{aligned} \left[-\frac{\hbar^2}{2m} \Delta_{\vec{r}} + eV(\vec{r}) + \frac{e^2}{4\pi \epsilon_0} \sum_{\substack{k=1 \\ k \neq i}}^N \int \psi_{n_k}^*(\vec{r}') \frac{1}{|\vec{r} - \vec{r}'|} \psi_{n_k}(\vec{r}') d^3 \vec{r}' \right] \psi_{n_i}(\vec{r}) \\ - \left[\frac{e^2}{4\pi \epsilon_0} \sum_{\substack{k=1 \\ k \neq i}}^N \delta_{s_i s_k} \int \psi_{n_k}^*(\vec{r}') \frac{1}{|\vec{r} - \vec{r}'|} \psi_{n_i}(\vec{r}') d^3 \vec{r}' \right] \psi_{n_k}(\vec{r}) = E_i \psi_{n_i}(\vec{r}) \quad . \end{aligned} \quad (8.37)$$

Pro celkovou energii (není prostým sou tem energií E_i , nebo í tak by byla coulombovská interakce zapo íena dvakrát) obdr ííme výraz

$$E = \sum_{i=1}^N \int \psi_{n_i}^* (\vec{r}) \left[-\frac{\hbar^2}{2m} \Delta_{\vec{r}} + eV(\vec{r}) + \frac{e^2}{8\pi\epsilon_0} \sum_{\substack{k=1 \\ k \neq i}}^N \int \psi_{n_k}^* (\vec{r}') \frac{1}{|\vec{r} - \vec{r}'|} \psi_{n_k} (\vec{r}') d^3 \vec{r}' \right] \psi_{n_i} (\vec{r}) - \left[\frac{e^2}{8\pi\epsilon_0} \sum_{\substack{k=1 \\ k \neq i}}^N \delta_{s_i, s_k} \int \psi_{n_k}^* (\vec{r}') \frac{1}{|\vec{r} - \vec{r}'|} \psi_{n_k} (\vec{r}') d^3 \vec{r}' \right] \psi_{n_i} (\vec{r}) \right\} . \quad (8.38)$$

Pro atom se Z protony v jádru a dvěma elektrony dostáváme

$$\begin{aligned} & \left[-\frac{\hbar^2}{2m} \Delta_{\vec{r}} - \frac{Ze^2}{4\pi\epsilon_0 r} + \frac{e^2}{4\pi\epsilon_0} \int \psi_{n_2}^* (\vec{r}') \frac{1}{|\vec{r} - \vec{r}'|} \psi_{n_2} (\vec{r}') d^3 \vec{r}' \right] \psi_{n_1} (\vec{r}) \\ & - \left[\frac{e^2}{4\pi\epsilon_0} \delta_{s_1, s_2} \int \psi_{n_2}^* (\vec{r}') \frac{1}{|\vec{r} - \vec{r}'|} \psi_{n_1} (\vec{r}') d^3 \vec{r}' \right] \psi_{n_2} (\vec{r}) = E_1 \psi_{n_1} (\vec{r}) \quad , \\ & \left[-\frac{\hbar^2}{2m} \Delta_{\vec{r}} - \frac{Ze^2}{4\pi\epsilon_0 r} + \frac{e^2}{4\pi\epsilon_0} \int \psi_{n_1}^* (\vec{r}') \frac{1}{|\vec{r} - \vec{r}'|} \psi_{n_1} (\vec{r}') d^3 \vec{r}' \right] \psi_{n_2} (\vec{r}) \\ & - \left[\frac{e^2}{4\pi\epsilon_0} \delta_{s_1, s_2} \int \psi_{n_1}^* (\vec{r}') \frac{1}{|\vec{r} - \vec{r}'|} \psi_{n_2} (\vec{r}') d^3 \vec{r}' \right] \psi_{n_1} (\vec{r}) = E_2 \psi_{n_2} (\vec{r}) \quad . \end{aligned} \quad (8.39)$$

Pro konkrétních výpočtech je výhodné použít rozkladu

$$\frac{1}{|\vec{r}_1 - \vec{r}_2|} = \sum_{l=0}^{\infty} \frac{4\pi}{2l+1} \frac{r_{<}^l}{r_{>}^{l+1}} \sum_{m=-l}^l Y_{lm}^* (\vartheta_1, \varphi_1) Y_{lm} (\vartheta_2, \varphi_2) \quad . \quad (8.40)$$

8.5 Ritzova variační metoda

Je zřejmé, že pro nejmenší hodnotu energetického spektra platí nerovnost

$$E_0 \leq J = \frac{\langle \psi | \hat{H} | \psi \rangle}{\langle \psi | \psi \rangle} \quad . \quad (8.41)$$

Důkaz je jednoduchý. Zapišme

$$|\psi\rangle = \sum_n |n\rangle \langle n | \psi \rangle \quad , \quad \hat{H} |n\rangle = E_n |n\rangle \quad . \quad (8.42)$$

Potom

$$J = \frac{\sum_{n=0}^{\infty} |\langle n | \psi \rangle|^2 E_n}{\sum_{n=0}^{\infty} |\langle n | \psi \rangle|^2} = \frac{\sum_{n=1}^{\infty} |\langle n | \psi \rangle|^2 (E_n - E_0)}{\sum_{n=0}^{\infty} |\langle n | \psi \rangle|^2} + E_0 \geq E_0 \quad . \quad (8.43)$$

Budeme tedy minimalizovat hodnotu funkcionálu J na podprostoru zku-ebních vektor . Tento podprostor parametrizujeme M parametry α_m , takže redukuje minimalizaci funkcionálu J na hledání minima funkce

$$J(\alpha_1, \dots, \alpha_M) = \frac{\langle \psi(\alpha_1, \dots, \alpha_M) | \hat{H} | \psi(\alpha_1, \dots, \alpha_M) \rangle}{\langle \psi(\alpha_1, \dots, \alpha_M) | \psi(\alpha_1, \dots, \alpha_M) \rangle} . \quad (8.44)$$

Zvlá-tní pozornosti si zaslouží p ípad, kdy parametry α_m jsou koeficienty lineární kombinace vektor báze M -rozm rného podprostoru p íslu-ného Hilbertova prostoru

$$| \psi(\alpha_1, \dots, \alpha_M) \rangle = \sum_{j=1}^M \alpha_j | \phi_j \rangle . \quad (8.45)$$

V tomto p ípad dostáváme

$$J(\alpha_1, \dots, \alpha_M) = \frac{\sum_{j,k=1}^M \alpha_j \alpha_k \langle \phi_j | \hat{H} | \phi_k \rangle}{\sum_j \alpha_j^2} \quad (8.46)$$

Z podmínky

$$\frac{\partial J(\alpha_1, \dots, \alpha_M)}{\partial \alpha_i} = 0 \quad , \quad i = 1, \dots, M \quad (8.47)$$

dostáváme soustavu rovnic

$$\sum_{k=1}^M \langle \phi_k | \hat{H} | \phi_i \rangle \alpha_k = J \alpha_i . \quad (8.48)$$

M íme si také p edstavit, íle úloha je p evedena na nalezení vlastních hodnot a vlastních vektor projekce \hat{H}_P hamiltoniánu do tohoto podprostoru

$$\hat{H}_P = \sum_{j,k=1}^M | \phi_j \rangle \langle \phi_j | \hat{H} | \phi_k \rangle \langle \phi_k | \quad (8.49)$$

s aproximací Schrödingerovy rovnice

$$\hat{H}_P | \phi_i \rangle = E_P | \phi_i \rangle . \quad (8.50)$$

Promítne-li totiž (8.50) postupn do vektor (8.45), dostaneme soustavu M homogenních algebraických rovnic (8.48), která má e-ení pro

$$\begin{vmatrix} \langle \phi_1 | (\hat{H} - E_P) | \phi_1 \rangle & \cdots & \langle \phi_1 | (\hat{H} - E_P) | \phi_M \rangle \\ \cdots & \cdots & \cdots \\ \langle \phi_M | (\hat{H} - E_P) | \phi_1 \rangle & \cdots & \langle \phi_M | (\hat{H} - E_P) | \phi_M \rangle \end{vmatrix} = 0 \quad (8.51)$$

Vektory báze mohou být parametrizovány s parametry α_m a v tomto parametru lze pak minimalizovat příslušný funkcionál.

Významnou aplikací je metoda *LCAO* pro výpočet elektronových stavů v molekulách. Molekulární vlnová funkce elektronu se konstruuje jako lineární kombinace vlnových funkcí elektronu jednotlivých atomů. Pro molekulu s M atomy hledáme tedy jednoelektronové vlnové funkce ve tvaru

$$\Psi(\vec{r}) = \sum_{m=1}^M \alpha_m \psi_{\{n_m\}}(\vec{r} - \vec{R}_m) \quad (8.52)$$

a těchto vlnových funkcí uflíjeme při vytváření mnohaelektronové vlnové funkce.

9. Bornova a Oppenheimerova aproximace¹⁵

9.1 Obecná teorie

Pro výpočet stacionárních stavů molekul je vhodná Bornova-Oppenheimerova aproximace. Předpokládáme, že spinové nezávislý Hamiltonův operátor soustavy s N elektrony a M jádry je tvořen částí vyjadřující kinetickou energii jader, dále pak elektronovou částí obsahující kinetickou energii a vzájemnou interakci elektronů, a nakonec interakční částí, popisující interakci elektronů s jádry a vzájemnou interakci jader

$$\begin{aligned} \hat{H} &= \hat{H}_J + \hat{H}_e + \hat{H}_{\text{int}} \quad , \quad \hat{H}_J = -\hbar^2 \sum_{r=1}^M \frac{1}{2M_r} \Delta_r \quad , \\ \hat{H}_e &= -\frac{\hbar^2}{2m} \sum_{i=1}^N \Delta_i + \frac{e^2}{8\pi\epsilon_0} \sum_{\substack{i,k=1 \\ i \neq k}}^N \frac{1}{|\vec{r}_i - \vec{r}_k|} \quad , \\ \hat{H}_{\text{int}} &= \frac{e^2}{8\pi\epsilon_0} \sum_{\substack{r,s=1 \\ r \neq s}}^M \frac{Z_r Z_s}{|\vec{R}_r - \vec{R}_s|} - \frac{e^2}{4\pi\epsilon_0} \sum_{i=1}^N \sum_{r=1}^M \frac{Z_r}{|\vec{r}_i - \vec{R}_r|} \quad . \end{aligned} \quad (9.1)$$

Vlnovou funkci hledáme ve tvaru

$$\psi(\{\vec{r}\}, \{\vec{R}\}) = \chi(\{\vec{r}\}, \{\vec{R}\}) X(\{\vec{R}\}) \quad , \quad (9.2)$$

¹⁵ Tuto kapitolu možno vynechat.

kde funkce $\chi(\{\vec{r}\}, \{\vec{R}\})$ je řešením rovnice

$$\left[\frac{\hbar^2}{2m} \sum_{i=1}^N \Delta_i + \frac{e^2}{8\pi\epsilon_0} \sum_{\substack{i,k=1 \\ i \neq k}}^N \frac{1}{|\vec{r}_i - \vec{r}_k|} + \frac{e^2}{8\pi\epsilon_0} \sum_{\substack{r,s=1 \\ r \neq s}}^M \frac{Z_r Z_s}{|\vec{R}_r - \vec{R}_s|} - \frac{e^2}{4\pi\epsilon_0} \sum_{i=1}^N \sum_{r=1}^M \frac{Z_r}{|\vec{r}_i - \vec{R}_r|} \right] \chi(\{\vec{r}\}, \{\vec{R}\}) = U(\{\vec{R}\}) \chi(\{\vec{r}\}, \{\vec{R}\}) \quad , \quad (9.3)$$

$$\int \chi^*(\{\vec{r}\}, \{\vec{R}\}) \chi(\{\vec{r}\}, \{\vec{R}\}) d\{\vec{r}\} = 1 \quad .$$

Variální úloha pro funkci $X(\{\vec{R}\})$ má pak v tomto případě tvar

$$\delta J = 0 \quad ,$$

$$J = \int X^*(\{\vec{R}\}) \left[-\hbar^2 \sum_{r=1}^M \frac{1}{2M_r} \Delta_r + U(\{\vec{R}\}) - E \right] X(\{\vec{R}\}) d\{\vec{R}\} \quad . \quad (9.4)$$

Z uvedeného funkcionálu můžeme pak odvodit pro pohyb jader "Schrödingerovu rovnici"

$$\left[-\hbar^2 \sum_{r=1}^M \frac{1}{2M_r} \Delta_r + U(\{\vec{R}\}) - E \right] X(\{\vec{R}\}) = 0 \quad . \quad (9.5)$$

Pro dvouatomovou molekulu (předpokládáme, že tělo je v klidu) označíme relativní souřadnici a redukovanou hmotnost jako

$$\vec{R} = \vec{R}_1 - \vec{R}_2 \quad , \quad \mu = \frac{M_1 M_2}{M_1 + M_2} \quad (9.6)$$

a rovnice (9.5) se zjednoduší na

$$\left[-\frac{\hbar^2}{2\mu} \Delta + U(R) - E \right] X(\vec{R}) = 0 \quad . \quad (9.7)$$

Standardní substituce

$$X(\vec{R}) = \frac{\Sigma_K(R)}{R} Y_{KM}(\Theta, \Phi) \quad (9.8)$$

vede k rovnici

$$\left[-\frac{\hbar^2}{2\mu} \frac{d^2}{dR^2} + U_{eff}(R, K) - E \right] \Sigma_K(R) = 0 \quad , \quad (9.9)$$

kde

$$U_{eff}(R, K) = U(R) + \frac{\hbar^2 K(K+1)}{2\mu R^2} \quad . \quad (9.10)$$

Blízko rovnovážného stavu pak ponecháme jen nejnižší členy rozvoje efektivního potenciálu

$$U_{\text{eff}}(R, K) = U_{\text{eff}}(R_0, K) + \frac{\mu \Omega^2}{2} (R - R_0)^2, \quad \Omega^2 = \frac{1}{\mu} \frac{d^2 U_{\text{eff}}(R_0, K)}{dR^2}. \quad (9.11)$$

Dosazením (9.11) do (9.9) dostáváme rovnici harmonického oscilátoru. Struktura energetických hladin dvouatomové molekuly je tak tvořena třemi členy – elektronovým, rotačním a vibračním

$$E = E^{(el)} + E^{(r)} + E^{(v)},$$

$$E^{(el)} = U(R_0), \quad E^{(r)} = B K(K+1), \quad E^{(v)} = \hbar \Omega \left(v + \frac{1}{2} \right). \quad (9.12)$$

Ve vztahu (9.12) jsme zavedli konstantu $B = \hbar^2 / (2\mu R_0^2)$, která určuje škálu rotačních hladin energie. Typické hodnoty pro základní molekuly jsou uvedeny v Tabulce 1.

Tabulka 1

molekula eV	H ₂	N ₂	O ₂
$-U(R_0)$	4,7	7,5	5,2
$\hbar \Omega$	0,54	0,29	0,20
$10^3 B$	7,6	0,25	0,18

9.2 Molekula vodíku

9.2.1 Iont molekuly vodíku

Nejprve budeme studovat jednodušší případ, a to iont molekuly vodíku. V tomto případě má hamiltonián v Bornově a Oppenheimerově aproximaci tvar

$$\hat{H} = \frac{\hbar^2}{2m} \Delta - \frac{e^2}{4\pi \epsilon_0 r_1} - \frac{e^2}{4\pi \epsilon_0 r_2} + \frac{e^2}{4\pi \epsilon_0 R},$$

$$\vec{r}_1 = \vec{r} - \vec{R}_1, \quad \vec{r}_2 = \vec{r} - \vec{R}_2, \quad \vec{R} = \vec{R}_1 - \vec{R}_2. \quad (9.13)$$

P i malé vzdálenosti proton by se m la vlnová funkce chovat podobn jako vlnová funkce elektron v heliovém atomu, p i velké vzdálenosti proton by m la vlnová funkce jen s malou pravd podobností obsahovat stav, kdy oba elektrony jsou lokalizovány kolem jednoho protonu. Vlnové funkce budeme tedy hledat ve tvaru

$$\begin{aligned} \psi(\vec{r}) &= \alpha \psi_a(\vec{r}_1) + \beta \psi_b(\vec{r}_2) \quad , \quad \int |\psi_a(\vec{r}_1)|^2 d^3\vec{r} = \int |\psi_b(\vec{r}_2)|^2 d^3\vec{r} = 1 \quad , \\ |\alpha|^2 + |\beta|^2 + \alpha \beta^* S(\vec{R}) + \alpha^* \beta S^*(\vec{R}) &= 1 \quad , \quad (9.14) \\ S(\vec{R}) &= \int \psi_a\left(\vec{r} - \frac{1}{2}\vec{R}\right) \psi_b^*\left(\vec{r} + \frac{1}{2}\vec{R}\right) d^3\vec{r} \quad . \end{aligned}$$

Hledáme te parametry α , které spl ují normovací podmínku a realizují minimum funkce

$$\begin{aligned} J &= |\alpha|^2 H_{aa} + |\beta|^2 H_{bb} + \alpha \beta^* H_{ba} + \alpha^* \beta H_{ab} \quad , \\ H_{aa} &= \int \psi_a^*(\vec{r}_1) \hat{H} \psi_a(\vec{r}_1) d^3\vec{r} \quad , \quad H_{bb} = \int \psi_b^*(\vec{r}_2) \hat{H} \psi_b(\vec{r}_2) d^3\vec{r} \quad , \quad (9.15) \\ H_{ba} &= \int \psi_b^*(\vec{r}_2) \hat{H} \psi_a(\vec{r}_1) d^3\vec{r} \quad , \quad H_{ab} = \int \psi_a^*(\vec{r}_1) \hat{H} \psi_b(\vec{r}_2) d^3\vec{r} \quad . \end{aligned}$$

Situaci podstatn zjednodu-íme, hledáme-li vlnovou funkci základního stavu. Za vlnové funkce vezmeme

$$\begin{aligned} \psi_a(\vec{r}_1) &= \phi(r_1) \quad , \quad \psi_b(\vec{r}_2) = \phi(r_2) \quad , \\ \phi(r) &= \left(\frac{\gamma^3}{\pi a_B^3}\right)^{1/2} \exp\left\{-\gamma \frac{r}{a_B}\right\} \quad . \quad (9.16) \end{aligned}$$

a vzhledem k symetrii budeme uvařovat jen symetrické a antisymetrické kombinace

$$\psi_{\pm}(\vec{r}) = \left(\frac{1}{2(1 \pm S)}\right)^{1/2} [\phi(r_1) \pm \phi(r_2)] \quad , \quad S = \int \phi(r_1) \phi(r_2) d^3\vec{r} \quad . \quad (9.17)$$

Pro maticové elementy hamiltoniánu dostáváme

$$\begin{aligned} H_{aa} = H_{bb} &= \frac{\hbar^2}{m a_B^2} \left[-\frac{1}{2} \gamma^2 + \gamma(\gamma-1) + \frac{\gamma}{\rho} - \gamma C \right] \quad , \\ H_{ba} = H_{ab} &= \frac{\hbar^2}{m a_B^2} \left[-\frac{1}{2} \gamma^2 S + \gamma(\gamma-2)E + \frac{\gamma S}{\rho} \right] \quad . \quad (9.18) \end{aligned}$$

Zde jsme ozna ili $\rho = \gamma R / a_B$ a zavedli integrály p ekryvový $S(\rho)$, Coulomb v $C(\rho)$ a vým nný $E(\rho)$

$$\begin{aligned}
S(\rho) &= \int \phi(r_1) \phi(r_2) d^3 \vec{r} = \left(1 + \rho + \frac{1}{3} \rho^2\right) \exp\{-\rho\} \quad , \\
C(\rho) &= \frac{a_B}{\gamma} \int \frac{\phi(r_1) \phi(r_1)}{r_2} d^3 \vec{r} = \frac{1}{\rho} (1 - (1 + \rho) \exp\{-2\rho\}) \quad , \\
E(\rho) &= \frac{a_B}{\gamma} \int \frac{\phi(r_1) \phi(r_2)}{r_2} d^3 \vec{r} = (1 + \rho) \exp\{-\rho\} \quad .
\end{aligned} \tag{9.19}$$

Minimalizujeme tedy výrazy

$$\begin{aligned}
J_+ &= \frac{\hbar^2}{m a_B^2} \left[-\frac{1}{2} \gamma^2 + \frac{\gamma}{\rho} + \frac{\gamma(\gamma-1) - \gamma C(\rho) + \gamma(\gamma-2) E(\rho)}{1 + S(\rho)} \right] \quad , \\
J_- &= \frac{\hbar^2}{m a_B^2} \left[-\frac{1}{2} \gamma^2 + \frac{\gamma}{\rho} + \frac{\gamma(\gamma-1) - \gamma C(\rho) - \gamma(\gamma-2) E(\rho)}{1 - S(\rho)} \right] \quad .
\end{aligned} \tag{9.20}$$

Pro J_- nenajdeme minimum, pro J_+ máme jedno minimum. V okolí významných bodů lze psát

$$\begin{aligned}
\gamma &\approx \begin{cases} 2 & R \rightarrow 0 \\ 1.2380 - 0.2026(R - 2.0033) & R \rightarrow R_{\min} \\ 1 & R \rightarrow \infty \end{cases} \quad , \\
\frac{m a_B^2}{\hbar^2} J_+ &\approx \begin{cases} 1/R & R \rightarrow 0 \\ -0.5865 + 0.0468(R - 2.0033)^2 & R \rightarrow R_{\min} \\ -1/2 & R \rightarrow \infty \end{cases} \quad .
\end{aligned} \tag{9.21}$$

9.2.2 Molekula vodíku

Opět v Bornov–Oppenheimerovské aproximaci vezmeme za elektronový hamiltonián výraz

$$\begin{aligned}
\hat{H} &= \frac{\hbar^2}{2m} \Delta_1 - \frac{e^2}{4\pi \varepsilon_0 |\vec{r}_1 - \vec{R}_a|} - \frac{e^2}{4\pi \varepsilon_0 |\vec{r}_1 - \vec{R}_b|} \\
&\quad - \frac{\hbar^2}{2m} \Delta_2 - \frac{e^2}{4\pi \varepsilon_0 |\vec{r}_2 - \vec{R}_a|} - \frac{e^2}{4\pi \varepsilon_0 |\vec{r}_2 - \vec{R}_b|} \\
&\quad + \frac{e^2}{4\pi \varepsilon_0 |\vec{r}_1 - \vec{r}_2|} + \frac{e^2}{4\pi \varepsilon_0 |\vec{R}_a - \vec{R}_b|} \quad .
\end{aligned} \tag{9.22}$$

a vlnovou funkci budeme hledat ve tvaru

$$\begin{aligned}\psi_s(\vec{r}_1, \vec{r}_2) &= \frac{1}{[2(1+S^2)]^{1/2}} [\psi_a(\vec{r}_1)\psi_b(\vec{r}_2) + \psi_b(\vec{r}_1)\psi_a(\vec{r}_2)] , \\ \psi_t(\vec{r}_1, \vec{r}_2) &= \frac{1}{[2(1-S^2)]^{1/2}} [\psi_a(\vec{r}_1)\psi_b(\vec{r}_2) - \psi_b(\vec{r}_1)\psi_a(\vec{r}_2)] , \\ \psi_a(\vec{r}) &= \phi(|\vec{r} - \vec{R}_a|) , \quad \psi_b(\vec{r}) = \phi(|\vec{r} - \vec{R}_b|) .\end{aligned}\tag{9.23}$$

Připome me, že spinová část vlnové funkce má tvar

$$\begin{aligned}\chi_s(s_1, s_2) &= \frac{1}{\sqrt{2}} \left[\begin{pmatrix} 1 \\ 0 \end{pmatrix}_1 \begin{pmatrix} 0 \\ 1 \end{pmatrix}_2 - \begin{pmatrix} 0 \\ 1 \end{pmatrix}_1 \begin{pmatrix} 1 \\ 0 \end{pmatrix}_2 \right] , \\ \chi_{t_1}(s_1, s_2) &= \begin{pmatrix} 1 \\ 0 \end{pmatrix}_1 \begin{pmatrix} 1 \\ 0 \end{pmatrix}_2 , \quad \chi_{t_2}(s_1, s_2) = \begin{pmatrix} 0 \\ 1 \end{pmatrix}_1 \begin{pmatrix} 0 \\ 1 \end{pmatrix}_2 , \\ \chi_{t_3}(s_1, s_2) &= \frac{1}{\sqrt{2}} \left[\begin{pmatrix} 1 \\ 0 \end{pmatrix}_1 \begin{pmatrix} 0 \\ 1 \end{pmatrix}_2 + \begin{pmatrix} 0 \\ 1 \end{pmatrix}_1 \begin{pmatrix} 1 \\ 0 \end{pmatrix}_2 \right] .\end{aligned}\tag{9.24}$$

Podobně jako u iontu, dostáváme pro energiový funkcionál molekuly vyjádření

$$\begin{aligned}J &= \frac{\langle ab | \hat{H} | ab \rangle \pm \langle ba | \hat{H} | ab \rangle}{1 \pm S^2} , \\ \langle ab | \hat{H} | ab \rangle &= \langle ba | \hat{H} | ba \rangle = \iint \psi_b^*(\vec{r}_2) \psi_a^*(\vec{r}_1) \hat{H} \psi_a(\vec{r}_1) \psi_b(\vec{r}_2) d^3 \vec{r}_1 d^3 \vec{r}_2 , \\ \langle ba | \hat{H} | ab \rangle &= \langle ab | \hat{H} | ba \rangle = \iint \psi_a^*(\vec{r}_2) \psi_b^*(\vec{r}_1) \hat{H} \psi_a(\vec{r}_1) \psi_b(\vec{r}_2) d^3 \vec{r}_1 d^3 \vec{r}_2 .\end{aligned}\tag{9.25}$$

Ke těmto integrálům známým z e-ění pro iont přibudou dva další (ϕ je reálná funkce!)

$$\begin{aligned}C_2(\rho) &= \frac{a_B}{\gamma} \iint \frac{1}{|\vec{r}_1 - \vec{r}_2|} \phi^2(|\vec{r}_1 - \vec{R}_a|) \phi^2(|\vec{r}_2 - \vec{R}_b|) d^3 \vec{r}_1 d^3 \vec{r}_2 , \\ E_2(\rho) &= \frac{a_B}{\gamma} \iint \frac{1}{|\vec{r}_1 - \vec{r}_2|} \phi(|\vec{r}_1 - \vec{R}_a|) \phi(|\vec{r}_1 - \vec{R}_b|) \phi(|\vec{r}_2 - \vec{R}_b|) \phi(|\vec{r}_2 - \vec{R}_a|) d^3 \vec{r}_1 d^3 \vec{r}_2 .\end{aligned}\tag{9.26}$$

Minimalizujeme pak výraz

$$\begin{aligned}J_+ &= \frac{\hbar^2}{m a_B^2} [-\alpha(\rho)\gamma + \beta(\rho)\gamma^2] , \\ \alpha(\rho) &= \frac{2[1+C(\rho)] + 4S(\rho)E(\rho) - C_2(\rho) - E_2(\rho)}{1+S^2(\rho)} - \frac{1}{\rho} , \\ \beta(\rho) &= \frac{1-S^2(\rho) + 2S(\rho)E(\rho)}{1+S^2(\rho)} .\end{aligned}\tag{9.27}$$

10. Poruchy na ase závislé

10.1 Interak ní reprezentace

Budeme po ítat v interak ní reprezentaci. P edpokládáme, že hamiltonián je složen ze dvou ástí $\hat{H} = \hat{H}_0 + \hat{V}$: \hat{H}_0 je na ase nezávislá základní ást (neporu-ený hamiltonián), \hat{V} je interak ní ást, která m že explicitn záviset na ase (porucha). Platí

$$\begin{aligned} \hat{H}_{\text{int}} &= \exp\left(\frac{i}{\hbar} \hat{H}_0 t\right) \hat{V} \exp\left(-\frac{i}{\hbar} \hat{H}_0 t\right) \quad , \quad |\Psi_{\text{int}}\rangle = \exp\left(\frac{i}{\hbar} \hat{H}_0 t\right) |\Psi\rangle \\ &\Rightarrow i\hbar \frac{\partial}{\partial t} |\Psi_{\text{int}}(t)\rangle = \hat{H}_{\text{int}} |\Psi_{\text{int}}(t)\rangle \quad . \end{aligned} \quad (10.1)$$

Odtud dále

$$\begin{aligned} |\Psi_{\text{int}}(t)\rangle &= \hat{S}(t,0) |\Psi_{\text{int}}(0)\rangle \quad , \\ i\hbar \frac{\partial}{\partial t} \hat{S}(t,0) &= \hat{H}_{\text{int}}(t) \hat{S}(t,0) \quad , \quad \hat{S}(0,0) = \hat{I} \quad \Rightarrow \end{aligned} \quad (10.2)$$

$$\hat{S}(t,0) = \hat{I} - \frac{i}{\hbar} \int_0^t \hat{H}_{\text{int}}(t_1) dt_1 - \frac{1}{\hbar^2} \int_0^t \hat{H}_{\text{int}}(t_1) \int_0^{t_1} \hat{H}_{\text{int}}(t_2) dt_2 dt_1 + \dots$$

Jako bázi zvolíme vlastní vektory hamiltoniánu \hat{H}_0

$$\hat{H}_0 |\Phi_n\rangle = E_n |\Phi_n\rangle \quad , \quad |\Psi_{\text{int}}(t)\rangle = \sum_n c_n(t) |\Phi_n\rangle \quad . \quad (10.3)$$

Vlnovou funkci ve Schrödingerov representaci zapí-eme dv ma zp soby

$$\begin{aligned} |\Psi\rangle &= \exp\left(-\frac{i}{\hbar} \hat{H}_0 t\right) |\Psi_{\text{int}}(t)\rangle = \sum_n c_n(t) \exp\left(-\frac{i}{\hbar} E_n t\right) |\Phi_n\rangle \quad , \\ |\Psi\rangle &= \exp\left(-\frac{i}{\hbar} \hat{H}_0 t\right) \hat{S}(t,0) |\Psi_{\text{int}}(0)\rangle = \\ &= \sum_n \sum_m c_m(0) \exp\left(-\frac{i}{\hbar} E_n t\right) |\Phi_n\rangle \langle \Phi_n | \hat{S}(t,0) | \Phi_m \rangle \end{aligned} \quad (10.4)$$

a promítnutím do $|\Phi_k\rangle$ dostáváme pro $c_k(t)$ (vektor $|\Psi_{\text{int}}(t)\rangle$ není normován na jednotku!)

$$c_k(t) = \sum_n c_n(0) \langle \Phi_k | \hat{S}(t,0) | \Phi_n \rangle \quad . \quad (10.5)$$

S ozna ením $V_{kn}(t) = \langle \Phi_k | \hat{V}(t) | \Phi_n \rangle$ máme pak

$$c_k(t) = \sum_n c_n(0) \left\{ \delta_{kn} - \frac{i}{\hbar} \int_0^t V_{kn}(t_1) \exp\left\{ \frac{i}{\hbar} (E_k - E_n) t_1 \right\} dt_1 - \frac{1}{\hbar^2} \sum_m \int_0^t V_{km}(t_1) \exp\left\{ \frac{i}{\hbar} (E_k - E_m) t_1 \right\} \int_0^{t_1} V_{mn}(t_2) \exp\left\{ \frac{i}{\hbar} (E_m - E_n) t_2 \right\} dt_2 dt_1 + \dots \right\} \quad (10.6)$$

P ímým dosazením za $|\Psi_{\text{int}}(t)\rangle$ z (10.3) do (10.1) a promítnutím do $|\Phi_n\rangle$ dostáváme

$$\sum_m i \hbar \frac{d}{dt} c_m(t) |\Phi_m\rangle = \sum_m c_m(t) \hat{H}_{\text{int}}(t) |\Phi_m\rangle, \quad (10.7)$$

$$i \hbar \frac{d}{dt} c_n(t) = \sum_m V_{nm}(t) \exp\left\{ \frac{i}{\hbar} (E_n - E_m) t \right\} c_m(t).$$

10.2 Fermiho zlaté pravidlo

P edpokládejme, že v ase $t=0$ je soustava v určitém stavu (počátečním) $|\Phi_i\rangle$, takže pro koeficienty $c_{ik}(0) = \delta_{ik}$. Počítáme pravděpodobnost přechodu do (konečného) stavu $|\Phi_f\rangle$ různého od $|\Phi_i\rangle$, tedy koeficient $c_{f[i]}(t)$. Předaný index i zvýrazníme, protože počítáme přechod z tohoto počátečního stavu. S označením $\hbar \omega_{fi} = E_f - E_i$ pak máme v prvním přiblížení

$$c_{f[i]}(t) = -\frac{i}{\hbar} \int_0^t V_{fi}(t_1) \exp\{i \omega_{fi} t_1\} dt_1. \quad (10.8)$$

10.2.1 Harmonický případ časové závislosti poruchy.

Pro harmonickou poruchu

$$\hat{V}(t) = \hat{F} \exp\{-i \omega t\} + \hat{F}^* \exp\{i \omega t\}$$

dostáváme

$$c_{f[i]}(t) = -\frac{i}{\hbar} \int_0^t V_{fi}(t_1) \exp\{i \omega_{fi} t_1\} dt_1 =$$

$$-\frac{1}{\hbar} F_{fi} \frac{\exp\{i(\omega_{fi} - \omega)t\} - 1}{\omega_{fi} - \omega} - \frac{1}{\hbar} F_{if}^* \frac{\exp\{i(\omega - \omega_{if})t\} - 1}{\omega - \omega_{if}}. \quad (10.9)$$

Zvláštní pozornost zasluhuje případ, kdy $\omega \approx \omega_{fi}$ nebo $\omega \approx \omega_{if}$. Počítáme pravděpodobnost přechodu za jednotku času, definovanou vztahem

$$w_{f[i]} = \lim_{t \rightarrow \infty} \frac{|c_{f[i]}(t)|^2}{t} . \quad (10.10)$$

Ze (10.9) dostáváme

$$\begin{aligned} \hbar^2 |c_{f[i]}(t)|^2 &= |F_{fi}|^2 \frac{\sin^2(\omega_{fi} - \omega)t/2}{(\omega_{fi} - \omega/2)^2} + |F_{if}|^2 \frac{\sin^2(\omega_{fi} + \omega)t/2}{((\omega_{fi} + \omega)/2)^2} + \\ & [F_{fi} F_{if} \exp\{-i\omega t\} + F_{fi}^* F_{if}^* \exp\{i\omega t\}] \frac{\sin^2 \omega_{fi} t/2 - \sin^2 \omega t/2}{(\omega_{fi}/2)^2 - (\omega/2)^2} . \end{aligned} \quad (10.11)$$

S využitím vztahu

$$\delta(x) = \lim_{t \rightarrow \infty} \frac{\sin^2(xt)}{\pi x^2 t} \quad (10.12)$$

dostáváme

$$\begin{aligned} \frac{\hbar^2}{\pi} w_{f[i]} &= |F_{fi}|^2 \delta((\omega_{fi} - \omega)/2) + |F_{if}|^2 \delta((\omega_{fi} + \omega)/2) + \\ & [F_{fi} F_{if} + F_{fi}^* F_{if}^*] \delta(\omega_{fi}/2) . \end{aligned} \quad (10.13)$$

To znamená

$$w_{f[i]} = \frac{2\pi}{\hbar} |F_{fi}|^2 \delta(E_f - E_i - \hbar\omega) , \quad w_{f[i]} = \frac{2\pi}{\hbar} |F_{if}|^2 \delta(E_i - E_f - \hbar\omega) \quad (10.14)$$

pro absorpci ($E_f = E_i + \hbar\omega$ a $\exp\{-i\omega t\}$) nebo emisi ($E_f = E_i - \hbar\omega$ a $\exp\{i\omega t\}$) fotonu a

$$w_{f[i]} = \frac{2\pi}{\hbar} |F_{fi} + F_{if}^*|^2 \delta(E_f - E_i) \quad (10.15)$$

pro stacionární poruchu ($\omega=0$). Při přechodech do finálního stavu, který leží ve spojitém spektru s hustotou stav $d\nu_f$ nebo i pro diskrétní spektrum s velmi blízkými energiemi počítáme

$$w_{f[i]} = \sum_{\{n|E_n \approx E_f\}} w_{n[i]} = \int dw_{f[i]} , \quad (10.16)$$

kde hustota pravděpodobnosti přechodu za jednotku času je $dw_{f[i]}$

$$\begin{aligned} dw_{f[i]} &= \frac{2\pi}{\hbar} |F_{fi}|^2 \delta(E_f - E_i - \hbar\omega) d\nu_f = \frac{2\pi}{\hbar} |F_{fi}|^2 \delta(E_f - E_i - \hbar\omega) \rho(E_f) dE_f , \\ dw_{f[i]} &= \frac{2\pi}{\hbar} |F_{if}|^2 \delta(E_f - E_i + \hbar\omega) d\nu_f = \frac{2\pi}{\hbar} |F_{if}|^2 \delta(E_f - E_i + \hbar\omega) \rho(E_f) dE_f . \end{aligned} \quad (10.17)$$

Princip detailní rovnováhy říká, že vzhledem k

$$|F_{fi}|^2 = F_{fi} F_{fi}^* = (F_{fi}^*)^* F_{fi}^* = (F_{if}^+)^* F_{if}^+ = |F_{if}^+|^2, \quad (10.18)$$

platí

$$\frac{w_{f[i]}}{\rho(E_f)} = \frac{w_{i[f]}}{\rho(E_i)}. \quad (10.19)$$

11. Vlastní hodnoty a vlastní funkce operátoru momentu hybnosti

V předchozích částech jsme se s operátorem momentu hybnosti letmo setkali a také jsme v nich v kterých případech brali v úvahu spin elektronu. Teď se budeme zabývat tím, jaké hodnoty má tenzor ε_{ikl} nabývá hodnotu 1 pro indexy $\{ikl\}$, které vznikly sudým permutacím z $\{123\}$, hodnotu -1 pro indexy $\{ikl\}$, které vznikly lichým permutacím z $\{123\}$ a hodnotu 0 v ostatních případech. Platí

$$\varepsilon_{ikl} \varepsilon_{rst} = \begin{vmatrix} \delta_{ir} & \delta_{is} & \delta_{it} \\ \delta_{kr} & \delta_{ks} & \delta_{kt} \\ \delta_{lr} & \delta_{ls} & \delta_{lt} \end{vmatrix}, \quad \varepsilon_{ikl} \varepsilon_{rsl} = \begin{vmatrix} \delta_{ir} & \delta_{is} \\ \delta_{kr} & \delta_{ks} \end{vmatrix}, \quad (11.1)$$

$$\varepsilon_{ikl} \varepsilon_{rkl} = 2\delta_{ir}, \quad \varepsilon_{ikl} \varepsilon_{ikl} = 6.$$

Poznámka: používáme zde Einsteinovu sumaci symboliku, tj. se sčítáme přes indexy, které se v daném členu vyskytují opakovaně. Pomocí tenzoru ε_{ikl} zapíšeme operátor momentu hybnosti a jeho komutační relace jako

$$\hbar \hat{l}_i = \varepsilon_{ikl} \hat{q}_k \hat{p}_l, \quad [\hat{l}_i, \hat{q}_k] = i\varepsilon_{ikl} \hat{q}_l, \quad [\hat{l}_i, \hat{p}_k] = i\varepsilon_{ikl} \hat{p}_l. \quad (11.2)$$

Snadno také ukážeme, že

$$\begin{aligned} \hbar [\hat{l}_i, \hat{l}_j] &= \varepsilon_{jkl} \hat{l}_i \hat{q}_k \hat{p}_l - \varepsilon_{jkl} \hat{q}_k \hat{p}_l \hat{l}_i = \varepsilon_{jkl} \hat{q}_k \hat{l}_i \hat{p}_l + i\varepsilon_{jkl} \varepsilon_{ikm} \hat{q}_m \hat{p}_l - \\ & \varepsilon_{jkl} \hat{q}_k \hat{p}_l \hat{l}_i = i\varepsilon_{jkl} \varepsilon_{ilm} \hat{q}_k \hat{p}_m + i\varepsilon_{jkl} \varepsilon_{ikm} \hat{q}_m \hat{p}_l = i(\hat{q}_j \hat{p}_i - \hat{q}_i \hat{p}_j) = i\hbar \varepsilon_{ijk} \hat{l}_k. \end{aligned} \quad (11.3)$$

Definujeme

$$\hat{l}^2 = \hat{l}_x^2 + \hat{l}_y^2 + \hat{l}_z^2, \quad \hat{l}_+ = \frac{1}{\sqrt{2}}(\hat{l}_x + i\hat{l}_y), \quad \hat{l}_- = \frac{1}{\sqrt{2}}(\hat{l}_x - i\hat{l}_y). \quad (11.4)$$

Pro tyto operátory platí komutační relace

$$[\hat{l}^2, \hat{l}_i] = 0, \quad [\hat{l}_+, \hat{l}_-] = \hat{l}_z, \quad [\hat{l}_z, \hat{l}_+] = \hat{l}_+, \quad [\hat{l}_z, \hat{l}_-] = -\hat{l}_-. \quad (11.5)$$

Operátor tčvece momentu hybnosti můžeme psát jako

$$\hat{l}^2 = 2\hat{l}_+ \hat{l}_- + \hat{l}_z^2 - \hat{l}_z = 2\hat{l}_- \hat{l}_+ + \hat{l}_z^2 + \hat{l}_z \quad (11.6)$$

V sou adnicové reprezentaci (ve sférických sou adnicích) je

$$\begin{aligned} \hat{l}_+ &= \frac{1}{\sqrt{2}} \exp\{i\varphi\} \left(\frac{\partial}{\partial \vartheta} + i \cot \vartheta \frac{\partial}{\partial \varphi} \right) , \\ \hat{l}_- &= \frac{1}{\sqrt{2}} \exp\{-i\varphi\} \left(-\frac{\partial}{\partial \vartheta} + i \cot \vartheta \frac{\partial}{\partial \varphi} \right) , \\ \hat{l}_z &= -i \frac{\partial}{\partial \varphi} , \quad \hat{l}^2 = - \left[\frac{1}{\sin \vartheta} \frac{\partial}{\partial \vartheta} \left(\sin \vartheta \frac{\partial}{\partial \vartheta} \right) + \frac{1}{\sin^2 \vartheta} \frac{\partial^2}{\partial \varphi^2} \right] . \end{aligned} \quad (11.7)$$

Vlastní hodnoty a vlastní funkce operátoru z -ové složky momentu hybnosti \hat{l}_z najdeme snadno vyuffitím metody separace prom nných

$$\begin{aligned} -i \frac{\partial \psi(r, \vartheta, \varphi)}{\partial \varphi} &= l_z \psi(r, \vartheta, \varphi) , \quad \psi(r, \vartheta, \varphi) = f(r, \vartheta) \Phi_{l_z}(\varphi) , \\ l_z = m = 0, \pm 1, \pm 2, \dots , \quad \Phi_m(\varphi) &= \frac{1}{\sqrt{2\pi}} \exp\{im\varphi\} . \end{aligned} \quad (11.8)$$

Osa z není nijak preferována, takže pr m t momentu hybnosti do libovolného sm ru m fle nabývat pouze celo íselných hodnot. Tento výsledek není rozporný, nebo vlastní funkce jsou pro r zné sm ry r zné.

Ozna me te jako l nejv t-í mofnou hodnotu m pro danou vlastní hodnotu operátoru \hat{l}^2 . Bu $|\lambda m\rangle$ vlastní vektor operátoru \hat{l}_z s vlastní hodnotou m a sou asn vlastní vektor \hat{l}^2 s vlastní hodnotou . Potom

$$\begin{aligned} \hat{l}_+ \hat{l}_+ |\lambda m\rangle &= \hat{l}_+ (\hat{l}_z + 1) |\lambda m\rangle = (m+1) \hat{l}_+ |\lambda m\rangle , \\ \hat{l}_z \hat{l}_- |\lambda m\rangle &= \hat{l}_+ (\hat{l}_z - 1) |\lambda m\rangle = (m-1) \hat{l}_+ |\lambda m\rangle , \\ |\lambda m+1\rangle &= C_+ \hat{l}_+ |\lambda m\rangle , \quad |\lambda m-1\rangle = C_- \hat{l}_- |\lambda m\rangle . \end{aligned} \quad (11.9)$$

Pro $m = l$ musí tedy vzhledem k tomu, fle l je nejvy-í mofná hodnota m být

$$\begin{aligned} \hat{l}_+ |\lambda l\rangle &= 0 , \quad 2\hat{l}_- \hat{l}_+ |\lambda l\rangle = (\hat{l}^2 - \hat{l}_z^2 - \hat{l}_z) |\lambda l\rangle = 0 , \\ \hat{l}^2 |\lambda l\rangle &= \lambda |\lambda l\rangle , \quad \hat{l}_z^2 |\lambda l\rangle = l^2 |\lambda l\rangle , \quad \hat{l}_z |\lambda l\rangle = l |\lambda l\rangle . \end{aligned} \quad (11.10)$$

Dostáváme tedy pro vlastní hodnoty operátoru \hat{l}^2 hodnoty $= l(l+1)$, vlastní hodnoty \hat{l}^2 nezávisí na m .

Vlastní vektory operátoru \hat{l}^2 v souadnicové reprezentaci dostaneme nejsnadněji pomocí rovnice

$$Y_{lm}(\vartheta, \varphi) = \Phi_m(\varphi) \Theta_{lm}(\vartheta) \quad , \quad \int_0^\pi \int_0^{2\pi} |Y_{lm}(\vartheta, \varphi)|^2 \sin \vartheta d\varphi d\vartheta \quad , \quad (11.11)$$

$$\frac{1}{\sin \vartheta} \frac{d}{d\vartheta} \left(\sin \vartheta \frac{d\Theta_{lm}(\vartheta)}{d\vartheta} \right) + \left(l(l+1) - \frac{m^2}{\sin^2 \vartheta} \right) \Theta_{lm}(\vartheta) = 0 \quad .$$

Řešením jsou prodloužené Legendreovy polynomy $P_l^m(\cos \vartheta)$. S uvažováním normovací podmínky

$$Y_{lm}(\vartheta, \varphi) = (-1)^{m+|m|} i^l \sqrt{\frac{2l+1}{4\pi}} \sqrt{\frac{(l-|m|)!}{(l+|m|)!}} P_l^m(\cos \vartheta) \exp\{im\varphi\} \quad . \quad (11.12)$$

Jiný způsob dává maticová formulace. Souadnicová reprezentace vznikla projekcí $Y_{lm}(\vartheta, \varphi) = \langle \vartheta \varphi | lm \rangle$. Počítáme maticový element \hat{l}^2 podle (11.6). Máme

$$l(l+1) = 2 \langle lm | \hat{l}_+^2 \left(\sum_{\mu=-l}^{\mu=l} |l\mu\rangle \langle l\mu| \right) \hat{l}_-^2 |lm\rangle + m^2 - m =$$

$$2 \langle lm | \hat{l}_+^2 |lm-1\rangle \langle lm-1 | \hat{l}_-^2 |lm\rangle + m^2 - m \quad , \quad \langle lm-1 | \hat{l}_-^2 |lm\rangle = \langle lm | \hat{l}_+^2 |lm-1\rangle^* \quad , \quad (11.13)$$

$$\langle lm | \hat{l}_+^2 |lm-1\rangle = \langle lm-1 | \hat{l}_-^2 |lm\rangle = \sqrt{\frac{(l+m)(l-m+1)}{2}} \quad .$$

Dále pak

$$\hat{l}_+^2 |ll\rangle = 0 \quad , \quad \frac{d\Theta_{ll}(\vartheta)}{d\vartheta} - l \cot \vartheta \Theta_{ll}(\vartheta) = 0 \quad ,$$

$$\Theta_{ll}(\vartheta) = (-i)^l \sqrt{\frac{(2l+1)!}{2}} \frac{\sin^l \vartheta}{2^l l!} \quad , \quad (11.14)$$

$$\hat{l}_-^2 |lm+1\rangle = \langle lm | \hat{l}_-^2 |lm+1\rangle |lm\rangle \quad , \quad \hat{l}_-^{l-m} |ll\rangle = \sqrt{\frac{(2l)!}{2^{l-m}}} \sqrt{\frac{(l-m)!}{(l+m)!}} |lm\rangle \quad .$$

Všechny úvahy prováděné pro moment hybnosti jedné částice \vec{l} platí samozřejmě i pro celkový moment soustavy \vec{L}

$$\hat{L}^2 = \sum_a \hat{l}_a^2 \quad . \quad (11.15)$$

12. Maticové elementy skaláru a vektoru, parita stavu¹⁶

Uvažujme o uzavřené soustavě částic bez vnějšího pole nebo částici ve vnějším centrálním poli. Hamiltonián takové úlohy se nezmění při otočení souřadnicové soustavy o libovolný úhel kolem libovolné osy (procházející středem), a v důsledku této izotropie prostoru komutuje s hamiltoniánem \hat{H} operátor momentu hybnosti \hat{L} . Při otočení se v-ak obecně nezmění skalární veličina f , a také její operátor \hat{f} bude tedy komutovat s operátorem momentu hybnosti

$$[\hat{f}, \hat{L}] = 0 \quad (12.1)$$

Maticové operátoru \hat{f} je vzhledem k L a M diagonální a na M nezávislá. Diagonalita plyne z komutativnosti \hat{f} a \hat{L} . Nezávislost na M snadno ukážeme: označme N soubor zbývajících maticových indexů (kvantových čísel), charakterizujících stav soustavy. Z komutativnosti \hat{f} a \hat{L}_+ a nezávislosti maticových elementů \hat{L}_+ na N dostáváme

$$\begin{aligned} \langle N' L M + 1 | \hat{f} | N L M + 1 \rangle \langle N L M + 1 | \hat{L}_+ | N L M \rangle = \\ \langle N' L M + 1 | \hat{L}_+ | N' L M \rangle \langle N' L M | \hat{f} | N L M \rangle, \end{aligned} \quad (12.2)$$

tedy maticové elementy operátoru \hat{f} nezávisí na M . Pro hamiltonián to znamená $2L+1$ násobnou degeneraci energetických hladin.

Uvažujme teď o vektorové fyzikální veličině, které přísluší operátor \hat{V} . Komutativní relace s operátorem momentu hybnosti \hat{L} budou stejné, jako komutativní relace operátoru vektoru souřadnic, tedy

$$[\hat{L}_i, \hat{V}_k] = i \varepsilon_{ikl} \hat{V}_l \quad (12.3)$$

Maticové elementy vektoru mohou být odlišné od nuly jen pro hodnoty L a M lišící se nejvýše o jednotku (výběrová pravidla). Máme například

¹⁶ Tuto kapitolu možno vynechat.

$$\begin{aligned}
[\check{L}_z, \check{V}_z] &= 0 \quad , \quad [\check{L}_z, \check{V}_+] = \check{V}_+ \quad , \quad [\check{L}_z, \check{V}_-] = -\check{V}_- \quad , \\
\langle M_2 | \check{L}_z \sum_M |M\rangle \langle M | \check{V}_z | M_1 \rangle &= \langle M_2 | \check{V}_z \check{L}_z | M_1 \rangle \\
\Rightarrow M_2 \langle M_2 | \check{V}_z | M_1 \rangle &= M_1 \langle M_2 | \check{V}_z | M_1 \rangle \quad , \\
\langle M_2 | \check{L}_z \sum_M |M\rangle \langle M | \check{V}_+ | M_1 \rangle &= \langle M_2 | \check{V}_+ \check{L}_z | M_1 \rangle + \langle M_2 | \check{V}_+ | M_1 \rangle \\
\Rightarrow M_2 \langle M_2 | \check{V}_+ | M_1 \rangle &= (M_1 + 1) \langle M_2 | \check{V}_+ | M_1 \rangle \quad , \\
\langle M_2 | \check{L}_z \sum_M |M\rangle \langle M | \check{V}_- | M_1 \rangle &= \langle M_2 | \check{V}_- \check{L}_z | M_1 \rangle - \langle M_2 | \check{V}_- | M_1 \rangle \\
\Rightarrow M_2 \langle M_2 | \check{V}_- | M_1 \rangle &= (M_1 - 1) \langle M_2 | \check{V}_- | M_1 \rangle \quad .
\end{aligned} \tag{12.4}$$

Operátor parity definujeme jako

$$\langle \vec{r} | (\check{P} | \psi \rangle) = \langle -\vec{r} | \psi \rangle \quad . \tag{12.5}$$

Jeho vlastní hodnoty jsou $P=1$ a $P=-1$, jak snadno vidíme z $\check{P}^2 | \psi \rangle = | \psi \rangle$. Parita stavů částice charakterizovaných l a m je $(-1)^l$, protože při prostorové inverzi se sférické harmonické a vlastní funkce $Y_{lm}(\vartheta, \varphi) = \langle \vartheta \varphi | lm \rangle$ transformují takto:

$$\begin{aligned}
\vec{r} \rightarrow -\vec{r} \quad , \quad r \rightarrow r \quad , \quad \vartheta \rightarrow \pi - \vartheta \quad , \quad \varphi \rightarrow \varphi + \pi \quad , \quad P_l^m(\cos \vartheta) \exp\{im\varphi\} \\
\rightarrow P_l^m(\cos(\pi - \vartheta)) \exp\{im(\varphi + \pi)\} = (-1)^l P_l^m(\cos \vartheta) \exp\{im\varphi\} \quad .
\end{aligned} \tag{12.6}$$

Z hlediska parity rozlišíme skalární veličiny na pravé skaláry a pseudoskaláry a vektorové veličiny na polární vektory a axiální vektory podle toho, jestli s operátorem parity komutují nebo antikomutují. Stav s sudou paritou označíme $|g\rangle$, stav s lichou paritou $|u\rangle$.

Výběrová pravidla pro libovolný operátor \check{O} dostaneme ze vztah

$$\begin{aligned}
\langle p_2 | \check{P} \{ |g\rangle \langle g| + |u\rangle \langle u| \} \check{O} | p_1 \rangle &= \langle p_2 | g \rangle \langle g | \check{O} | p_1 \rangle - \langle p_2 | u \rangle \langle u | \check{O} | p_1 \rangle \quad , \\
\langle p_2 | \check{O} \check{P} \{ |g\rangle \langle g| + |u\rangle \langle u| \} | p_1 \rangle &= \langle p_2 | \check{O} | g \rangle \langle g | p_1 \rangle - \langle p_2 | \check{O} | u \rangle \langle u | p_1 \rangle
\end{aligned} \tag{12.7}$$

a relací

$$\check{P} \check{O}_g - \check{O}_g \check{P} = 0 \quad , \quad \check{P} \check{O}_u + \check{O}_u \check{P} = 0 \quad . \tag{12.8}$$

13. Spin

13.1 Rotace a komutací relace pro operátor momentu hybnosti

Budeme si všímat pouze infinitezimálních rotací o úhel $\Delta\phi$. Pro rotace kolem os kartézské soustavy jsou adnic v trojrozměrném eukleidovském prostoru máme

$$R_x(\Delta\phi) = \begin{pmatrix} 1 & 0 & 0 \\ 0 & 1 - \frac{(\Delta\phi)^2}{2} & -\Delta\phi \\ 0 & \Delta\phi & 1 - \frac{(\Delta\phi)^2}{2} \end{pmatrix}, \quad R_y(\Delta\phi) = \begin{pmatrix} 1 - \frac{(\Delta\phi)^2}{2} & 0 & \Delta\phi \\ 0 & 1 & 0 \\ -\Delta\phi & \Delta\phi & 1 - \frac{(\Delta\phi)^2}{2} \end{pmatrix} \quad (13.1)$$

a

$$R_z(\Delta\phi) = \begin{pmatrix} 1 - \frac{(\Delta\phi)^2}{2} & -\Delta\phi & 0 \\ \Delta\phi & 1 - \frac{(\Delta\phi)^2}{2} & 0 \\ 0 & 0 & 1 \end{pmatrix}. \quad (13.2)$$

Tyto rotace můžeme zapsat pomocí operátoru momentu hybnosti jako

$$R_i(\Delta\phi) = \hat{I} - i \hat{J}_i \Delta\phi - \frac{1}{2} \hat{J}_i^2 (\Delta\phi)^2, \quad (13.3)$$

kde

$$\hat{I} = \begin{pmatrix} 1 & 0 & 0 \\ 0 & 1 & 0 \\ 0 & 0 & 1 \end{pmatrix}, \quad \hat{J}_x = \begin{pmatrix} 0 & 0 & 0 \\ 0 & 0 & -i \\ 0 & i & 0 \end{pmatrix}, \quad \hat{J}_y = \begin{pmatrix} 0 & 0 & i \\ 0 & 0 & 0 \\ -i & 0 & 0 \end{pmatrix}, \quad \hat{J}_z = \begin{pmatrix} 0 & -i & 0 \\ i & 0 & 0 \\ 0 & 0 & 0 \end{pmatrix}. \quad (13.4)$$

Konečné rotace pak napíšeme jako

$$\hat{R}_i(\phi) = \lim_{N \rightarrow \infty} \left[\hat{1} - i \hat{J}_i \frac{\phi}{N} \right]^N = \exp\{-i \hat{J}_i \phi\} . \quad (13.5)$$

13.2 Spin

Komutační relace pro složky momentu hybnosti můžeme psát ve vektorové formě

$$\hat{l} \times \hat{l} = i \hat{l} . \quad (13.6)$$

Částice může mít kromě tohoto orbitálního momentu ještě vnitřní moment hybnosti. Pro jeho operátor platí

$$\hat{s} \times \hat{s} = i \hat{s} , \quad [\hat{s}, \hat{r}] = 0 , \quad [\hat{s}, \hat{p}] = 0 , \quad [\hat{s}, \hat{l}] = 0 . \quad (13.7)$$

První vztah říká, že spin má charakter momentu impulsu, další vztahy vyjadřují to, že jde o vnitřní moment impulsu, který nijak nesouvisí se souřadnicí a impulzem částice. Definujeme dále operátor celkového momentu hybnosti

$$\hat{j} = \hat{l} + \hat{s} , \quad \hat{j} \times \hat{j} = i \hat{j} . \quad (13.8)$$

Obdobně jako pro orbitální moment dostaneme pro spin

$$\hat{s}_z |s s_z\rangle = s_z |s s_z\rangle , \quad \hat{s}^2 |s s_z\rangle = s(s+1) |s s_z\rangle , \quad (13.9)$$

$$s_z = -s, -s+1, \dots, s-1, s .$$

Rozdíl je ovšem v tom, že projekce orbitálního momentu m musela nabývat celočíselných hodnot. U spinu toto neplatí. Protože však projekce spinu tvoří posloupnost úsečí se o jedničku, musí být rozdíl $2s$ mezi maximální a minimální hodnotou roven nule nebo celému kladnému číslu. Jsou tedy možné hodnoty spinu částic $s=0, 1/2, 1, \dots$. Například spin $1/2$ mají leptony (elektron a positron, a leptony a neutrina) a kvarky, spin 1 fotony, W a Z bosony a gluony.

Operátor spinu může být reprezentován maticemi. Pro $s=0$ je možný pouze jediný spinový stav $s_z=0$, reprezentace je triviální, tvoří ji nulový vektor

$$\hat{s} = [\hat{s}_x, \hat{s}_y, \hat{s}_z] = [0, 0, 0] . \quad (13.10)$$

Pro $s=1/2$ jsou možné pouze dva spinové stavy, $s_z = \pm 1/2$, a reprezentace je realizována Pauliho maticemi

$$\hat{s} = [\hat{s}_x, \hat{s}_y, \hat{s}_z] , \quad \hat{s}_x = \frac{1}{2} \sigma_x , \quad \hat{s}_y = \frac{1}{2} \sigma_y , \quad \hat{s}_z = \frac{1}{2} \sigma_z , \quad (13.11)$$

$$\sigma_x = \begin{pmatrix} 0 & 1 \\ 1 & 0 \end{pmatrix} , \quad \sigma_y = \begin{pmatrix} 0 & -i \\ i & 0 \end{pmatrix} , \quad \sigma_z = \begin{pmatrix} 1 & 0 \\ 0 & -1 \end{pmatrix} .$$

Platí

$$\sigma_x^2 = \sigma_y^2 = \sigma_z^2 = \begin{pmatrix} 1 & 0 \\ 0 & 1 \end{pmatrix}, \quad \hat{s}_x^2 + \hat{s}_y^2 + \hat{s}_z^2 = \frac{3}{4} \begin{pmatrix} 1 & 0 \\ 0 & 1 \end{pmatrix}. \quad (13.12)$$

Také pro $s=1$, kdy jsou možné tři spinové stavy $s_z=0, \pm 1$, máme jednoduchou maticovou reprezentaci

$$\begin{aligned} \hat{s}^2 &= [\hat{s}_x^2, \hat{s}_y^2, \hat{s}_z^2], \quad \hat{s}_x^2 = \beta_x^2, \quad \hat{s}_y^2 = \beta_y^2, \quad \hat{s}_z^2 = \beta_z^2, \\ \beta_x^2 &= \frac{1}{\sqrt{2}} \begin{pmatrix} 0 & 1 & 0 \\ 1 & 0 & 1 \\ 0 & 1 & 0 \end{pmatrix}, \quad \beta_y^2 = \frac{i}{\sqrt{2}} \begin{pmatrix} 0 & 1 & 0 \\ -1 & 0 & 1 \\ 0 & -1 & 0 \end{pmatrix}, \quad \beta_z^2 = \begin{pmatrix} 1 & 0 & 0 \\ 0 & 0 & 0 \\ 0 & 0 & 1 \end{pmatrix}. \end{aligned} \quad (13.13)$$

Pro matice platí

$$\begin{aligned} \beta_x^2 &= \frac{1}{2} \begin{pmatrix} 1 & 0 & 1 \\ 0 & 2 & 0 \\ 1 & 0 & 1 \end{pmatrix}, \quad \beta_y^2 = \frac{1}{2} \begin{pmatrix} 1 & 0 & -1 \\ 0 & 2 & 0 \\ -1 & 0 & 1 \end{pmatrix}, \quad \beta_z^2 = \begin{pmatrix} 1 & 0 & 0 \\ 0 & 0 & 0 \\ 0 & 0 & 1 \end{pmatrix}, \\ \hat{s}_x^2 + \hat{s}_y^2 + \hat{s}_z^2 &= 2 \begin{pmatrix} 1 & 0 & 0 \\ 0 & 1 & 0 \\ 0 & 0 & 1 \end{pmatrix}. \end{aligned} \quad (13.14)$$

částice se spinem, tj. částice s vnitřním momentem hybnosti, má také vnitřní magnetický moment $\vec{\mu}$. Jeho operátor $\hat{\mu}$ je úměrný operátoru spinu \hat{s}

$$\hat{\mu} = \frac{\mu}{s} \hat{s}, \quad (13.15)$$

kde μ je pro částici charakteristická konstanta. Pro elektron je $\mu = \mu_B = e\hbar/(2m)$. Hamiltonián elektronu v elektromagnetickém poli (v souřadnicové reprezentaci) tedy bude

$$\hat{H} = \frac{1}{2m} \left(\vec{p} - e\vec{A}(\vec{r}) \right)^2 - \frac{\mu_B}{s} \hat{s} \cdot \vec{B}(\vec{r}) + e\phi(\vec{r}). \quad (13.16)$$

13.3 Spin a rotace

Pro Pauliho matice platí

$$[\sigma_i, \sigma_j] = 2i \varepsilon_{ijk} \sigma_k, \quad \{\sigma_i, \sigma_j\} = 2\delta_{ij}. \quad (13.17)$$

Dále pro matici

$$\vec{\sigma} \cdot \vec{a} = \sigma_i a_i = \begin{pmatrix} a_3 & a_1 - ia_2 \\ a_1 + ia_2 & -a_3 \end{pmatrix} \quad (13.18)$$

platí

$$(\vec{\sigma} \cdot \vec{a})(\vec{\sigma} \cdot \vec{b}) = \vec{a} \cdot \vec{b} + i \vec{\sigma} \cdot (\vec{a} \times \vec{b}) \quad , \quad (13.19)$$

protože

$$\sigma_j a_j \sigma_k b_k = \frac{1}{2} (\{ \sigma_j, \sigma_k \} + [\sigma_j, \sigma_k]) a_j b_k = (\delta_{jk} + i \varepsilon_{jkl} \sigma_l) a_j b_k \quad . \quad (13.20)$$

Speciálně pro jednotkový vektor platí

$$(\vec{\sigma} \cdot \vec{n})^{2k} = \begin{pmatrix} 1 & 0 \\ 0 & 1 \end{pmatrix} \quad , \quad (\vec{\sigma} \cdot \vec{n})^{2k+1} = \begin{pmatrix} n_3 & n_1 - i n_2 \\ n_1 + i n_2 & -n_3 \end{pmatrix} \quad . \quad (13.21)$$

Jak bylo ukázáno, Pauliho matice dle nelineární komutační relace stejně jako operátor momentu hybnosti, který je generátorem infinitezimálních rotací. Máme pak obdobně jako ve vztahu (13.5) vztah

$$\exp \left\{ i \phi \frac{\vec{\sigma} \cdot \vec{n}}{2} \right\} = \begin{pmatrix} 1 & 0 \\ 0 & 1 \end{pmatrix} \cos \frac{\phi}{2} + i \begin{pmatrix} n_3 & n_1 - i n_2 \\ n_1 + i n_2 & -n_3 \end{pmatrix} \sin \frac{\phi}{2} \quad . \quad (13.22)$$

Tento výraz umožňuje vyjádřit transformaci spinoru při rotaci souřadné soustavy. Označíme-li ϕ a θ azimutální a polární úhly charakterizující jednotkový vektor, máme pro spinor s $m = \pm 1/2$ do jednotkového vektoru

$$\begin{pmatrix} \cos \frac{\phi}{2} + i \sigma_3 \sin \frac{\phi}{2} \\ 0 \end{pmatrix} \begin{pmatrix} \cos \frac{\theta}{2} + i \sigma_2 \sin \frac{\theta}{2} \\ 0 \end{pmatrix} \begin{pmatrix} 1 \\ 0 \end{pmatrix} = \begin{pmatrix} \cos \frac{\theta}{2} \exp \left\{ i \frac{\phi}{2} \right\} \\ -\sin \frac{\theta}{2} \exp \left\{ -i \frac{\phi}{2} \right\} \end{pmatrix} \quad . \quad (13.23)$$

Vzhledem k neobvyklému výskytu polárních úhlů ukážeme pomocí rotací na spinory ještě jiným způsobem. Operátory spinu zapíšeme nyní jako

$$\begin{aligned} \hat{s}_x &= \frac{1}{2} [|+\rangle \langle -| + |-\rangle \langle +|] \quad , \quad \hat{s}_y = \frac{i}{2} [|-\rangle \langle +| - |+\rangle \langle -|] \quad , \\ \hat{s}_z &= \frac{1}{2} [|+\rangle \langle +| - |-\rangle \langle -|] \quad . \end{aligned} \quad (13.24)$$

Transformace spinoru při rotaci kolem osy z o úhel ϕ

$$\begin{aligned} \hat{R}_z(\phi) &= \exp \{ i \hat{s}_z \phi \} \quad , \quad | \sigma \rangle_R = \hat{R}_z(\phi) | \sigma \rangle = \exp \{ i \hat{s}_z \phi \} | \sigma \rangle \quad , \\ | + \rangle_R &= \exp \{ i \hat{s}_z \phi \} | + \rangle = \exp \left\{ i \frac{\phi}{2} \right\} | + \rangle \quad , \quad | - \rangle_R = \exp \{ i \hat{s}_z \phi \} | - \rangle = \exp \left\{ -i \frac{\phi}{2} \right\} | - \rangle . \end{aligned} \quad (13.25)$$

Pro operátory spinu tak dostáváme

$$\begin{aligned}
\hat{s}_{xR}^{\xi} &= \frac{1}{2} \left[\exp\left\{i\frac{\phi}{2}\right\} |+\rangle\langle-| \exp\left\{i\frac{\phi}{2}\right\} + \exp\left\{-i\frac{\phi}{2}\right\} |-\rangle\langle+| \exp\left\{-i\frac{\phi}{2}\right\} \right] \\
&= \cos\phi \hat{s}_x^{\xi} - \sin\phi \hat{s}_y^{\xi} \quad , \\
\hat{s}_{yR}^{\xi} &= \frac{i}{2} \left[\exp\left\{-i\frac{\phi}{2}\right\} |-\rangle\langle+| \exp\left\{-i\frac{\phi}{2}\right\} - \exp\left\{i\frac{\phi}{2}\right\} |+\rangle\langle-| \exp\left\{i\frac{\phi}{2}\right\} \right] \\
&= \sin\phi \hat{s}_x^{\xi} + \cos\phi \hat{s}_y^{\xi} \quad , \\
\hat{s}_{zR}^{\xi} &= \frac{1}{2} \left[\exp\left\{i\frac{\phi}{2}\right\} |+\rangle\langle+| \exp\left\{-i\frac{\phi}{2}\right\} - \exp\left\{-i\frac{\phi}{2}\right\} |-\rangle\langle-| \exp\left\{i\frac{\phi}{2}\right\} \right] = \hat{s}_z^{\xi} \quad .
\end{aligned} \tag{13.26}$$

14. Princip nerozli-itelnosti ástic

Pro kvantovou teorii soustav tvo ených více stejnými ásticemi je základním tvrzením princip nerozli-itelnosti. Uvaŕujme soustavu tvo enou dv ma ásticemi. Podle principu nerozli-itelnosti musí být stavy, které se li-í pouze po adím ástic, identické. Jejich stavové vektory se tedy mohou li-it pouze fází $\exp\{i\alpha\}$. Pro vlnovou funkci dvou ásticové soustavy musí tedy platit

$$\begin{aligned}
|\xi_1, \xi_2\rangle &= \exp\{i\alpha\} |\xi_2, \xi_1\rangle = \exp\{2i\alpha\} |\xi_1, \xi_2\rangle \Rightarrow \\
|\xi_1, \xi_2\rangle &= \pm |\xi_2, \xi_1\rangle \quad .
\end{aligned} \tag{14.1}$$

ástice s $\exp\{i\alpha\}=1$, popisované symetrickými vlnovými funkcemi nazýváme bosony, ástice s $\exp\{i\alpha\}=-1$, popisované antisymetrickými vlnovými funkcemi nazýváme fermiony. V relativistické kvantové teorii lze ukázat, že ástice s polo íselným spinem jsou fermiony, ástice s celo íselným spinem bosony. Pro soustavu N boson máme

$$\begin{aligned}
\langle \xi_1, \xi_2, \dots, \xi_N | p_1, p_2, \dots, p_N \rangle &= \\
\sqrt{\frac{N_1! N_2! \dots N_N!}{N!}} \sum \langle \xi_{i_1} | p_1 \rangle \langle \xi_{i_2} | p_2 \rangle \dots \langle \xi_{i_N} | p_N \rangle \quad .
\end{aligned} \tag{14.2}$$

Sumace se provádí přes permutace $\{i_1, i_2, \dots, i_N\}$ mnoŕiny $\{1, 2, \dots, N\}$, N_k je počet stejných stav p_k . Pro dv ástice máme

$$\begin{aligned}
\langle \xi_1, \xi_2 | p_1, p_2 \rangle &= \langle \xi_1 | p_1 \rangle \langle \xi_2 | p_2 \rangle \delta_{p_1 p_2} + \\
\frac{1}{\sqrt{2}} (\langle \xi_1 | p_1 \rangle \langle \xi_2 | p_2 \rangle + \langle \xi_1 | p_2 \rangle \langle \xi_2 | p_1 \rangle) (1 - \delta_{p_1 p_2}) \quad .
\end{aligned} \tag{14.3}$$

Pro soustavu N fermion pak

$$\langle \xi_1, \xi_2, \dots, \xi_N | p_1, p_2, \dots, p_N \rangle = \sqrt{\frac{1}{N!}} \begin{vmatrix} \langle \xi_1 | p_1 \rangle & \langle \xi_2 | p_1 \rangle & \dots & \langle \xi_N | p_1 \rangle \\ \langle \xi_1 | p_2 \rangle & \langle \xi_2 | p_2 \rangle & \dots & \langle \xi_N | p_2 \rangle \\ \dots & \dots & \dots & \dots \\ \langle \xi_1 | p_N \rangle & \langle \xi_2 | p_N \rangle & \dots & \langle \xi_N | p_N \rangle \end{vmatrix} . \quad (14.4)$$

tzv. Slater v determinant. Pro dvě částice

$$\langle \xi_1, \xi_2 | p_1, p_2 \rangle = \frac{1}{\sqrt{2}} (\langle \xi_1 | p_1 \rangle \langle \xi_2 | p_2 \rangle - \langle \xi_1 | p_2 \rangle \langle \xi_2 | p_1 \rangle) . \quad (14.5)$$

Promenné ξ zahrnují jak jsou adicové částice, tak její spinový stav. Proto píšeme s vlnovou funkcí, která je součinem souadnicové a spinové funkce a je symetrická při záměně souadnic a antisymetrická při záměně spinových proměnných nebo naopak. Pro dva elektrony například symetrickou souadnicovou funkci

$$\Psi^{(s)}(\vec{r}_1, \vec{r}_2) = \frac{1}{\sqrt{2}} [\psi_a(\vec{r}_1)\psi_b(\vec{r}_2) + \psi_b(\vec{r}_1)\psi_a(\vec{r}_2)]$$

násobíme antisymetrickou spinovou funkcí

$$\Sigma^{(a)}(s_{z1}, s_{z2}) = \frac{1}{\sqrt{2}} \left[\begin{pmatrix} 1 \\ 0 \end{pmatrix}_1 \begin{pmatrix} 0 \\ 1 \end{pmatrix}_2 - \begin{pmatrix} 0 \\ 1 \end{pmatrix}_1 \begin{pmatrix} 1 \\ 0 \end{pmatrix}_2 \right]$$

nebo antisymetrickou souadnicovou funkci

$$\Psi^{(a)}(\vec{r}_1, \vec{r}_2) = \frac{1}{\sqrt{2}} [\psi_a(\vec{r}_1)\psi_b(\vec{r}_2) - \psi_b(\vec{r}_1)\psi_a(\vec{r}_2)]$$

násobíme některou z čtyř možných symetrických spinových funkcí

$$\Sigma^{(s)}(s_{z1}, s_{z2}) = \begin{cases} \begin{pmatrix} 1 \\ 0 \end{pmatrix}_1 \begin{pmatrix} 1 \\ 0 \end{pmatrix}_2 \\ \frac{1}{\sqrt{2}} \left[\begin{pmatrix} 1 \\ 0 \end{pmatrix}_1 \begin{pmatrix} 0 \\ 1 \end{pmatrix}_2 + \begin{pmatrix} 0 \\ 1 \end{pmatrix}_1 \begin{pmatrix} 1 \\ 0 \end{pmatrix}_2 \right] \\ \begin{pmatrix} 0 \\ 1 \end{pmatrix}_1 \begin{pmatrix} 0 \\ 1 \end{pmatrix}_2 \end{cases} .$$

Funkce vzniklé násobením souadnicové a spinové části jsou lineárními kombinacemi Slaterových determinantů. Tak například

$$\Psi^{(a)}(\vec{r}_1, \vec{r}_2) \Sigma^{(s)}(s_{z1}, s_{z2}) = \frac{1}{\sqrt{2}} \begin{vmatrix} \psi_a(\vec{r}_1) \begin{pmatrix} 1 \\ 0 \end{pmatrix}_1 & \psi_b(\vec{r}_1) \begin{pmatrix} 0 \\ 1 \end{pmatrix}_1 \\ \psi_a(\vec{r}_2) \begin{pmatrix} 1 \\ 0 \end{pmatrix}_2 & \psi_b(\vec{r}_2) \begin{pmatrix} 0 \\ 1 \end{pmatrix}_2 \end{vmatrix} + \frac{1}{\sqrt{2}} \begin{vmatrix} \psi_b(\vec{r}_1) \begin{pmatrix} 1 \\ 0 \end{pmatrix}_1 & \psi_a(\vec{r}_1) \begin{pmatrix} 0 \\ 1 \end{pmatrix}_1 \\ \psi_b(\vec{r}_2) \begin{pmatrix} 1 \\ 0 \end{pmatrix}_2 & \psi_a(\vec{r}_2) \begin{pmatrix} 0 \\ 1 \end{pmatrix}_2 \end{vmatrix} .$$

P ipomeneme si také, že operátor sloffky z spinu pro soustavu dvou částic je

$$\hat{S}_z = \frac{1}{2} \begin{pmatrix} 1 & 0 \\ 0 & -1 \end{pmatrix}_1 \begin{pmatrix} 1 & 0 \\ 0 & 1 \end{pmatrix}_2 + \frac{1}{2} \begin{pmatrix} 1 & 0 \\ 0 & 1 \end{pmatrix}_1 \begin{pmatrix} 1 & 0 \\ 0 & -1 \end{pmatrix}_2 . \quad (14.6)$$

P sobením na jednotlivé spinové funkce zjišťujeme, že jsou to vlastní funkce tohoto operátoru a vlastními hodnotami 0 (pro $\Sigma^{(a)}$) a 1, 0, 0, 1 (pro $\Sigma^{(s)}$).

15. Cesta k Bellovým nerovnostem

15.1 EPR paradox

V roce 1935 uvedli Einstein, Podolsky a Rosen odtud zkratka EPR o láněk¹⁷, který (spolu s následující Bohrovou odpovědí¹⁸) ovlivnil na více jak p 1 století úvahy o tom, jak úplný je kvantov mechanický popis fyzikální reality (tj. vývoje zkoumané soustavy). EPR navrhli myšlený experiment (skutečný experiment dovolil pokrok v experimentálních možnostech až v roce 1982), který se týkal měření na dvou identických volných částicích ve stavu, popsaném vlnovou funkcí

$$\Psi(x_1, x_2 | t) = \left[\frac{m}{4\pi\hbar t} \right]^{1/2} \exp \left\{ i \left[\frac{m}{4\hbar t} (x_1 - x_2 + x_0)^2 - \frac{\pi}{4} \right] \right\} . \quad (15.1)$$

Lepší představu dává rozklad této funkce do rovinných vln

$$\Psi(x_1, x_2 | t) = \frac{1}{2\pi\hbar} \int_{-\infty}^{\infty} \exp \left\{ \frac{i}{\hbar} \left[p(x_1 - x_2 + x_0) - \frac{p^2}{m} t \right] \right\} dp . \quad (15.2)$$

Je to klubko tvořené součinem dvou proti sobě jdoucích rovinných vln

$$\frac{1}{\sqrt{2\pi\hbar}} \exp \left\{ \frac{i}{\hbar} \left[p x_1 - \frac{p^2}{2m} t \right] \right\} \frac{1}{\sqrt{2\pi\hbar}} \exp \left\{ \frac{i}{\hbar} \left[-p x_2 - \frac{p^2}{2m} t \right] \right\} . \quad (15.3)$$

Einstein, Podolsky a Rosen uvádějí v lánku o stavu v $t=0$, kdy

¹⁷ A. Einstein, B. Podolsky and N. Rosen: Can Quantum-Mechanical Description of Physical Reality Be Considered Complete?, Physical Review **47** (1935), 777-780.

¹⁸ N. Bohr: Can Quantum-Mechanical Description of Physical Reality Be Considered Complete?, Physical Review **48** (1935), 696-702.

$$\Psi(x_1, x_2) = \frac{1}{2\pi\hbar} \int_{-\infty}^{\infty} \exp\left\{\frac{i}{\hbar} p(x_1 - x_2 + x_0)\right\} dp = \delta(x_1 - x_2 + x_0) \quad (15.4)$$

Budeme m ěit hybnost první ěstice. M ěn ěn ě samoz ějm povede ke zm ěn ě vlnov ě funkce¹⁹. V ěimn ěme si, ěe vlnovou funkci (15.4) m ěleme ch ěpat jako

$$\delta(x_1 - x_2 + x_0) = \int_{-\infty}^{\infty} \chi_p(x_1) \chi_{-p}(x_2 - x_0) dp \quad (15.5)$$

kde χ_p jsou vlastn ě funkce oper ětoru hybnosti

$$\hat{P} \chi_p(x) \equiv \frac{\hbar}{i} \frac{d}{dx} \chi_p(x) = p \chi_p(x) \quad , \quad \chi_p(x) = \frac{1}{(2\pi\hbar)^{1/2}} \exp\left\{\frac{i}{\hbar} p x\right\} \quad (15.6)$$

Zm ěme-li tedy hybnost první ěstice a z ěsk ěme hodnotu P , m ě s jistotou druh ě ěstice hodnotu $-P$

$$\int_{-\infty}^{\infty} \chi_p^*(x_1) \Psi(x_1, x_2) dx_1 = \int_{-\infty}^{\infty} \frac{1}{(2\pi\hbar)^{1/2}} \exp\left\{-\frac{i}{\hbar} P x_1\right\} \delta(x_1 - x_2 + x_0) dx_1 = \frac{1}{(2\pi\hbar)^{1/2}} \exp\left\{-\frac{i}{\hbar} P(x_2 - x_0)\right\} \quad (15.7)$$

Pro n ězornost rozepl ěme postup podrobn ěji. Vlnovou funkci zapisujeme v sou adnicov ě reprezentaci, takěe pro stavov ě vektor m ěame

$$|\Psi\rangle = \iint |\xi_2\rangle |\xi_1\rangle \Psi(\xi_1, \xi_2) d\xi_1 d\xi_2 \quad .$$

Nam ěili jsme na první ěstici vlastn ě hodnotu oper ětoru hybnosti P , na druh ě ěstici jsme nem ěili. Projek n ě oper ětor popisuj ěc ě m ěn ě, kter ěm p sob ěme na stavov ě vektor je tedy

$$(|P\rangle\langle P|)_1 \hat{1}_2 \quad .$$

Nakonec vytvo ěme v sou adnicov ě reprezentaci vlnovou funkci z v ěsledn ěho (tj. po m ěn ě) stavov ěho vektoru prom ětnut ěm do vlastn ěch vektor ě oper ětor ě sou adnic

$$\Psi'(x_1, x_2) = \underbrace{\langle x_1 | P \rangle}_{\chi_p(x_1)} \iint \underbrace{\langle P | \xi_1 \rangle}_{\chi_p^*(\xi_1)} \underbrace{\langle x_2 | \hat{1} | \xi_2 \rangle}_{\delta(x_2 - \xi_2)} \Psi(\xi_1, \xi_2) d\xi_1 d\xi_2 = \chi_p(x_1) \int \chi_p^*(\xi_1) \Psi(\xi_1, x_2) d\xi_1 \quad ,$$

tedy po dosazen ě z (15.4) a (15.6) pro druhou ěstici skute n ě v ěsledek (15.7).

¹⁹ Obecn ě p ědpis je n ěsleduj ěc ě: nam ěme-li pro oper ětor \hat{O} vlastn ě hodnotu ω , zm ěn ě se p vodn ě stav (školaps vlnov ě funkce) $|\psi\rangle$ na $(\langle \omega | \psi \rangle) |\omega\rangle$, kde $|\omega\rangle$ je p ěsln ěn ě vlastn ě vektor: $\hat{O} |\omega\rangle = \omega |\omega\rangle$. Zm ěnu stavu danou m ěn ěm tedy popisujeme nikoliv Schr ědingerovou rovnic ě, ale jako p sob ěn ě projek n ěho oper ětoru $|\omega\rangle\langle \omega|$ na stavov ě vektor $|\psi\rangle$.

Nyní změníme úmysl a budeme měřit polohu první částice. Postup po měření bude plně analogický tomu při měření hybnosti. Vlnovou funkci (15.4) můžeme také chápat jako

$$\delta(x_1 - x_2 + x_0) = \int_{-\infty}^{\infty} \phi_x(x_1) \phi_x(x_2 - x_0) dx, \quad (15.8)$$

kde funkce ϕ_x jsou vlastní funkce operátoru souřadnice

$$\hat{Q} \phi_\xi(x) \equiv x \phi_\xi(x) = \xi \phi_\xi(x), \quad \phi_\xi(x) = \delta(x - \xi). \quad (15.9)$$

Změníme-li tedy polohu první částice a získáme hodnotu X , nachází se s jistotou druhá částice v $X + x_0$

$$\int_{-\infty}^{\infty} \phi_x^*(x_1) \Psi(x_1, x_2) dx_1 = \int_{-\infty}^{\infty} \delta(x_1 - X) \delta(x_1 - x_2 + x_0) dx_1 = \delta(X - x_2 + x_0). \quad (15.10)$$

Vzdálenost částic v době měření může být taková, že druhá částice leží v prostorupodobné oblasti v soustavě první částice a lze tedy vyloučit jakýkoliv přenos informace o tom, kterou ze sdružených veličin (hybnost nebo souřadnici) budeme u první částice měřit. Přesto je potom pro druhou částici přesně dána hodnota její hybnosti nebo souřadnice. EPR docházejí k závěru, že proto nemůže být kvantově mechanický popis úplný a popis částice obsahuje nějaké skryté parametry (hidden variables), které v kvantovém popisu chybí.

15.2 Bohmova modifikace EPR pokusu

Připravit experimentální stav popsané vlnovou funkcí (1.1) není možné. Velmi důležitý krok učinil proto Bohm²⁰, když navrhl modifikovanou, ale v principu identickou verzi pokusu. Předpokládejme, že máme molekulu se dvěma atomy, z nichž každý má spin $\hbar/2$, přičemž celkový spin molekuly je nulový. Molekulu rozdělíme způsoby, který nemá celkový moment hybnosti. Atomy se začnou vzdalovat a jejich vzájemná interakce se stává zanedbatelnou a celkový spin je však stále nulový. Až budou atomy vzdáleny prostorupodobným intervalem, provedeme na prvním z nich měření projekce spinu do osy z . Je-li zjištěná orientace kladná, víme s jistotou, že orientace spinu druhé částice je záporná. Můžeme se však také rozhodnout, že budeme měřit projekci spinu do osy x a opět, naměříme-li určitou orientaci, víme s jistotou, že druhá částice má orientaci zápornou. To ale podle EPR znamená, že částice nese skrytou informaci o spinu, kterou kvantová mechanika neobsahuje.

²⁰ David Bohm: Quantum Theory (první vydání Prentice-Hall 1951, novější vydání Dover Publications), §22.16.

Nejprve uvedeme několik písmen popisů spinu. Spinový stav částice se spinem $\hbar/2$ můžeme popsat pomocí vlastních hodnot operátoru pro tento spin do osy z

$$\begin{aligned} \frac{\hbar}{2}\hat{\sigma}_z|+z\rangle &= \frac{\hbar}{2}|+z\rangle, & \frac{\hbar}{2}\begin{pmatrix} 1 & 0 \\ 0 & -1 \end{pmatrix}\begin{pmatrix} 1 \\ 0 \end{pmatrix} &= \frac{\hbar}{2}\begin{pmatrix} 1 \\ 0 \end{pmatrix}, \\ \frac{\hbar}{2}\hat{\sigma}_z|-z\rangle &= -\frac{\hbar}{2}|-z\rangle, & \frac{\hbar}{2}\begin{pmatrix} 1 & 0 \\ 0 & -1 \end{pmatrix}\begin{pmatrix} 0 \\ 1 \end{pmatrix} &= -\frac{\hbar}{2}\begin{pmatrix} 0 \\ 1 \end{pmatrix}. \end{aligned} \quad (15.11)$$

Vlastní vektory pro tento spin do libovolného směru dostaneme otočením vektoru pro tento spin do osy z v rovině $x-z$ o polární úhel θ a pak otočením o azimutální úhel φ v rovině $x-y$

$$\begin{aligned} \frac{\hbar}{2}\vec{n}\cdot\hat{\sigma}|+\vec{n}\rangle &= \frac{\hbar}{2}|+\vec{n}\rangle, \\ |+\vec{n}\rangle &= \left[\cos\frac{\varphi}{2} - i\sin\frac{\varphi}{2}\hat{\sigma}_z \right] \left[\cos\frac{\theta}{2} - i\sin\frac{\theta}{2}\hat{\sigma}_y \right] |+z\rangle = \begin{pmatrix} \cos\frac{\theta}{2}\exp\left[-i\frac{\varphi}{2}\right] \\ \sin\frac{\theta}{2}\exp\left[i\frac{\varphi}{2}\right] \end{pmatrix} \end{aligned} \quad (15.12)$$

a

$$\begin{aligned} \frac{\hbar}{2}\vec{n}\cdot\hat{\sigma}|-\vec{n}\rangle &= -\frac{\hbar}{2}|-\vec{n}\rangle, \\ |-\vec{n}\rangle &= \left[\cos\frac{\varphi}{2} - i\sin\frac{\varphi}{2}\hat{\sigma}_z \right] \left[\cos\frac{\theta}{2} - i\sin\frac{\theta}{2}\hat{\sigma}_y \right] |-z\rangle = \begin{pmatrix} -\sin\frac{\theta}{2}\exp\left[-i\frac{\varphi}{2}\right] \\ \cos\frac{\theta}{2}\exp\left[i\frac{\varphi}{2}\right] \end{pmatrix}. \end{aligned} \quad (15.13)$$

Spinový stav dvou částic charakterizujeme stavy dvěma kvantovými čísly, dané vlastními hodnotami dvou komutujících operátorů a druhé mocniny operátoru celkového spinu $\hat{S}^2 = \hat{S}_1^2 + \hat{S}_2^2 + 2\hat{S}_1\cdot\hat{S}_2$ a jeho pro tento do osy z $\hat{S}_z = \hat{S}_{1z} + \hat{S}_{2z}$

$$\hat{S}^2|s,m\rangle = s(s+1)\hbar^2|s,m\rangle, \quad \hat{S}_z|s,m\rangle = m\hbar|s,m\rangle. \quad (15.14)$$

Tripletový stav s $s=1$ a $m=-1,0,1$ můžeme zapsat jako

$$|1,-1\rangle = |-z\rangle_1|-z\rangle_2, \quad |1,0\rangle = \frac{1}{\sqrt{2}}\{|+z\rangle_1|-z\rangle_2 + |-z\rangle_1|+z\rangle_2\}, \quad |1,1\rangle = |+z\rangle_1|+z\rangle_2 \quad (15.15)$$

a pro nás důležitý singletový stav s $s=0$, $m=0$ jako

$$|0,0\rangle = \frac{1}{\sqrt{2}}\{|+z\rangle_1|-z\rangle_2 - |-z\rangle_1|+z\rangle_2\}. \quad (15.16)$$

Vzhledem k transformačním vztahům plynoucím z (15.12) a (15.13)

$$\begin{aligned}
|+z\rangle &= \exp\left[i\frac{\varphi}{2}\right] \left\{ \cos\frac{\theta}{2}|+\vec{n}\rangle - \sin\frac{\theta}{2}|-\vec{n}\rangle \right\} , \\
|-z\rangle &= \exp\left[-i\frac{\varphi}{2}\right] \left\{ \sin\frac{\theta}{2}|+\vec{n}\rangle + \cos\frac{\theta}{2}|-\vec{n}\rangle \right\}
\end{aligned}
\tag{15.17}$$

můžeme singletový vztah zapsat také jako

$$|\psi\rangle = \frac{1}{\sqrt{2}} \left\{ |+\vec{n}\rangle_1 |-\vec{n}\rangle_2 - |-\vec{n}\rangle_1 |+\vec{n}\rangle_2 \right\} .
\tag{15.18}$$

15.3 Bellovy nerovnosti

V roce 1964 se podařilo Bellovi²¹ ukázat, že pokud by existovaly skryté parametry, musely by výsledky vhodně zvolené kombinace měření splňovat jisté nerovnosti (nyní obecně nazývané Bellovy nerovnosti). Při měření orientace spinu je dokonce možné navrhnout takové měření, kde výpočet nerovností pro pravděpodobnosti naměřených orientací je možné provádět na elementární úrovni. Potom lze opět jednoduše provést výpočty pravděpodobností podle kvantové mechaniky a ukáže se, že pro jisté situace kvantově mechanické pravděpodobnosti Bellovy nerovnosti naruší. Pokud by se experimentálně zjistilo, že jsou i v těchto případech Bellovy nerovnosti splněny, byl by to důkaz neúplnosti kvantově mechanického popisu. V opačném případě by ovšem výsledky vyloučily existenci skrytých parametrů.

Moderní (módní?) popis vyžaduje místo měření na první a druhé částici mluvit o pozorovateli Alici a Bobovi. Jejich jednotlivá měření jsou od sebe vzdálena prostorově podobným intervalem, aby se vyloučila jakákoliv možnost interakce měřených částic. Měření spinové orientace se provádí ve těchto různých (ne nutně kolmých) směrech.

²¹ J. S. Bell: On the Einstein Podolsky Rosen paradox, *Physics* **1** (1964), 195-200.

Počet	částice 1 (Alice)		částice 2 (Bob)
N_1	$(+\vec{a}, +\vec{b}, +\vec{c})$	\Leftrightarrow	$(-\vec{a}, -\vec{b}, -\vec{c})$
N_2	$(+\vec{a}, +\vec{b}, -\vec{c})$	\Leftrightarrow	$(-\vec{a}, -\vec{b}, +\vec{c})$
N_3	$(+\vec{a}, -\vec{b}, +\vec{c})$	\Leftrightarrow	$(-\vec{a}, +\vec{b}, -\vec{c})$
N_4	$(+\vec{a}, -\vec{b}, -\vec{c})$	\Leftrightarrow	$(-\vec{a}, +\vec{b}, +\vec{c})$
N_5	$(-\vec{a}, +\vec{b}, +\vec{c})$	\Leftrightarrow	$(+\vec{a}, -\vec{b}, -\vec{c})$
N_6	$(-\vec{a}, +\vec{b}, -\vec{c})$	\Leftrightarrow	$(+\vec{a}, -\vec{b}, +\vec{c})$
N_7	$(-\vec{a}, -\vec{b}, +\vec{c})$	\Leftrightarrow	$(+\vec{a}, +\vec{b}, -\vec{c})$
N_8	$(-\vec{a}, -\vec{b}, -\vec{c})$	\Leftrightarrow	$(+\vec{a}, +\vec{b}, +\vec{c})$

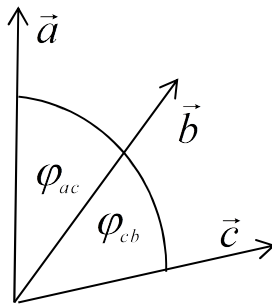
Výsledek měření Boba závisí na tom, jaké měření zvolí Alice. Jak ale bylo řečeno, rozhodnutí provádí Alice ať poté, co jsou částice odděleny prostoropodobným intervalem. Pokud si částice nese ve skrytých parametrech informaci o spinové orientaci, můžeme uvažovat o osmi skupinách částic uvedených v tabulce. Jednoduchým seřazením po těchto částicích v odpovídajících skupinách dojdeme k tomu, jaká je pravděpodobnost $P(+\vec{a}|\vec{b})$ toho, že Alice naměří pro první částici orientaci $+\vec{a}$ a Bob naměří pro druhou částici orientaci $+\vec{b}$. Vybereme tedy vhodné kombinace

$$P(+\vec{a}|\vec{b}) = \frac{N_3 + N_4}{\sum_{i=1}^8 N_i}, \quad P(+\vec{a}|\vec{c}) = \frac{N_2 + N_4}{\sum_{i=1}^8 N_i}, \quad P(+\vec{c}|\vec{b}) = \frac{N_3 + N_7}{\sum_{i=1}^8 N_i}. \quad (15.19)$$

Je zřejmé, že

$$P(+\vec{a}|\vec{b}) \leq P(+\vec{a}|\vec{c}) + P(+\vec{c}|\vec{b}), \quad (15.20)$$

Přitom rovnost by nastala pouze v případě $N_2 = N_7 = 0$. Při kvantově mechanickém výpočtu pravděpodobností zvolíme pro jednoduchost tři vektory ležící v rovině $x-y$ (podle obrázku).



Ukážeme podrobněji výpočet pravděpodobnosti $P(+\vec{a}|\vec{b})$. Za vektor \vec{n} ve výrazu pro stavový vektor singletu (15.18) zvolíme vektor \vec{a} , takže máme

$$|\psi\rangle = \frac{1}{\sqrt{2}} \{ |+\vec{a}\rangle_1 |-\vec{a}\rangle_2 - |-\vec{a}\rangle_1 |+\vec{a}\rangle_2 \} .$$

Podle vztahů (15.12) a (15.13) máme

$$\begin{aligned} |+\vec{a}\rangle &= \frac{1}{\sqrt{2}} \begin{pmatrix} \exp[-i\varphi_a/2] \\ \exp[i\varphi_a/2] \end{pmatrix}, & |-\vec{a}\rangle &= \frac{1}{\sqrt{2}} \begin{pmatrix} -\exp[-i\varphi_a/2] \\ \exp[i\varphi_a/2] \end{pmatrix}, \\ |+\vec{b}\rangle &= \frac{1}{\sqrt{2}} \begin{pmatrix} \exp[-i\varphi_b/2] \\ \exp[i\varphi_b/2] \end{pmatrix}, & |-\vec{b}\rangle &= \frac{1}{\sqrt{2}} \begin{pmatrix} -\exp[-i\varphi_b/2] \\ \exp[i\varphi_b/2] \end{pmatrix}. \end{aligned}$$

Pro amplitudu pravděpodobnosti dostáváme

$$\begin{aligned} A(+\vec{a}|\vec{b}) &= \frac{1}{\sqrt{2}} \langle +\vec{b}_2 | \langle +\vec{a}_1 | \{ |+\vec{a}_1\rangle |-\vec{a}_2\rangle - |-\vec{a}_1\rangle |+\vec{a}_2\rangle \} = \\ &= \frac{1}{\sqrt{2}} \left\{ \underbrace{\langle +\vec{a}_1 | +\vec{a}_1 \rangle}_{=1} \langle +\vec{b}_2 | -\vec{a}_2 \rangle - \underbrace{\langle +\vec{a}_1 | -\vec{a}_1 \rangle}_{=0} \langle +\vec{b}_2 | +\vec{a}_2 \rangle \right\} \end{aligned}$$

a dále

$$A(+\vec{a}|\vec{b}) = \frac{1}{2\sqrt{2}} (\exp[i\varphi_b/2] \exp[-i\varphi_b/2]) \begin{pmatrix} -\exp[-i\varphi_a/2] \\ \exp[i\varphi_a/2] \end{pmatrix} = \frac{i}{\sqrt{2}} \sin \frac{\varphi_a - \varphi_b}{2} .$$

Nakonec

$$P(+\vec{a}|\vec{b}) = |A(+\vec{a}|\vec{b})|^2 = \frac{1}{2} \sin^2 \frac{\varphi_a - \varphi_b}{2} = \frac{1}{2} \sin^2 \frac{\varphi_{ac} + \varphi_{cb}}{2} . \quad (15.21)$$

Podobně postupujeme při výpočtu dalších dvou pravděpodobností (při výpočtu $P(+\vec{c}|\vec{b})$ je přirozené výhodné zvolit za \vec{n} vektor \vec{c}). Máme tak

$$\begin{aligned} P(+\vec{a}|\vec{b}) &= \frac{1}{2} \sin^2 \frac{\varphi_{ac} + \varphi_{cb}}{2}, \\ P(+\vec{a}|\vec{c}) &= \frac{1}{2} \sin^2 \frac{\varphi_{ac}}{2}, & P(+\vec{c}|\vec{b}) &= \frac{1}{2} \sin^2 \frac{\varphi_{cb}}{2}. \end{aligned} \quad (15.22)$$

Zjevné narušení Bellovy nerovnosti (15.20) dostáváme například pro $\varphi_{ac} = \varphi_{cb} = \varphi < \pi/4$, kdy by mělo platit

$$\sin^2 \varphi \leq 2 \sin^2 \frac{\varphi}{2} \Rightarrow \cos \frac{\varphi}{2} \leq \frac{\sqrt{2}}{2} . \quad (15.23)$$

15.4 Experimenty s fotony

Je mnohem jednodušší připravit singletový stav dvou fotonů než například dvou protonů. Proto všechny přesné experimenty byly prováděny s fotony. V experimentech se ověřují složitější varianty Bellovy nerovnosti, které jsou například méně citlivé na nedokonalosti detektorů. Uvedeme důkaz²² jednoho z mnoha výsledků. S označením pravděpodobností koincidence při detekci obou fotonů po průchodu polarizátory orientovanými ve směru \vec{a} (Alice) a \vec{b} (Bob) ó oba $P_{++}(\vec{a}, \vec{b})$, řádný $P_{--}(\vec{a}, \vec{b})$, pouze Alice $P_{+-}(\vec{a}, \vec{b})$ a pouze Bob $P_{-+}(\vec{a}, \vec{b})$ ó vytvoříme veličinu

$$E(\vec{a}, \vec{b}) = P_{++}(\vec{a}, \vec{b}) + P_{--}(\vec{a}, \vec{b}) - P_{+-}(\vec{a}, \vec{b}) - P_{-+}(\vec{a}, \vec{b})$$

Pro ty i orientace se poítá

$$S(\vec{a}, \vec{a}', \vec{b}, \vec{b}') = \left| E(\vec{a}, \vec{b}) \pm E(\vec{a}, \vec{b}') \right| + \left| E(\vec{a}', \vec{b}) \mp E(\vec{a}', \vec{b}') \right| . \quad (15.24)$$

Bellova nerovnost je v tomto případě

$$S(\vec{a}, \vec{a}', \vec{b}, \vec{b}') \leq 2 . \quad (15.25)$$

Uvedeme především kvantově mechanický výpočet dává

$$S_{\max}^{QM} = S^{QM}(0^\circ, 45^\circ, 22,5^\circ, 67,5^\circ) = 2\sqrt{2} \quad (15.26)$$

a je experimentálně potvrzen.

Předpokládejme tedy existenci skrytého parametru s rozložením pravděpodobnosti výskytu $f(\lambda)$, $\int d\lambda f(\lambda) = 1$. Výraz pro $E(\vec{a}, \vec{b})$ můžeme přepsat na

$$E(\vec{a}, \vec{b}) = \int d\lambda f(\lambda) \underbrace{\{P_+(\vec{a}, \lambda) - P_-(\vec{a}, \lambda)\}}_{A(\vec{a}, \lambda)} \underbrace{\{P_+(\vec{b}, \lambda) - P_-(\vec{b}, \lambda)\}}_{B(\vec{b}, \lambda)} .$$

Velikosti P jako pravděpodobnosti nabývají hodnot mezi nulou a jedničkou, takže pro velikosti A a B platí nerovnosti

$$|A(\vec{a}, \lambda)| \leq 1 \quad , \quad |B(\vec{b}, \lambda)| \leq 1 .$$

Vytvoříme absolutní hodnotu ze součtu i rozdílu funkce E se stejným \vec{a} , ale známým \vec{b} a \vec{b}'

$$\left| E(\vec{a}, \vec{b}) \pm E(\vec{a}, \vec{b}') \right| = \left| \int d\lambda f(\lambda) A(\vec{a}, \lambda) [B(\vec{b}, \lambda) \pm B(\vec{b}', \lambda)] \right| .$$

Protože pro libovolnou funkci $\left| \int F(x) dx \right| \leq \int |F(x)| dx$, můžeme psát

²² J. S. Bell: Bertlmann's socks and the nature of reality, Journal de Physique **42** (1981), C2, 41-61.

$$\left| E(\vec{a}, \vec{b}) \pm E(\vec{a}, \vec{b}') \right| \leq \int d\lambda f(\lambda) |A(\vec{a}, \lambda)| \left| B(\vec{b}, \lambda) \pm B(\vec{b}', \lambda) \right| .$$

Protože v-ak $|A(\vec{a}, \lambda)| \leq 1$, m fime dále psát

$$\left| E(\vec{a}, \vec{b}) \pm E(\vec{a}, \vec{b}') \right| \leq \int d\lambda f(\lambda) \left| B(\vec{b}, \lambda) \pm B(\vec{b}', \lambda) \right| .$$

Podobn dostaneme nerovnost

$$\left| E(\vec{a}', \vec{b}) \mp E(\vec{a}', \vec{b}') \right| \leq \int d\lambda f(\lambda) \left| B(\vec{b}, \lambda) \mp B(\vec{b}', \lambda) \right| .$$

Oba vztahy se teme

$$\begin{aligned} & \left| E(\vec{a}, \vec{b}) \pm E(\vec{a}, \vec{b}') \right| + \left| E(\vec{a}', \vec{b}) \mp E(\vec{a}', \vec{b}') \right| \leq \\ & \int d\lambda f(\lambda) \left\{ \left| B(\vec{b}, \lambda) \pm B(\vec{b}', \lambda) \right| + \left| B(\vec{b}, \lambda) \mp B(\vec{b}', \lambda) \right| \right\} . \end{aligned}$$

Op t platí $|B(\vec{b}, \lambda)| \leq 1$ a $|B(\vec{b}', \lambda)| \leq 1$, takže výraz ve složených závorkách bude nejvý-e roven dv ma. Dostáváme tak zobecn nou Bellovu nerovnost (15.25)

$$\left| E(\vec{a}, \vec{b}) \pm E(\vec{a}, \vec{b}') \right| + \left| E(\vec{a}', \vec{b}) \mp E(\vec{a}', \vec{b}') \right| \leq 2 . \quad (15.27)$$

Tím je d kaz ukon en.

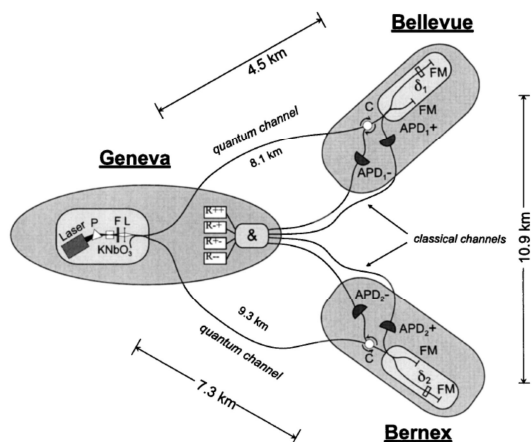
Zám na spinových stav ástic se spinem 1/2 polariza ními stavy foton je umofn na identickými maticemi hustoty. Ekvivalentní stavy jsou uvedeny v tabulce.

Spin		Polarizace
$ +z\rangle$	\Leftrightarrow	$\vec{\varepsilon} = \vec{e}_x$
$ -z\rangle$	\Leftrightarrow	$\vec{\varepsilon} = \vec{e}_y$
$ +x\rangle$	\Leftrightarrow	$\vec{\varepsilon} = \frac{1}{\sqrt{2}}(\vec{e}_x + \vec{e}_y)$
$ -x\rangle$	\Leftrightarrow	$\vec{\varepsilon} = \frac{1}{\sqrt{2}}(-\vec{e}_x + \vec{e}_y)$
$\exp\left[i\frac{\pi}{4}\right] +y\rangle$	\Leftrightarrow	$\vec{\varepsilon} = \frac{1}{\sqrt{2}}(\vec{e}_x + i\vec{e}_y)$
$\exp\left[-i\frac{3\pi}{4}\right] -y\rangle$	\Leftrightarrow	$\vec{\varepsilon} = \frac{1}{\sqrt{2}}(\vec{e}_x - i\vec{e}_y)$

Následující obrázek ukazuje, že experimenty dokazující narušení Bellových nerovností nejsou omezeny na fyzikální laborato e. V uvedeném p ípad ²³ se fotony vydaly po kabelech

²³ W. Tittel, J. Brendel, H. Zbinden, and N. Gisin: Violation of Bell Inequalities by Photons More Than 10 km Apart, Phys. Rev. Letters **81** (1998), 3563-3566.

™ výcarské po-ty ze fienevy do dvou blízkých vesnic, kde byly na po-tovních ú adech umíst ny interferometry s pot ebnými detektory.



16. Jakou dráhu pro-la ástice?

16.1 Elementární popis interference dvou svazk

Uvaflujme dva zcela koherentní zdroje kulových vln (pro jednoduchost budeme po ítat jen v rovinném ezu, tj. v rovin $z=0$) v rovin $y=0$ vzdálené $2d$

$$\psi(x, y, t) = \left[\frac{1}{r_a} e^{ikr_a} + \frac{1}{r_b} e^{ikr_b} \right] e^{-i\frac{\hbar k^2}{2m}t}, \quad (16.1)$$

kde

$$r_a = \sqrt{(x+d)^2 + y^2}, \quad r_b = \sqrt{(x-d)^2 + y^2}. \quad (16.2)$$

P i p echodu k eliptickým sou adnicím

$$r = \frac{r_a + r_b}{2}, \quad s = \frac{r_a - r_b}{2}, \quad 0 < d \leq r, \quad -d \leq s \leq d \quad (16.3)$$

máme

$$\psi = \frac{e^{i\left(kr - \frac{\hbar k^2}{2m}t\right)}}{r} \frac{2r^2}{r^2 - s^2} \left\{ \cos ks - i \frac{s}{r} \sin ks \right\}. \quad (16.4)$$

Dal-ím výpo tem dostáváme pro hustotu

$$\rho = \psi \psi^* = \left(\frac{2r}{r^2 - s^2} \right)^2 \left\{ \cos^2 ks + \left(\frac{s}{r} \right)^2 \sin^2 ks \right\}. \quad (16.5)$$

Pro velké hodnoty y a malé hodnoty x m flíme psát p iblifn

$$r \doteq y, \quad s \doteq \frac{xd}{(y^2 + d^2)^{1/2}} = d \sin \theta, \quad (16.6)$$

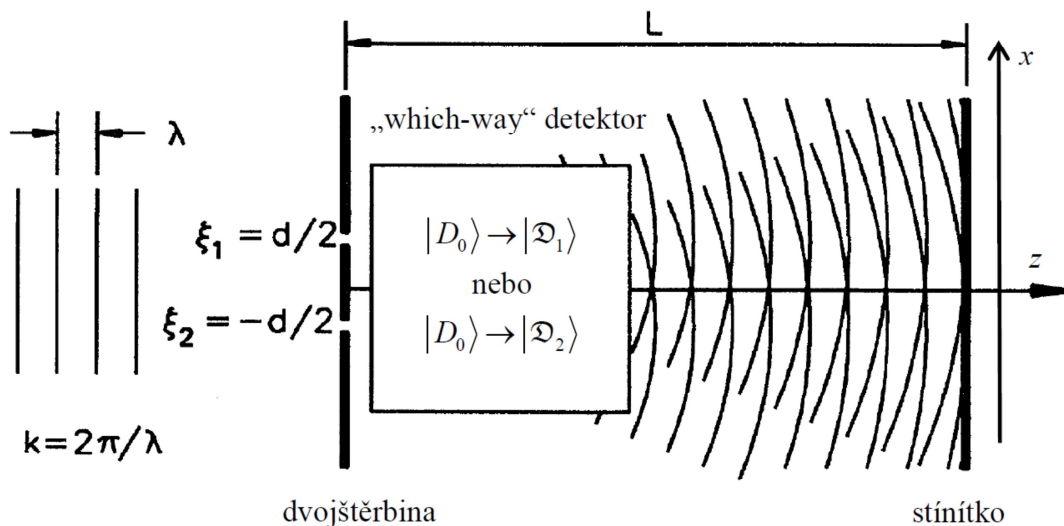
takže dostáváme obvyklý interferenční vztah

$$\rho \doteq \frac{1}{y} \cos^2 \left(\frac{2\pi d}{\lambda} \sin \theta \right) . \quad (16.6)$$

16.2 Which-path (Welcher-Weg)?

Představme si, že za dvojřtinou umístíme detektor (nebudeme zatím uvažovat o jeho provedení, jen musíme předpokládat, že při jeho švypnutí nic nebrání volnému pohybu interferující částice). Schematicky je uspořádání na obrázku²⁴. Po průchodu řtinami budeme mít provázaný stav částice a detektoru

$$|\Psi\rangle = \frac{1}{\sqrt{2}} [|\psi_1\rangle |\mathcal{D}_1\rangle + |\psi_2\rangle |\mathcal{D}_2\rangle] . \quad (16.7)$$



Jednodušší postup při popisu experimentu je ten, že pro volnou částici zvolíme souřadnicovou reprezentaci, takže máme

$$\langle x | \Psi \rangle = \frac{1}{\sqrt{2}} [\langle x | \psi_1 \rangle |\mathcal{D}_1\rangle + \langle x | \psi_2 \rangle |\mathcal{D}_2\rangle] = \frac{1}{\sqrt{2}} [\psi_1(x) |\mathcal{D}_1\rangle + \psi_2(x) |\mathcal{D}_2\rangle] . \quad (16.8)$$

Potom pro hustotu pravděpodobnosti nalezení částice v okolí bodu o souřadnici x (o stavy detektoru se nezajímáme) dostáváme

$$p(x) = \langle x | \Psi \rangle \langle \Psi | x \rangle = |\langle x | \Psi \rangle|^2 = \frac{1}{2} [|\psi_1(x)|^2 + |\psi_2(x)|^2 + 2 \operatorname{Re} \{ \langle \mathcal{D}_1 | \mathcal{D}_2 \rangle \psi_2(x) \overline{\psi_1(x)} \}] . \quad (16.9)$$

²⁴ S.M. Tan and D.F. Walls: Loss of coherence in interferometry, Physical Review A 47 (1993), 4663-4676.

Jsou-li vektory stavu detektoru ortogonální (tj. pokud bychom stav detektoru zjišťovali, budeme s jistotou vidět, kterou ze dvou částic prošla) zmizí interference a dostáváme

$$\langle \mathcal{D}_1 | \mathcal{D}_2 \rangle = 0 \Rightarrow p(x) = \frac{1}{2} (|\psi_1(x)|^2 + |\psi_2(x)|^2) . \quad (16.10)$$

Jestliže detektor vypneme, je detektor v základním stavu, tj. $|\mathcal{D}_1\rangle = |\mathcal{D}_2\rangle = |D_0\rangle$ a dostaneme pro rozložení interference obrazec s maximální viditelností

$$\langle \mathcal{D}_1 | \mathcal{D}_2 \rangle = 1 \Rightarrow p(x) = \frac{1}{2} [|\psi_1(x)|^2 + |\psi_2(x)|^2 + 2 \operatorname{Re}\{\psi_2(x) \overline{\psi_1(x)}\}] . \quad (16.11)$$

Viditelnost spočteme tak, že zapíšeme $\langle \mathcal{D}_1 | \mathcal{D}_2 \rangle = |\langle \mathcal{D}_1 | \mathcal{D}_2 \rangle| \exp[-i\delta]$, $\psi_1(x) = |\psi_1(x)| \exp[i\phi_1]$ a $\psi_2(x) = |\psi_2(x)| \exp[i\phi_2]$, takže z (16.9) máme

$$p(x) = \frac{1}{2} [|\psi_1(x)|^2 + |\psi_2(x)|^2 + 2 |\langle \mathcal{D}_1 | \mathcal{D}_2 \rangle| |\langle \psi_1 | \psi_2 \rangle| \cos(\phi_2 - \phi_1 - \delta)] \quad (16.12)$$

a odsud výraz pro viditelnost

$$\mathfrak{V}(x) = \frac{p_{\max}(x) - p_{\min}(x)}{p_{\max}(x) + p_{\min}(x)} = \frac{2 |\langle \mathcal{D}_1 | \mathcal{D}_2 \rangle| |\langle \psi_1 | \psi_2 \rangle|}{|\psi_1(x)|^2 + |\psi_2(x)|^2} . \quad (16.13)$$

Obecněji přístup vyžaduje užití pojmu matice hustoty. Kvantovou mechanickou soustavu můžeme popsat vlnovou funkcí pouze tehdy, je-li izolovaná a neinteraguje s okolím. V opačném případě je možné soustavu popsat pouze měřeními v sobě, a tento popis je právě vyjádřen operátorem matice hustoty $\hat{\rho}$. Bez dalšího rozboru a důkazů uvedeme jen dvě pro ná-experiment podstatná tvrzení: Střední hodnota výsledku měření fyzikální veličiny s operátorem \hat{F} je dán stopou²⁵

$$\langle \hat{F} \rangle = \operatorname{Tr}\{\hat{\rho} \hat{F}\} \quad (16.14)$$

a v případě, že je soustava popsána stavovým vektorem $|\Phi\rangle$, je matice hustoty dána výrazem

$$\hat{\rho} = |\Phi\rangle \langle \Phi| . \quad (16.15)$$

To je právě náš případ. Bude nás tedy zajímat pravděpodobnost nalezení částice v bodě x a detektoru ve stavu $|D_a\rangle$, čemuž odpovídá operátor $|x\rangle \langle D_a| \langle D_a| \langle x|$. Za bázi Hilbertova

²⁵ Stopa operátoru \hat{O} je definována takto: Mějme v Hilbertově prostoru nějakou ortonormální bázi $\{|a\rangle\}$. Pomocí této báze vytvoříme maticové elementy $\langle a | \hat{O} | b \rangle$. Potom stejně jako v algebře stopa je součet diagonálních elementů $\operatorname{Tr}\{\hat{O}\} = \sum_a \langle a | \hat{O} | a \rangle$, v bázi mohutnosti kontinua pak $\operatorname{Tr}\{\hat{O}\} = \int_x dx \langle x | \hat{O} | x \rangle$.

prostoru bude výhodné zvolit $\{|\xi\rangle|D_\beta\rangle\}$, tedy bázi tvořenou vlastními vektory operátoru souadnice částice a operátoru stavu detektoru. (Stavy $|\mathfrak{D}_1\rangle$ a $|\mathfrak{D}_2\rangle$ jsou superpozicí různých stavů $|D_\alpha\rangle$.) Máme počítat $p(\alpha, x) = \text{Tr}\{|\Psi\rangle\langle\Psi||x\rangle\langle x||D_\alpha\rangle\langle D_\alpha|\}$, tedy

$$\begin{aligned} p(\alpha, x) = & \frac{1}{2} \sum_\beta \int d\xi \langle D_\beta | \langle \xi | \psi_1 \rangle | \mathfrak{D}_1 \rangle \langle \mathfrak{D}_1 | \langle \psi_1 | x \rangle \langle x | D_\alpha \rangle \langle D_\alpha | \xi \rangle | D_\beta \rangle + \\ & \frac{1}{2} \sum_\beta \int d\xi \langle D_\beta | \langle \xi | \psi_1 \rangle | \mathfrak{D}_1 \rangle \langle \mathfrak{D}_2 | \langle \psi_2 | x \rangle \langle x | D_\alpha \rangle \langle D_\alpha | \xi \rangle | D_\beta \rangle + \\ & \frac{1}{2} \sum_\beta \int d\xi \langle D_\beta | \langle \xi | \psi_2 \rangle | \mathfrak{D}_2 \rangle \langle \mathfrak{D}_1 | \langle \psi_1 | x \rangle \langle x | D_\alpha \rangle \langle D_\alpha | \xi \rangle | D_\beta \rangle + \\ & \frac{1}{2} \sum_\beta \int d\xi \langle D_\beta | \langle \xi | \psi_2 \rangle | \mathfrak{D}_2 \rangle \langle \mathfrak{D}_2 | \langle \psi_2 | x \rangle \langle x | D_\alpha \rangle \langle D_\alpha | \xi \rangle | D_\beta \rangle . \end{aligned}$$

S využitím ortonormality

$$\langle x | \xi \rangle = \delta(x - \xi) \quad , \quad \langle D_\alpha | D_\beta \rangle = \delta_{\alpha\beta}$$

možeme předchozí výraz zredukovat na přehledný tvar

$$\begin{aligned} p(\alpha, x) = & \frac{1}{2} \left[|\psi_1(x)|^2 |\langle D_\alpha | \mathfrak{D}_1 \rangle|^2 + |\psi_2(x)|^2 |\langle D_\alpha | \mathfrak{D}_2 \rangle|^2 + \right. \\ & \left. \psi_1(x) \overline{\psi_2(x)} \langle D_\alpha | \mathfrak{D}_1 \rangle \langle \mathfrak{D}_2 | D_\alpha \rangle + \overline{\psi_1(x)} \psi_2(x) \langle \mathfrak{D}_1 | D_\alpha \rangle \langle D_\alpha | \mathfrak{D}_2 \rangle \right] . \end{aligned} \quad (16.16)$$

Je hned vidět (v každém členu vzniká jednotkový operátor $\sum_\alpha |D_\alpha\rangle\langle D_\alpha| = \hat{I}$), že se tením pravděpodobností (16.16) přes stavy detektoru dostaneme výraz (16.9)

$$p(\alpha) = \sum_\alpha p(\alpha, x) = \frac{1}{2} \left[|\psi_1(x)|^2 + |\psi_2(x)|^2 + 2 \text{Re} \left\{ \langle \mathfrak{D}_1 | \mathfrak{D}_2 \rangle \psi_2(x) \overline{\psi_1(x)} \right\} \right] . \quad (16.17)$$

Naopak pravděpodobnost nalezení detektoru ve stavu $|D_\alpha\rangle$ získáme integrací přes všechny možné polohy částice

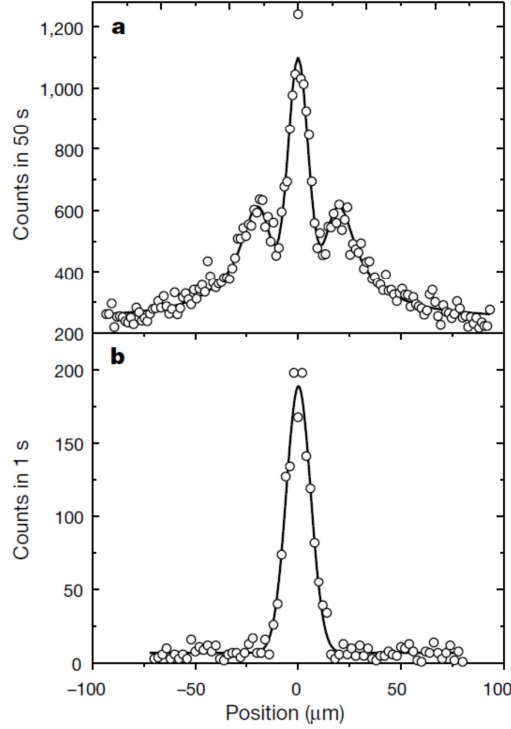
$$\begin{aligned} p(\alpha) = & \int dx p(\alpha, x) = \\ & \frac{1}{2} \left[|\langle D_\alpha | \mathfrak{D}_1 \rangle|^2 + |\langle D_\alpha | \mathfrak{D}_2 \rangle|^2 + 2 \text{Re} \left\{ \langle \psi_2 | \psi_1 \rangle \langle D_\alpha | \mathfrak{D}_1 \rangle \overline{\langle D_\alpha | \mathfrak{D}_2 \rangle} \right\} \right] , \end{aligned} \quad (16.18)$$

kde jsme použili

$$\langle \psi_2 | \psi_1 \rangle = \int dx \overline{\psi_2(x)} \psi_1(x) \quad , \quad \langle \psi_1 | \psi_1 \rangle = \langle \psi_2 | \psi_2 \rangle = 1 . \quad (16.19)$$

16.3 Interference fulleren

V roce 1999 uve ejnila skupina prof. Zeilingera z Víde ské university láněk²⁶ o interferenci molekul C_{60} . Na spodním obrázku je profil svazku dopadajícího na difrak ní m ífku, horní obrázek ukazuje profil svazku po difrakci. Jak ale mohou molekuly interferovat, kdyfl vysílají fotony, které mohou být v principu pouffity pro detekci trajektorie?



Vezm me ve vztazích p edchozí ásti

$$\begin{aligned}\Phi_1(\vec{r}) &= \langle \vec{r} | D_1 \rangle = C \frac{\exp\{i K |\vec{r} - \vec{r}_1|\}}{|\vec{r} - \vec{r}_1|}, \\ \Phi_2(\vec{r}) &= \langle \vec{r} | D_2 \rangle = C \frac{\exp\{i K |\vec{r} - \vec{r}_2|\}}{|\vec{r} - \vec{r}_2|},\end{aligned}\tag{16.20}$$

funkce odpovídají emitovanému fotonu. Potom je

$$\langle D_1 | D_2 \rangle = \frac{\int \overline{\Phi_1(\vec{r})} \Phi_2(\vec{r}) d^3 \vec{r}}{\sqrt{\int |\Phi_1(\vec{r})|^2 d^3 \vec{r}} \sqrt{\int |\Phi_2(\vec{r})|^2 d^3 \vec{r}}}.\tag{16.21}$$

Zavedením eliptických sou adnic

²⁶ M. Arndt, O. Nairz, J. Vos-Andreae, C. Keller, G. Van der Zouw, and A. Zeilinger: Wave-particle duality of C_{60} molecules, Nature **401** (1999), 680-682.

$$\begin{aligned}
1 \leq \xi < \infty \quad , \quad -1 \leq \eta \leq 1 \quad , \quad 0 \leq \varphi < 2\pi \quad , \\
|\vec{r} - \vec{r}_1| = \frac{d}{2}(\xi + \eta) \quad , \quad |\vec{r} - \vec{r}_2| = \frac{d}{2}(\xi - \eta) \quad , \\
d^3 \vec{r} = \left(\frac{d}{2}\right)^3 (\xi^2 - \eta^2) d\xi d\eta d\varphi
\end{aligned}
\tag{16.22}$$

dostáváme

$$\langle D_1 | D_2 \rangle = \lim_{X \rightarrow \infty} \frac{\int_{-1}^1 \int_{-1}^1 \exp\{i K d \eta\} d\eta d\xi}{\int_{-1}^1 \int_{-1}^1 \frac{\xi - \eta}{\xi + \eta} d\eta d\xi} = \frac{\sin K d}{K d} \quad .
\tag{16.23}$$

Pro v pr m ru N vyzá ených foton je pak

$$\langle D_1 | D_2 \rangle = \left(\frac{\sin K d}{K d} \right)^N \quad .
\tag{16.24}$$

Vzdálenost t rbin je $d = 1 \text{ m}$, vlnová délka foton je ádov 10 m , a odhadovaný pr m rný počet foton emitovaných během letu fullerénové molekuly je jeden až dva. Je tedy

$$\langle D_1 | D_2 \rangle = \left(\frac{\sin K d}{K d} \right)^N \approx \left(\frac{\sin \frac{2\pi}{10}}{\frac{2\pi}{10}} \right)^{\frac{3}{2}} \approx 0,90 \quad .
\tag{16.25}$$

Je tedy v tomto případě emise dlouhovlnných foton patnou šzna kouř pro nalezení skutečné trajektorie a viditelnost interferenčního obrazce je jen velmi málo snížena.